

การผลิตอะซีทิลเอสเทอร์ โดย *Streptomyces* sp. PC22



นางสาว เวฬุรีย์ ทองคำ

สถาบันวิทยบริการ

วิทยานิพนธ์นี้เป็นส่วนหนึ่งของการศึกษาตามหลักสูตรปริญญาวิทยาศาสตรมหาบัณฑิต

สาขาวิชาจุลชีววิทยาทางอุตสาหกรรม ภาควิชาจุลชีววิทยา

คณะวิทยาศาสตร์ จุฬาลงกรณ์มหาวิทยาลัย

ปีการศึกษา 2547

ISBN 974-53-1477-3

ลิขสิทธิ์ของจุฬาลงกรณ์มหาวิทยาลัย

ACETYL ESTERASE PRODUCTION BY *Streptomyces* sp. PC22



MISS WARULEE THONGKAM

สถาบันวิทยบริการ

จุฬาลงกรณ์มหาวิทยาลัย

A Thesis Submitted in Partial Fulfillment of the Requirements  
for the Degree of Master of Science in Industrial Microbiology

Department of Microbiology

Faculty of Science

Chulalongkorn University

Academic Year 2004

ISBN 974-53-1477-3

หัวข้อวิทยานิพนธ์            การผลิตอะซีทิลเอสเทอร์โดย *Streptomyces* sp. PC22  
โดย                                    นางสาวเวฬุรีย์ ทองคำ  
สาขาวิชา                        จุลชีววิทยาทางอุตสาหกรรม  
อาจารย์ที่ปรึกษา                รองศาสตราจารย์ ดร. ไพเราะ ปิ่นพานิชการ

---

คณะวิทยาศาสตร์ จุฬาลงกรณ์มหาวิทยาลัย อนุมัติให้หัวข้อวิทยานิพนธ์ฉบับนี้เป็นส่วนหนึ่ง  
ของการศึกษาตามหลักสูตรปริญญาโท

.....คณบดีคณะวิทยาศาสตร์  
(ศาสตราจารย์ ดร. เปี่ยมศักดิ์ เมณะเศวต)

คณะกรรมการสอบวิทยานิพนธ์

.....ประธานกรรมการ  
(ผู้ช่วยศาสตราจารย์ ดร. สุเทพ ธนียวัน)

.....อาจารย์ที่ปรึกษา  
(รองศาสตราจารย์ ดร. ไพเราะ ปิ่นพานิชการ)

.....กรรมการ  
(รองศาสตราจารย์ ดร. ศิริรัตน์ เร่งพิพัฒน์)

.....กรรมการ  
(ผู้ช่วยศาสตราจารย์ ดร. กอบชัย ภัทรกุลวณิชย์)

เวฟรี่ ทองคำ : การผลิตอะซีทิลเอสเทอร์โดย *Streptomyces* sp. PC22 (ACETYL ESTERASE PRODUCTION BY *Streptomyces* sp. PC22) อ.ที่ปรึกษา: รศ.ดร. ไพเราะ ปิ่นพานิชการ 95 หน้า. ISBN: 974-53-1477-3

งานวิจัยนี้ได้ศึกษาภาวะที่เหมาะสมในการผลิตอะซีทิลเอสเทอร์ซึ่งเป็นหนึ่งในกลุ่มเอนไซม์ย่อยสลายไซกิงของไซแลนจาก *Streptomyces* sp. PC22 ผลการแปรชนิดของไซแลนที่มีขายทางการค้าได้แก่ ไซแลนจากเปลือกข้าวโอ๊ต ไม้เบิร์ช และไม้บีช พบว่าไซแลนจากไม้เบิร์ชเป็นแหล่งคาร์บอนที่ดีที่สุดโดยความเข้มข้นที่เหมาะสมคือ 1 เปอร์เซ็นต์ (น้ำหนักต่อปริมาตร) และเมื่อใช้ร่วมกับแหล่งอินทรีย์หรืออนินทรีย์ในโตรเจนที่เหมาะสมคือ พอลิเฟฟโทน หรือ  $(\text{NH}_4)_2\text{HPO}_4$  ที่ความเข้มข้นเทียบเท่ากับไนโตรเจน 0.05 เปอร์เซ็นต์ (น้ำหนักต่อปริมาตร) จะให้แอกติวิตีของเอนไซม์สูงสุดเท่ากับ 0.33 และ 0.24 หน่วยต่อมิลลิลิตร ตามลำดับ เมื่อเลี้ยงเชื้อเป็นเวลา 3 วันที่ค่าความเป็นกรดต่างเริ่มต้นคือ 9 และ 10 ตามลำดับ ผลการแปรวัสดุทางการเกษตรที่มี ไซแลนเป็นองค์ประกอบ เมื่อใช้เป็นแหล่งคาร์บอนแทนไซแลน ได้แก่ รำข้าวสาลี รำข้าวเจ้า ฟางข้าว เปลือกข้าวโพด ชังข้าวโพด กากเมล็ดฝ้าย และซีลี้อย พบว่าเปลือกข้าวโพดที่ความเข้มข้น 1.5 เปอร์เซ็นต์ (น้ำหนักต่อปริมาตร) เมื่อใช้ร่วมกับแหล่งอินทรีย์ หรืออนินทรีย์ในโตรเจนที่เหมาะสมคือ พอลิเฟฟโทน ที่ความเข้มข้นเทียบเท่ากับไนโตรเจน 0.05 เปอร์เซ็นต์ (น้ำหนักต่อปริมาตร) หรือ  $\text{NH}_4\text{Cl}$  ที่ความเข้มข้นเทียบเท่ากับไนโตรเจน 0.075 เปอร์เซ็นต์ (น้ำหนักต่อปริมาตร) จะให้แอกติวิตีใกล้เคียงกับการใช้ไซแลนจากไม้เบิร์ชเป็นแหล่งคาร์บอนโดยมีค่าสูงสุดเท่ากับ 0.31 และ 0.29 หน่วยต่อมิลลิลิตรตามลำดับ เมื่อเลี้ยงเป็นเวลา 2 วัน ที่ค่าความเป็นกรดต่างเริ่มต้นเท่ากับ 9 จากการศึกษาสมบัติเบื้องต้นของเอนไซม์พบว่าอุณหภูมิและค่าความเป็นกรดต่างที่เหมาะสมต่อการทำงานคือที่ 60 องศาเซลเซียส และ 6.5 มีความเสถียรสูงถึงอุณหภูมิ คือ 50 องศาเซลเซียส และจะสูญเสียแอกติวิตี เกือบสมบูรณ์เมื่อต้มที่ 70 องศาเซลเซียสเป็นเวลา 30 นาที เอนไซม์มีความเสถียรต่อค่าความเป็นกรดต่างในช่วงกว้างคือ 4.0 -9.0

ภาควิชา.....จุลชีววิทยา.....ลายมือชื่อนิสิต.....  
 สาขาวิชา.....จุลชีววิทยาทางอุตสาหกรรม.....ลายมืออาจารย์ที่ปรึกษา.....  
 ปีการศึกษา.....2547.....ลายมืออาจารย์ที่ปรึกษาร่วม.....

## 4472413923 : **MAJOR** INDUSTRIAL MICROBIOLOGY

**KEY WORD:** ACETYL ESTERASE / *Streptomyces* sp. PC22

WARULEE THONGKUM : ACETYL ESTERASE PRODUCTION BY *Streptomyces* sp. PC22 THESIS ADVISOR: ASSOC. PROF. PAIROH PINPHANICHAKARN, Ph.D. 95 pp. ISBN: 974-53-1477-3

Optimal production conditions for acetyl esterase, one of the xylan debranching enzymes, by *Streptomyces* sp. PC22 were investigated. Among various sources of commercial available xylan which were from oat spelts, birchwood beechwood, birchwood xylan was the best carbon source. Using birchwood xylan at the optimal concentration of 1 % (w/v) with a suitable organic or inorganic nitrogen source which was polypeptone or  $(\text{NH}_4)_2\text{HPO}_4$  at the concentration equivalent to 0.05% nitrogen (w/v) the maximum enzyme activity of 0.33 and 0.24  $\text{U}\cdot\text{ml}^{-1}$  were obtained, respectively, when cultivated for 3 days at the initial pH of 9 and 10, respectively. When xylan-containing agricultural materials which were wheat bran, rice bran, rice straw, corn hulls, corn cobs, cotton seed hulls and saw dust were use as a carbon source instead of the commercial xylan , corn hull was found to be the best. Using corn hulls at the optimal concentration of 1.5% (w/v) with a suitable organic nitrogen which was polypeptone at the concentration equivalent to 0.05% nitrogen (w/v) or inorganic nitrogen which was  $\text{NH}_4\text{Cl}$  at the concentration equivalent to 0.075% nitrogen (w/v), activities obtained were comparable to those of with the commercial xylan by giving the maximum values of 0.31 and 0.29  $\text{U}\cdot\text{ml}^{-1}$  , respectively when cultivated for 2 days at the initial pH of 9. Preliminary study on the enzyme properties showed that it had temperature and pH optima of 60°C and 6.5, respectively, it was stable to temperature up to 50 °C and almost completely lost its activity when preincubated for 30 min at 70°C. It was stable to a wide range of pH from 4.5-9.0

Department.....Microbiology.....Student's signature.....

Field of study.....Industrial Microbiology.....Advisor's signature.....

Academic year...2004.....Co-advisor's signature.....

## กิตติกรรมประกาศ

วิทยานิพนธ์ฉบับนี้สำเร็จลุล่วงไปด้วยดีด้วยความช่วยเหลืออย่างยิ่งจากรองศาสตราจารย์ ดร. ไพเราะปิ่นพานิชการ อาจารย์ที่ปรึกษาวิทยานิพนธ์ที่กรุณาให้ความรู้ คำแนะนำ และข้อคิดเห็นต่างๆ ตลอดจนได้กรุณาปรับปรุงวิทยานิพนธ์ฉบับนี้ให้สมบูรณ์มากขึ้น ซึ่งผู้วิจัยขอกราบขอบพระคุณเป็นอย่างสูงไว้ ณ ที่นี้

ขอกราบขอบพระคุณ ผู้ช่วยศาสตราจารย์ ดร. สุเทพ ธานีวัน รองศาสตราจารย์ ดร. ศิริรัตน์ เร่งพิพัฒน์ และผู้ช่วยศาสตราจารย์ ดร. กอบชัย ภัทรกุลวณิช ที่กรุณาเป็นคณะกรรมการในการสอบวิทยานิพนธ์ และช่วยปรับปรุงวิทยานิพนธ์ฉบับนี้จนสมบูรณ์

กราบขอพระคุณอาจารย์ทุกท่านในภาควิชาจุลชีววิทยา และขอขอบคุณเจ้าหน้าที่ในภาควิชาจุลชีววิทยาทุกท่าน ตลอดจนพี่ๆ เพื่อนๆ และน้องๆ ทุกคนที่มีส่วนในการช่วยเหลือด้วยดีตลอดมา

ขอขอบคุณบัณฑิตวิทยาลัย จุฬาลงกรณ์มหาวิทยาลัยที่ให้ทุนอุดหนุนในงานวิจัยนี้ และขอขอบคุณเจ้าหน้าที่บัณฑิตวิทยาลัยทุกท่านที่ให้ความสะดวกต่างๆ

สุดท้ายนี้ขอกราบขอบพระคุณบิดา มารดา และญาติพี่น้องทุกคน ที่ได้ให้ความช่วยเหลือสนับสนุนและให้กำลังใจแก่ผู้วิจัยในการทำวิทยานิพนธ์มาตลอดจนเสร็จสมบูรณ์

สถาบันวิทยบริการ  
จุฬาลงกรณ์มหาวิทยาลัย

## สารบัญ

	หน้า
บทคัดย่อภาษาไทย .....	ง
บทคัดย่อภาษาอังกฤษ .....	จ
กิตติกรรมประกาศ .....	ฉ
สารบัญ .....	ช
สารบัญตาราง .....	ฌ
สารบัญรูป .....	ฉ
บทที่	
1. บทนำ .....	1
2. ปรัชศน์วรรณกรรม.....	5
3. อุปกรณ์และวิธีดำเนินการทดลอง .....	22
4. ผลการทดลอง .....	34
5. สรุปและวิจารณ์ผลการทดลอง .....	74
รายการอ้างอิง .....	82
ภาคผนวก .....	88
ภาคผนวก ก .....	89
ภาคผนวก ข .....	91
ภาคผนวก ค.....	92
ภาคผนวก ง.....	93
ภาคผนวก จ.....	94
ประวัติผู้เขียนวิทยานิพนธ์ .....	95

## สารบัญตาราง

ตาราง	หน้า
2.1 แสดงปริมาณหมู่อะซีทิลในไขมันเนื้อแข็งชนิดต่างๆ.....	6
2.2 ชนิดของจุลินทรีย์ที่สามารถใช้ไฮโดสในการผลิตแอกฮอลล์.....	10
2.3 ตัวอย่างสายพันธุ์ของจุลินทรีย์ที่สามารถสร้างอะซีทิลเอสเทอร์.....	13
2.4 คุณภูมิและความเป็นกรดต่างที่เหมาะสมต่อการทำงานของอะซีทิลเอสเทอร์จาก จุลินทรีย์ต่าง.....	18
2.5 ความเสถียรต่ออุณหภูมิและความเป็นกรดต่างของอะซีทิลเอสเทอร์จากจุลินทรีย์ ต่างๆ.....	20
4.1 ปริมาณอะซีทิลเอสเทอร์ทั้งหมดภายในเซลล์และในน้ำเลี้ยงเชื้อเมื่อเลี้ยงในอาหาร เลี้ยงเชื้อปริมาตร 60 มิลลิลิตร เป็นเวลา 2 วัน.....	34
4.2 แหล่งคาร์บอนและแหล่งไนโตรเจนของอาหารเลี้ยงเชื้อ 4 ชุดที่ใช้ในการแปร pH เริ่มต้นของอาหารเลี้ยงเชื้อในช่วง 7.0-11.0 และปริมาณเอนไซม์ที่สร้างขึ้นที่ค่า pH ที่ เหมาะสม.....	61
4.3 ชุดองค์ประกอบหลักของอาหารเลี้ยงเชื้อ และภาวะที่ใช้ในการเลี้ยงเชื้อ เพื่อการ สร้างอะซีทิลเอสเทอร์ภายใต้ภาวะการแปรอุณหภูมิบ่มเชื้อที่ 30-50 องศาเซลเซียส และปริมาณเอนไซม์ที่สร้างขึ้นที่อุณหภูมิบ่มเชื้อ 40 องศาเซลเซียส.....	64
4.4 สมบัติเบื้องต้นของอะซีทิลเอสเทอร์.....	73
5.1 แสดงชนิดของจุลินทรีย์ แหล่งคาร์บอน แหล่งไนโตรเจนและระยะเวลาการเลี้ยงต่อการ สร้างอะซีทิลเอสเทอร์.....	77
5.2 แสดงคุณภูมิและค่าความเป็นกรดต่างที่เหมาะสมต่อการทำงานของ อะซีทิลเอสเทอร์โดยจุลินทรีย์ชนิดต่างๆ.....	80



## สารบัญรูป

รูปที่	หน้า
1.1 โครงสร้าง ลิกนิน เฮมิเซลลูโลส และเซลลูโลส .....	1
1.2 การย่อยสลายไซแลนด้วยเอนไซม์กลุ่มย่อยสลายไซแลน.....	3
2.1 องค์ประกอบทางเคมีของไซแลนจากไม้เนื้อแข็ง.....	6
2.2 แสดงโครงสร้างไซแลนที่พบในพืชทั่วไป.....	7
2.3 แสดงการทำงานของอะซีทิลเอสเทอเรส.....	8
2.4 แสดงการเปลี่ยนน้ำตาลไซโลสเป็นไซลิทอล.....	10
2.5 การหมักน้ำตาลไซโลสไปเป็นแอลกอฮอล์โดยยีสต์.....	11
2.6 แสดงการเปลี่ยนไซโลสเป็น furfural.....	12
4.1 ผลของความเป็นกรดต่างต่อการทำงานของอะซีทิลเอสเทอเรส.....	36
4.2 ผลของอุณหภูมิต่อการทำงานของอะซีทิลเอสเทอเรส.....	37
4.3 รูปแบบการเจริญของ <i>Streptomyces</i> sp. PC22.....	39
4.4 ผลการเปรียบเทียบอายุของหัวเชื้อต่อการสร้างอะซีทิลเอสเทอเรสโดย <i>Streptomyces</i> sp. PC22.....	40
4.5 ผลของความเข้มข้นของหัวเชื้อต่อการผลิตอะซีทิลเอสเทอเรสจาก <i>Streptomyces</i> sp. PC22.....	42
4.6 ผลของไซแลนชนิดต่างๆ ที่ความเข้มข้น 0.5 % ต่อการสร้างอะซีทิลเอสเทอเรส จาก <i>Streptomyces</i> sp. PC22.....	44
4.7 ผลของความเข้มข้นไซแลนจากไม้เบิร์ชในอาหารเลี้ยงเชื้อต่อการสร้างอะซีทิลเอสเทอเรสจาก <i>Streptomyces</i> sp.PC22.....	45
4.8 ผลการทดลองใช้วัสดุทางการเกษตรชนิดต่างๆ เปรียบเทียบกับไซแลนจากไม้เบิร์ชที่ ความเข้มข้น 1%เป็นแหล่งคาร์บอนต่อการสร้างอะซีทิลเอสเทอเรสโดย <i>Streptomyces</i> sp. PC22.....	48

## สารบัญญรูป (ต่อ)

รูปที่	หน้า
4.9 ผลของความเข้มข้นเปลือกข้าวโพดต่อการสร้างอะซีทิลเอสเทอร์โดย <i>Streptomyces</i> sp. PC22.....	49
4.10 ผลของระยะเวลาต่อการสร้างอะซีทิลเอสเทอร์โดย <i>Streptomyces</i> sp. PC22 เลี้ยงในอาหารเหลวที่มี 1.5 เปอร์เซ็นต์เปลือกข้าวโพดเป็นแหล่งคาร์บอน.....	50
4.11 ผลของอนินทรีย์ไนโตรเจนชนิดต่างๆ และพอลิเพปไทด์เทียบกับไนโตรเจนที่ความ เข้มข้น 0.05 %ต่อการสร้างอะซีทิลเอสเทอร์ เมื่อใช้ไซแลนจากไม้เบิร์ช 1 % เป็น แหล่งคาร์บอน.....	52
4.12 ผลของอนินทรีย์ไนโตรเจนชนิดต่างๆ และพอลิเพปไทด์เทียบกับไนโตรเจนที่ความ เข้มข้น 0.05% ต่อการสร้างอะซีทิลเอสเทอร์ เมื่อใช้เปลือกข้าวโพดความเข้มข้น 1.5% เป็นแหล่งคาร์บอน.....	54
4.13 ผลของ $(\text{NH}_4)_2\text{HPO}_4$ ที่ความเข้มข้นไนโตรเจนต่างๆ เปรียบเทียบกับพอลิเพปไทด์ที่มี ความเข้มข้นของไนโตรเจน 0.05%ต่อการสร้างอะซีทิลเอสเทอร์เมื่อใช้ 1% ไซแลน จากไม้เบิร์ชเป็นแหล่งคาร์บอน.....	56
4.14 ผลของ $\text{NH}_4\text{Cl}$ ที่ความเข้มข้นไนโตรเจนต่างๆ เปรียบเทียบกับพอลิเพปไทด์ที่มี ความเข้มข้นของไนโตรเจน 0.05% ต่อการสร้างอะซีทิลเอสเทอร์เมื่อใช้เปลือกข้าวโพด เป็นแหล่งคาร์บอน.....	57
4.15 ผลของระยะเวลาบ่มเชื้อต่อการผลิตอะซีทิลเอสเทอร์ เมื่อมีไซแลนจากไม้เบิร์ช 1 % เป็นแหล่งคาร์บอนและ $(\text{NH}_4)_2\text{HPO}_4$ เป็นแหล่งไนโตรเจนที่ความเข้มข้นไนโตรเจน 0.05%.....	59
4.16 ผลของระยะเวลาบ่มเชื้อต่อการผลิตอะซีทิลเอสเทอร์ เมื่อมีไซแลนจากเปลือก ข้าวโพด 1.5% เป็นแหล่งคาร์บอนและ $\text{NH}_4\text{Cl}$ เป็นแหล่งไนโตรเจน ที่ความเข้มข้น ไนโตรเจน 0.075%.....	60
4.17 ผลของความเป็นกรดต่างเริ่มต้นของอาหารเลี้ยงเชื้อต่อการสร้างอะซีทิลเอสเทอร์ เมื่อใช้ไซแลนจาก ไม้เบิร์ช 1%เป็นแหล่งคาร์บอน.....	62
4.18 ผลของความเป็นกรดต่างเริ่มต้นของอาหารเลี้ยงเชื้อต่อการสร้างอะซีทิลเอสเทอร์ เมื่อใช้เปลือกข้าวโพด 1.5%เป็นแหล่งคาร์บอน.....	63

## สารบัญรูป (ต่อ)

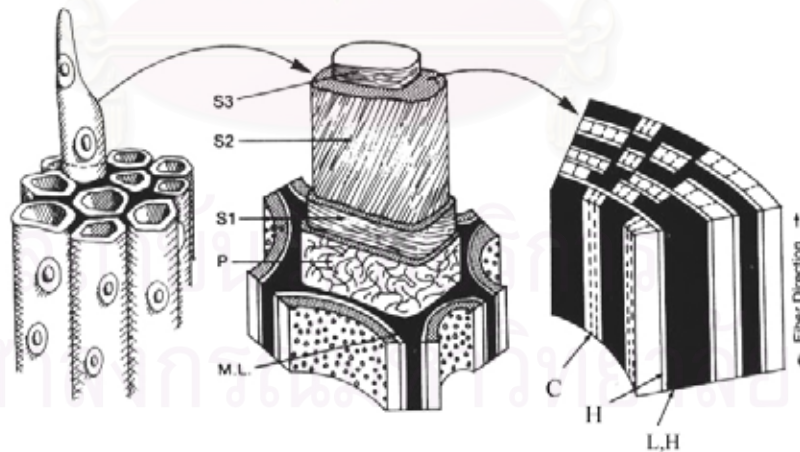
รูปที่	หน้า
4.19 ผลคุณสมบัติต่อการสร้างอะซีทิลเอสเทอร์สในอาหารที่มีไซแลนจากไม้เบิร์ช 1% เป็นแหล่งคาร์บอนมีค่าความเป็นกรดต่างเริ่มต้นที่เหมาะสม.....	65
4.20 ผลคุณสมบัติต่อการสร้างอะซีทิลเอสเทอร์สในอาหารที่มีเปลือกข้าวโพด 1.5%เป็นแหล่งคาร์บอนมีค่าความเป็นกรดต่างเริ่มต้นที่เหมาะสม.....	66
4.21 ผลคุณสมบัติต่อการทำงานของอะซีทิลเอสเทอร์สจาก <i>Streptomyces</i> sp. PC22.....	68
4.22 ผลของความเป็นกรดต่างต่อการทำงานของอะซีทิลเอสเทอร์สจาก <i>Streptomyces</i> sp. PC22.....	69
4.23 ความเสถียรของอะซีทิลเอสเทอร์สต่ออุณหภูมิ.....	71
4.24 ความเสถียรของอะซีทิลเอสเทอร์สต่อความเป็นกรดต่าง.....	72

# บทที่ 1

## บทนำ

### ความเป็นมาและความสำคัญของปัญหา

เซลลูโลสเป็นแหล่งคาร์บอนหลักในธรรมชาติ ประกอบด้วยพอลิเมอร์ที่เป็นองค์ประกอบหลัก 3 ชนิด ดังนี้ ชนิดแรกคือ เซลลูโลส (cellulose) เป็นพอลิเมอร์ของน้ำตาลกลูโคสเชื่อมต่อกันด้วยพันธะ บีตา -1,4- ไกลโคซิดิก ( $\beta$ -1,4-glycosidic) ที่เป็นสายตรง มีสูตรทั่วไปคือ  $(C_2H_{10}O_5)_n$  พบประมาณ 30-50 เปอร์เซ็นต์ของน้ำหนักแห้ง ชนิดที่สองคือ เฮมิเซลลูโลส (hemicellulose) เป็นสารประกอบโพลีแซคคาไรด์ที่มีน้ำตาลเพนโตส และ/หรือน้ำตาลเฮกโซส ได้แก่ ไซแลน กลูแคน แมนแนน ชนิดสุดท้ายคือ ลิกนิน (lignin) เป็นสารประกอบเชิงซ้อนประเภทพอลิฟีนอลิก (polyphenolic) ซึ่งแต่ละหน่วยเชื่อมต่อกันด้วยพันธะอีเทอร์ (Wong และคณะ, 1988) โดยองค์ประกอบทั้งสามจะมีความสัมพันธ์กันดังรูป



รูปที่ 1.1 โครงสร้าง ลิกนิน เฮมิเซลลูโลส และเซลลูโลส โดย C คือ เซลลูโลส, H คือ เฮมิเซลลูโลส และ L,H คือ ชั้นของลิกนินกับเฮมิเซลลูโลส ซึ่งเป็นส่วนประกอบของท่อลำเลียงน้ำในผนังชั้นที่สองของพืช S1-S3 คือ ผนังชั้นที่สอง P คือ ผนังชั้นแรก M.L. คือผนังชั้นกลาง (Kirk และCullen, 1998)

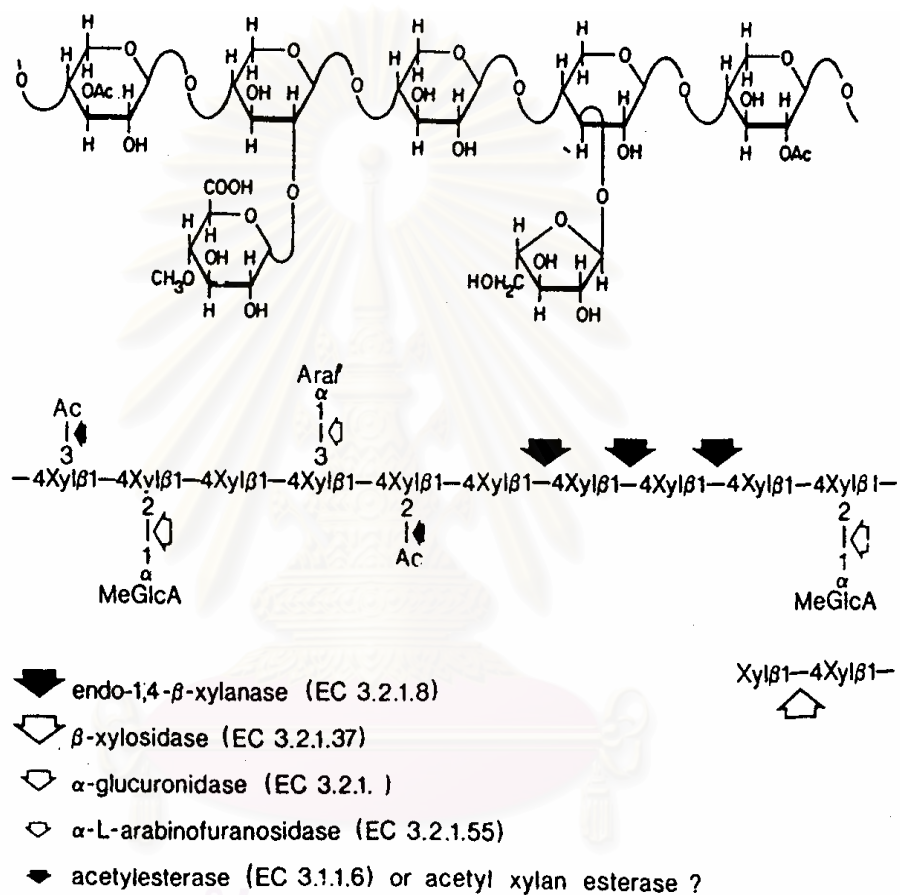
ไซแลนจัดเป็นเฮมิเซลลูโลสที่พบมากที่สุดในพืชโดยเป็นองค์ประกอบหลักของผนังชั้นที่ 2 ของพืช โดยพืชใบเลี้ยงคู่หลายชนิดจะสร้างเซลล์ชั้นที่ 2 ที่มีลักษณะหนาเมื่อพืชเจริญเติบโตเต็มที่ อาจพบไซแลนได้บ้างในผนังชั้นที่หนึ่งของพืชใบเลี้ยงเดี่ยว ซึ่งไซแลนที่พบในพืชแต่ละชนิดจะมีโครงสร้างหลักเหมือนกัน แต่จะแตกต่างกันที่บริเวณไซกิง ปัจจุบันได้มีการศึกษาการย่อยสลายไซแลนเพื่อนำกลับมาใช้ประโยชน์เนื่องจากไซแลนเป็นทรัพยากรธรรมชาติ ที่สามารถใช้ได้ไม่มีวันหมด (Wong และคณะ 1988)

การย่อยสลายไซแลนให้เป็นน้ำตาลโมเลกุลเดี่ยว สามารถทำได้โดยใช้สารเคมี (chemical hydrolysis) และการย่อยด้วยเอนไซม์ (enzyme hydrolysis) หรือใช้ทั้งสองวิธีร่วมกัน (Tsao และ Chiang, 1983)

การย่อยสลายไซแลนด้วยสารเคมีคือ การย่อยสลายไซแลนด้วยด่าง โดยในอุตสาหกรรม การผลิตกระดาษ จะต้มไม้ชิ้นเล็กๆ ในสารละลายโซเดียมไฮดรอกไซด์เข้มข้น ภายใต้สภาวะ อุณหภูมิสูงเพื่อกำจัดลิกนินและเฮมิเซลลูโลสบางส่วน จากนั้นจะนำไปผ่านกระบวนการฟอกสีเยื่อกระดาษโดยใช้ คลอรีน และ คลอรีนไดออกไซด์ (chlorine dioxide) ซึ่งพบว่า จะเกิดสารพิษที่เป็น สารประกอบของคลอรีนขึ้นซึ่งเป็นพิษต่อสิ่งแวดล้อมอย่างมาก (Clarke และคณะ, 1997)

การย่อยสลายไซแลนด้วยเอนไซม์จะมีความจำเพาะมากกว่าสารเคมี และเป็นมิตรต่อ สิ่งแวดล้อม ผลผลิตจากการย่อยสลายสามารถนำไปใช้ผลิตสารอื่นๆ ที่เกิดประโยชน์ได้ การย่อย สลายไซแลนด้วยเอนไซม์นั้นจะต้องใช้เอนไซม์หลายชนิดร่วมกันเรียกว่า เอนไซม์กลุ่มย่อยสลาย ไซแลนมีเอนไซม์ดังต่อไปนี้ ไซแลเนส (endo- $\beta$ -1,4 Xylan xylanohydrolase; EC 3.2.1.8) ทำ หน้าที่สลายพันธะ บีตา-ดี-ไซโลซิติก ในสายหลักของไซแลนแบบสุ่ม (Saddler, 1993) โดยจะตัด โพลีเมอร์ของไซแลนสายยาวได้เป็นไซโลโอลิโกแซคคาไรด์สายสั้นๆ และน้ำตาลไซโลส จากนั้น ไซโลโอลิโกแซคคาไรด์จะถูกย่อยต่อด้วยเอนไซม์อื่นๆ เช่น บีตาไซโลซิเดส ( $\beta$ -Xylosidase หรือ  $\beta$ -1,4-Xylan xylanohydrolase; EC 3.2.1.37) ซึ่งจะย่อยสลายพันธะ บีตา-ดี-ไพรวานิไซด์ที่ละ 1 หน่วยในสายไซโลโอลิโกแซคคาไรด์หรือสายหลักของไซแลนจากบริเวณปลายสายด้าน นอนรีดิวซ์ ได้เป็นน้ำตาลไซโลส แต่เนื่องจากสายของไซแลนจะมีหมู่ข้างเคียงหลายชนิดการย่อยสลายไซแลน อย่างสมบูรณ์จึงต้องสลายหมู่ข้างเคียงออกด้วยโดยมีเอนไซม์ดังต่อไปนี้ แอลฟา-แอล-อะราบิโน พิวรานิไซด์ ( $\alpha$ -L-arabinofuranosidase ; EC 3.2.1.55) ซึ่งย่อยสลายพันธะ แอลฟา-แอล-อะรา บิโนพิววานิไซด์ แอลฟา-ดี-กลูคูโรนิไซด์ ( $\alpha$ -D-glucuronidase ; EC 3.2.1.) สลายพันธะ แอลฟา-1,4- ระหว่างแอลฟา-ดี-กลูคูโรนิก ( $\alpha$ -D-glucuronic acid) หรือ 4-โอ-เมทิล-ดี-กลูคู โรนิกแอซิด (4-o-methyl glucuronic acid) กับสายหลัก และอะซีทิล(ไซแลน)เอสเทอร์

(acetyl(xylan)esterase ; EC 3.1.1.6.) จะย่อยสลายพันธะบีตา-1,2 และ บีตา-1,3 ที่เชื่อมหมู่ อะซีทิลกับสายหลักหรือไซโลโพลิโกแซคคาไรด์ ได้ผลิตภัณฑ์สุดท้ายเป็นกรดอะซีติก (Beg และคณะ 2001) โดยแผนภาพรวมการทำงานของเอนไซม์กลุ่มนี้แสดงดังรูปที่ 1.2



รูปที่ 1.2 การย่อยสลายไซแลนด้วยเอนไซม์กลุ่มย่อยสลายไซแลน (Biely, 1985)

Ac	แทน	หมู่อะซีทิล
Araf	แทน	แอล-อะราบินโนฟิวรานอส
MeGlcA	แทน	4-โอ-เมทิล-ดี-กลูคูโรนิกแอซิด
Xyl	แทน	ดี-ไซโลส

งานวิจัยนี้มีจุดประสงค์ที่จะศึกษาอะซีทิลเอสเทอร์ซึ่งเป็นหนึ่งในเอนไซม์ย่อยสลายโซ่กิ่งของไซแลนจาก *Streptomyces* sp. PC22 ซึ่งเป็นจุลินทรีย์ที่เจริญได้ดีที่อุณหภูมิ และค่าความเป็นกรดต่างสูง รวมถึงสามารถสร้างไซแลนเนสที่ทำงานได้ดีที่อุณหภูมิสูง (Ungchaithum และ Pinphanichakarn, 1998)

### วัตถุประสงค์ของการวิจัย

เพื่อศึกษาปัจจัยและภาวะที่เหมาะสมต่อการสร้างอะซีทิลเอสเทอร์จากเชื้อ *Streptomyces* sp. PC22 และศึกษาสมบัติเบื้องต้นของเอนไซม์ที่ได้

### ขอบเขตของการวิจัย

1. ศึกษาแหล่งคาร์บอน และแหล่งไนโตรเจนที่มีผลต่อการสร้างอะซีทิลเอสเทอร์โดย *Streptomyces* sp. PC22
2. ศึกษาภาวะที่เหมาะสมต่อการสร้างอะซีทิลเอสเทอร์โดย *Streptomyces* sp. PC22
3. ศึกษาสมบัติเบื้องต้นของอะซีทิลเอสเทอร์จาก *Streptomyces* sp. PC22

สถาบันวิทยบริการ  
จุฬาลงกรณ์มหาวิทยาลัย

## บทที่ 2

### ปรีทัศน์วรรณกรรม

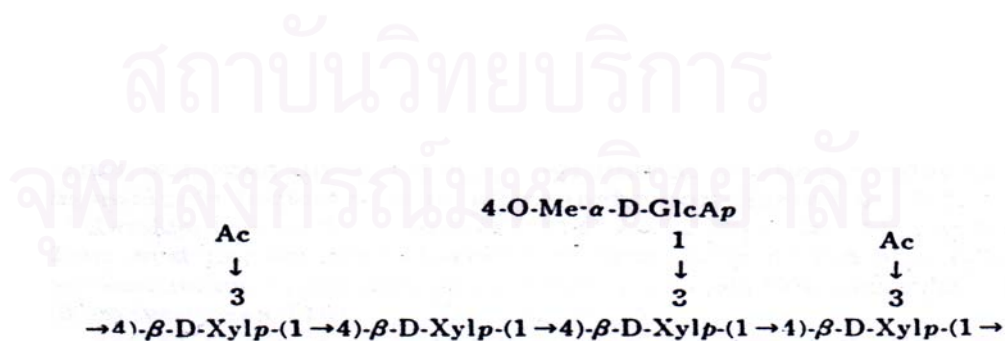
#### 2.1 ไชแลน

ไชแลนเป็นเฮมิเซลลูโลสประเภทหนึ่ง ที่ทำหน้าที่เชื่อมประสานชั้นของเซลลูโลสและลิกนิน โดยเชื่อมกับชั้นของลิกนินด้วยพันธะโควาเลนต์ และเชื่อมกับชั้นเซลลูโลสด้วยพันธะนอน-โควาเลนต์ หน้าที่หลักคือทำการป้องกันการย่อยสลายชั้นเซลลูโลสจากเอนไซม์เซลลูเลส (Beg และคณะ, 2001) ไชแลนพบได้ในพืชหลายชนิด เช่น หญ้า เฟิร์น มอส ไม้เนื้ออ่อน ไม้เนื้อแข็ง ไชแลนเป็นสายของน้ำตาลไซโลสที่เชื่อมต่อกันด้วยพันธะ ปีตา-(1,4)-ดี-ไฮโดรไพราโนส ซึ่งจะมีหมู่ข้างเคียง มาเชื่อมต่อกันที่คาร์บอนตำแหน่ง 2 และ 3 หมู่ข้างเคียงที่มาเชื่อมต่อกัน ได้แก่ แอลฟา-แอล-อะราบิโนส แอลฟา-กลูคูโรนิกแอซิด หมู่อะซีทิล และอาจมีหมู่เฟอร์รูริล มาเกาะอยู่ด้วย ดังแสดงในรูปที่ 2.1 - 2.3 ไชแลนจากพืชแต่ละชนิดมีหมู่ข้างเคียงชนิดต่างๆ ในปริมาณที่แตกต่างกัน ดังตารางที่ 2.1 ได้แสดงถึงปริมาณที่แตกต่างกันของหมู่อะซีทิลในไชแลนจากไม้เนื้อแข็งชนิดต่างๆ (Linden และคณะ, 1990) ในไม้เนื้อแข็งจะมีอัตราส่วนของ น้ำตาลไซโลสและหมู่อะซีทิลเป็น 10 ต่อ 7 (Kantelinen และคณะ, 1993) ส่วนหญ้าและธัญพืช เช่น ฟางข้าวสาลี เปลือกเมล็ดฝ้าย ก็พบว่าหมู่อะซีทิลเป็นหมู่ข้างเคียงเช่นกันแต่มีปริมาณต่ำกว่าของไม้เนื้อแข็ง (Mcdermid และคณะ, 1990) ส่วนไชแลนจากไม้เนื้ออ่อนบางชนิดพบว่าหมู่อะซีทิลเป็นหมู่ข้างเคียงประมาณ 1-2 เปอร์เซนต์ (Maijala, 2000) บางชนิดก็ไม่พบหมู่อะซีทิลเป็นหมู่ข้างเคียง (Basaran และ Hang, 2000) หน้าที่หลักของหมู่อะซีทิลคือการปกป้องไม่ให้สายหลักของไชแลนถูกย่อยด้วยเอนไซม์ ไชแลเนส ซึ่งมีรายงานว่าไชแลนที่มีหมู่อะซีทิลมาก การย่อยสลายอย่างสมบูรณ์ก็ต้องอาศัยการทำงานร่วมกันของเอนไซม์ย่อยสลายสายหลัก และอะซีทิลเอสเทอเรสมากขึ้น (Mcdermid และคณะ, 1990)

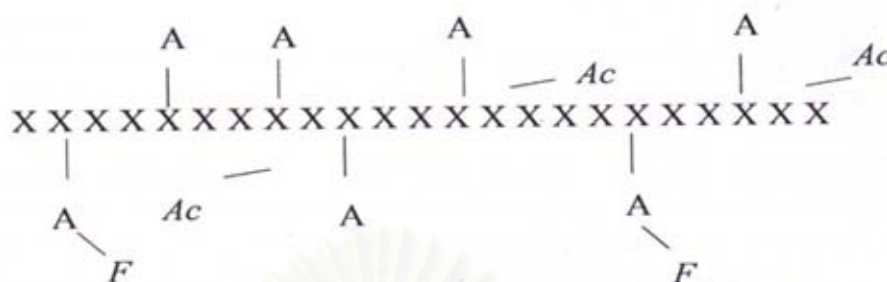


ตารางที่ 2.1 แสดงปริมาณหมู่อะซีทิลในไซแลนไม้เนื้อแข็งชนิดต่างๆ โดย Samara, 1992 (อ้างอิงโดย Linden และคณะ, 1994)

ชนิดของไม้เนื้อแข็ง	ปริมาณหมู่อะซีทิล (% น้ำหนักต่อน้ำหนัก)
Aspen	3.4
Balsa	4.2
Basswood	4.2
Beech	3.9
Yellow Birch	3.3
White Birch	3.1
Paper Birch	4.4
American Elm	3.9
Shellbark Hickory	1.8
Red Maple	3.8
Sugar Maple	3.2
Mesquite	1.5
Overcup Oak	2.8
Southern Red Oak	3.3
Tan Oak	3.8



รูปที่ 2.1 องค์ประกอบทางเคมีของไซแลนจากไม้เนื้อแข็ง (Hon และ Shiraishi, 1990)



รูปที่ 2.2 โครงสร้างโซ่แลนที่พบในพืชทั่วไป (Kanauchi และ Bamforth, 2003)

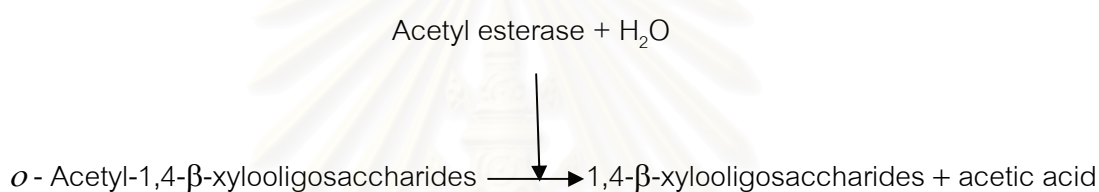
X	แทน	ไซโลส
A	แทน	หมู่อะราบิโนส
F	แทน	หมู่เฟอริล
Ac	แทน	หมู่อะซีทิล

## 2.2 อะซีทิล(โซแลน)เอสเทอเรส (EC 3.1.1.6.)

อะซีทิลเอสเทอเรส ถูกจัดว่าเป็นเอนไซม์ชนิดหนึ่งที่มีความสำคัญต่อการย่อยสลายผนังเซลล์พืชโดยในปี 1963, Frohwein และคณะ (อ้างถึงโดย Linden และคณะ, 1994) ได้ค้นพบเอนไซม์อะซีทิลเอสเทอเรสย่อยสลายซัปสเตรสชนิดต่างๆ ที่มีหมู่อะซีทิลเป็นองค์ประกอบ เช่น acetyl-mannose, acetyl-glucose, acetyl-maltose และ acetyl-cellobiose พบว่าซัปสเตรสเหล่านั้นถูกย่อยสลายได้ ในปี 1981 Williams และ Withers ได้รายงานถึงการทำงานของอะซีทิลเอสเทอเรสอีกครั้ง จากการคัดแยกแบคทีเรียมากกว่า 100 สายพันธุ์จากลำไส้ของสัตว์ พบว่ากว่า 30 สายพันธุ์ที่คัดแยกได้นั้นมีความสามารถในการย่อยสลายโซแลนได้และตรวจพบว่ามีแอกติวิตีของเอสเทอเรสอยู่ด้วย อย่างไรก็ตามแอกติวิตีของเอสเทอเรสต่อการย่อยสลายอะซีทิลโซแลนยังไม่ได้รับการสนใจมากนักจนกระทั่งในปี 1985 Biely ได้รายงานถึงการทำงานของ อะซีทิล(โซแลน) เอสเทอเรส (EC 3.1.1.6.) เป็นครั้งแรก

### 2.2.1 หน้าที่ของอะซีทิลเอสเทอเรส

อะซีทิลเอสเทอเรสจัดเป็นเอนไซม์สำคัญชนิดหนึ่งในกลุ่มย่อยสลายหมู่ข้างเคียงของไซแลน โดยทำหน้าที่ในการสลายพันธะ บีตา -1,2 และ บีตา -1,3 ของหมู่อะซีทิลที่เชื่อมอยู่กับสายไซแลน ส่งผลให้เอนไซม์ย่อยสลายสายหลักเข้าย่อยสลายไซแลนได้ดีขึ้นผลผลิตที่ได้จากการทำงานของอะซีทิลเอสเทอเรส คือ ไชโลโอลิโกแซคคาไรด์ น้ำตาลไซโลส และกรดอะซีติก (Johnson และคณะ, 1988) ซึ่งการทำงานของอะซีทิลเอสเทอเรสแสดงดังรูปที่ 2.3



รูปที่ 2.3 แสดงการทำงานของอะซีทิลเอสเทอเรส (Johnson และคณะ, 1988)

### 2.2.2 การทำงานร่วมกันระหว่างอะซีทิลเอสเทอเรสและไซแลเนส

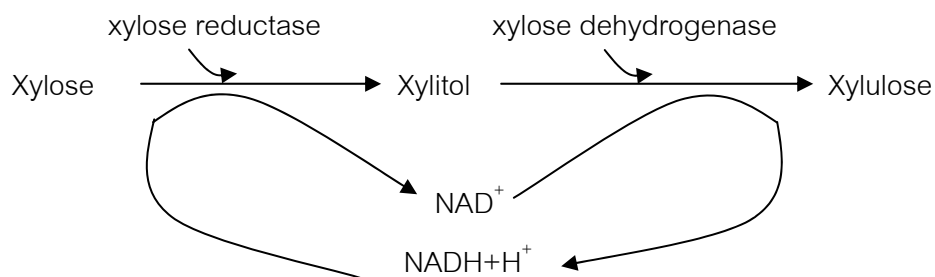
หมู่อะซีทิลมีหน้าที่ป้องกันสายไซแลนจากการย่อยสลายของเอนไซม์ และป้องกันไม่ให้นักแบคทีเรียของพืชถูกทำลาย จากการศึกษาค้นคว้าการย่อยหญ้าแห้งในลำไส้ของสัตว์ พบว่า ไซแลนที่มีหมู่ข้างเคียงเป็นอะซีทิลจะถูกย่อยได้ยาก และยังมีจำนวนหมู่อะซีทิลมากอัตราการย่อยสลายจะลดลง แต่เมื่อนำอะซีทิลไซแลนมาทำการสลายหมู่อะซีทิลออกก่อนด้วยสารเคมีพบว่า ไซแลนจะถูกย่อยสลายได้เพิ่มมากขึ้น และเช่นเดียวกันเมื่อทำการเตรียมไซแลนชนิดเดียวกันโดยใช้อะซีทิลเอสเทอเรสแทนสารเคมีพบว่าช่วยให้เกิดการย่อยสลายไซแลนได้ดีขึ้น Puls และคณะ (1991) รายงานว่า เมื่อนำอะซีทิล-4-O-เมทิลกลูคูโรโนไซแลน จากไม้ปืชมาย่อยด้วยอะซีทิลเอสเทอเรสร่วมกับไซแลเนส พบว่าจะถูกย่อยสลายได้ดีขึ้น พบน้ำตาลไซโลส ไชโลไบโอส และไชโลไตรโอส เป็นจำนวนมาก ซึ่งมากกว่าการใช้ไซแลเนสเพียงชนิดเดียว เมื่อ Poutanen และคณะ (1990) ศึกษาถึงการทำงานของไซแลเนสร่วมกับอะซีทิลเอสเทอเรสจาก *Tricoderma reesei* พบว่าทั้งสองเอนไซม์

ส่งเสริมซึ่งกันและกันในการย่อยสลายพันธะไกลโคซิดิก โดยพบว่าเมื่อใช้ อะซีทิลเอสเทอร์สังเคราะห์ หมู่อะซีทิล จากไซโลโอลิโกแซคคาไรด์สายสั้นๆ ออกจะทำให้ เกิดการย่อยสลายไซแลนได้อย่าง สมบูรณ์ Biley และคณะ (1988) พบว่าหากไซแลนได้รับการย่อยสลายหมู่ข้างเคียงก่อนไซแลนเนส จะทำงานได้ดีขึ้น Poutanen และคณะ (1990) พบว่าหากไซแลนเนสทำงานก่อนจะช่วยทำให้ อะซีทิลเอสเทอร์ทำงานได้ดีเช่นกัน

อย่างไรก็ตามผลที่ได้จากการทำงานอะซีทิลเอสเทอร์ร่วมกับเอนไซม์ย่อยสลายสายหลัก ช่วยทำให้เกิดการย่อยสลายไซแลนได้อย่างสมบูรณ์จะได้ผลผลิตสุดท้ายคือ น้ำตาลไซโลส และ กรดอะซีติกซึ่งสามารถนำมาใช้ประโยชน์ในด้านต่างๆ อีกมากมาย

### การใช้ประโยชน์จากน้ำตาลไซโลส

เมื่อเกิดการย่อยสลายอย่างสมบูรณ์ของไซแลนน้ำตาลโมเลกุลเดี่ยวที่ได้คือ น้ำตาลไซโลส ซึ่งสามารถนำมาใช้ในอุตสาหกรรมต่าง ๆ มากมาย เช่น ในการผลิต high fructose corn sweetener โดยน้ำตาลไซโลสจะถูกนำไปใช้เป็นสารกระตุ้นในการสร้างเอนไซม์ไซโลสไอโซเมอเรส (D-Xylose ketol isomerase; EC 5.3.1.5) ซึ่งจะเปลี่ยนน้ำตาลไซโลสไปเป็นน้ำตาลฟรักโทส (D-fructose) ซึ่งจะถูกนำไปใช้ในอุตสาหกรรมการผลิตขนมหวานและลูกกวาด น้ำตาลไซโลสยังถูกนำไปใช้เป็นวัตถุดิบเพื่อการผลิตไซลิทอล ซึ่งเป็นสารที่ใช้ทางการแพทย์ทดแทนน้ำตาลให้กับผู้ป่วยที่เป็นโรคเบาหวาน หรือใช้เพื่อให้ความหวานในลูกอม ยาสีฟัน หมากฝรั่ง โดยไม่ทำให้ฟันผุ (Uchida และคณะ, 1992) โดยมีกระบวนการเปลี่ยนดังรูปที่ 2.4 นอกจากนี้ยังใช้น้ำตาลไซโลส เป็นสารอาหารให้กับจุลชีพ เพื่อใช้ผลิตโปรตีนเซลล์เดี่ยว และใช้ในการผลิตเชื้อเพลิงโดยเป็นสารตั้งต้นในการผลิตแอลกอฮอล์ (Tsujibo และคณะ, 1990) ชนิดของจุลินทรีย์ที่สามารถใช้น้ำตาลไซโลสในการผลิตแอลกอฮอล์ และสารอื่นๆ ได้ แสดงดังตารางที่ 2.2 และการเปลี่ยนไซโลสเป็นแอลกอฮอล์แสดงดังรูปที่ 2.5



รูปที่ 2.4 แสดงการเปลี่ยนน้ำตาลไซโลสเป็นไซลิตอล (Walker, 1998)

ตารางที่ 2.2 ชนิดของจุลินทรีย์ที่สามารถใช้ไซโลสในการผลิตแอลกอฮอล์

สายพันธุ์จุลินทรีย์	เอกสารอ้างอิง
<i>Aurebasidium pullulans</i>	Biely, 1985
<i>Candida shehatae</i>	Biely, 1985
<i>Fusarium oxysporum</i>	Biely, 1985
<i>Candida tenuis</i>	Walker, 1998
<i>Candida blankii</i>	Walker, 1998
<i>Pichia stipitis</i>	Walker, 1998
<i>Pichia segobiensis</i>	Walker, 1998
<i>Pachysolen tannophilus</i>	Walker, 1998
<i>Kluyeromyces marxianus</i>	Walker, 1998
<i>Kluyeromyces cellobiuvorus</i>	Walker, 1998
<i>Brettanomyces naardenensis</i>	Walker, 1998
<i>Debaryomyces nepalensis</i>	Walker, 1998
<i>Schizosaccharomyces pombe</i>	Walker, 1998
<i>Debaryomyces polymorpha</i>	Walker, 1998
<i>Schizosaccharomyces pombe</i>	Walker, 1998



รูปที่ 2.5 การหมักน้ำตาลไซโลสไปเป็นแอลกอฮอล์โดยยีสต์ (Walker, 1998)

น้ำตาลไซโลสสามารถนำไปเป็นสารตั้งต้นในการผลิต Furfural หรือที่รู้จักกันในชื่อ furfurol, furol และ furfuraldehyde เมื่อกลั่นได้ใหม่ๆ จะเป็นของเหลวไม่มีสี จุดติดไฟง่ายระเหยได้ และเมื่อสัมผัสกับอากาศหรือแสงสว่างจะมีกลิ่น ถูกนำมาใช้ในอุตสาหกรรมเคมี เช่น นำมาทำเป็นตัวทำละลายในการทำให้บริสุทธิ์ของน้ำมันหล่อลื่นคุณภาพสูง, ยางสนและน้ำมันพืช และยังได้เป็นสารตั้งต้นในการผลิต ไนลอน เรซิน น้ำมันเคลือบเงา การเปลี่ยนแปลงไซโลสเป็น furfural แสดงดังรูปที่ 2.6



รูปที่ 2.6 การเปลี่ยนไซโลสเป็น furfural (การใช้ประโยชน์จากกากอ้อย, 2541)

### 2.2.3 การใช้ประโยชน์จากอะซีทิลเอสเทอร์ในด้านอื่นๆ

อะซีทิลเอสเทอร์สามารถทำงานร่วมกับไซแลนเนสในการฟอกสีเยื่อกระดาษทำให้ช่วยลดใช้สารเคมี เช่น โซเดียมไฮดรอกไซด์ และคลอรีน เนื่องจากการย่อยสลายไซแลนในเยื่อกระดาษจะทำให้ลิกนินซึ่งเกาะกับไซแลนหลุดออกไป ส่งผลให้กระดาษมีความขาวและสว่างมากขึ้น ปัจจุบันนักวิทยาศาสตร์ได้นำอะซีทิลเอสเทอร์ไปใช้ในด้านอื่นๆ นอกเหนือจากการทำงานร่วมกับไซแลนเนส เช่นนำไปใช้ในการย่อยสลายหมู่อะซีทิลในคาร์โบไฮเดรตชนิดอื่นๆ รวมถึงน้ำตาลโมเลกุลเดี่ยวอีกด้วย ซึ่ง Biley และคณะ (2003) พบว่าอะซีทิลเอสเทอร์สามารถดึงหมู่อะซีทิลจาก vinyl acetate, triacetin และ ethyl acetate ในสภาวะที่มีน้ำน้อยได้ ผลการทดลองพบว่าได้ผลดีมาก ซึ่งเป็นการทดลองเริ่มต้นเพื่อเป็นทางเลือกในการดัดแปลงโพลิโกแซคคาไรด์และพอลิแซคคาไรด์ต่างๆ ในอนาคต

## 2.3 แหล่งของอะซีทิลเอสเทอร์

อะซีทิลเอสเทอร์พบได้ในจุลินทรีย์หลายชนิด เช่น แบคทีเรีย แอคติโนมัยซีท ยีสต์ รา จุลินทรีย์ส่วนใหญ่มีทั้งสร้างและปลดปล่อยเอนไซม์ออกมานอกเซลล์ (extracellular enzyme) แต่มีจุลินทรีย์บางสายพันธุ์ที่สร้างเอนไซม์เก็บไว้ภายในเซลล์ (intracellular enzyme) ตัวอย่างสายพันธุ์จุลินทรีย์ที่สามารถสร้างอะซีทิลเอสเทอร์ แสดงดังตารางที่ 2.3

ตารางที่ 2.3 ตัวอย่างสายพันธุ์ของจุลินทรีย์ที่สามารถสร้างอะซีทิลเอสเทอร์

สายพันธุ์จุลินทรีย์	เอกสารอ้างอิง
<i>Aspergillus aculeatus</i>	Leeuwen และคณะ, 1992
<i>A. awamori</i>	Koseki และคณะ, 2005
<i>A. carneus</i>	Biley และคณะ, 2004
<i>A. clavatus</i>	Linden และคณะ, 1994
<i>A. japonicus</i>	Linden และคณะ, 1994
<i>A. oryzae</i>	Altaner และคณะ, 2003
<i>A. nidulans</i>	Linden และคณะ, 1994
<i>A. niger</i>	Linden และคณะ, 1994
<i>A. versicolor</i>	Linden และคณะ, 1994
<i>Aureobasidium pullulans</i>	Biley และคณะ, 2004
<i>Bacillus pumilus</i>	Degrassi และคณะ, 2000
<i>Butyrivibrio fibrisolvens</i>	Hespell และ O'Bryan-Shah, 1988
<i>Caldocellum saccharolyticum</i>	Luthi และคณะ, 1990
<i>Candida guilliermondii</i>	Basaran และ Hang, 2000
<i>Clostridium cellulovorans</i>	Kosugi และคณะ, 2002
<i>Cryptococcus albidus</i>	Lee และคณะ, 1987
<i>C. laurentii</i>	Lee และคณะ, 1987
<i>C. luteolus</i>	Lee และคณะ, 1987
<i>Fibrobacter succinogenes</i>	Mcdermid และคณะ, 1990



ตารางที่ 2.3 (ต่อ) ตัวอย่างสายพันธุ์ของจุลินทรีย์ที่สามารถสร้างอะซีทิลเอสเทอร์

สายพันธุ์จุลินทรีย์	เอกสารอ้างอิง
<i>Fusarium oxysporum</i>	Christakopoulos และคณะ, 1999
<i>Melanocarpus albomyces</i> IIS 68	Saraswat และ Bisaria, 1997
<i>Neocallimastix patriciarum</i>	Dalrymple และคณะ, 1997
<i>Orpinomyces</i> sp.	Blum และคณะ, 1999
<i>Penicillium purpurogenum</i>	Chavez และคณะ, 2004
<i>Phanerochaete chrysosporium</i>	Biley และคณะ, 2004
<i>Pichia abadieae</i>	Lee และคณะ, 1987
<i>P. lindnerii</i>	Lee และคณะ, 1987
<i>Pseudomonas fluorescens</i>	Ferreir และคณะ, 1993
<i>Rhodospiridium toruloides</i>	Lee และคณะ, 1987
<i>Rhodotorula mucilaginos</i>	Lee และคณะ, 1987
<i>Schizophyllum commune</i>	Linden และคณะ, 1994
<i>Streptomyces flavogriseus</i>	Linden และคณะ, 1994
<i>S. lividans</i>	Altaner และคณะ, 2003
<i>S. olivochromogenes</i>	Linden และคณะ, 1994
<i>S. thermoviolaceus</i> OPC-520	Tsujibo และคณะ, 1997
<i>Termitomyces clypeatus</i>	Mukhopadhyay และคณะ, 1997
<i>Thermoanaerobacterium</i> sp.	Shao และ Wiegel, 1995
<i>Thermomonospora fusca</i>	Linden และคณะ, 1994
<i>Tricoderma reesei</i>	Linden และคณะ, 1994
<i>Trichosporon cutaneum</i>	Lee และคณะ, 1987
<i>T. pullulan</i>	Lee และคณะ, 1987

## 2.4 แหล่งคาร์บอนและแหล่งไนโตรเจนต่อการผลิตอะซีทิลเอสเทอร์

Biely และ คณะ (1988) ได้ศึกษาการเลี้ยง *Trichoderma reesei* และ *Schizophyllum commune* โดยใช้อาหารเลี้ยงเชื้อที่ประกอบด้วย แคลโคเฟนโตน 0.0735%  $(\text{NH}_4)_2\text{SO}_4$  0.666% ยูเรีย 0.15 %  $\text{CaCl}_2$  0.15 %  $\text{MgSO}_4$  0.15 % citric acid 0.584%  $\text{K}_2\text{HPO}_4$  0.771 % และมีการแปรแหล่งคาร์บอนดังนี้คือ 0.1 % ของ ดี-กลูโคส, ดี-ไซโลส, ดี-เซลโลไบโอส, larchwood xylan ,birchwood xylan และ เซลลูโลส ผลการทดลองพบว่าเมื่อใช้แหล่งคาร์บอนเชิงซ้อนสามารถชักนำการสร้างเอนไซม์ได้ดีจึงทำการแปรแหล่งคาร์บอนเพิ่มเติมโดยใช้ 0.9% larchwood xylan ร่วมกับ 0.1% เซลลูโลส (9:1) เป็นแหล่งคาร์บอนเปรียบเทียบกับเมื่อใช้ชนิดเดียวพบว่าแหล่งคาร์บอนผสม ส่งผลให้มีการสร้างเอนไซม์ที่ดีที่สุดใน *Trichoderma reesei* สายพันธุ์ QM 9414 และ RUT C-30 โดยแอกติวิตีของอะซีทิลเอสเทอร์สูงสุด 0.40 หน่วยต่อมิลลิลิตร เมื่อเลี้ยงเป็นเวลา 4 วัน และ 0.367 หน่วยต่อมิลลิลิตร เมื่อเวลา 5 วัน ตามลำดับ สำหรับ *Schizophyllum commune* พบว่ามีเอนไซม์แอกติวิตีสูงสุด คือ 0.35 หน่วยต่อมิลลิลิตรเมื่อใช้ 1% เซลลูโลสเป็นแหล่งคาร์บอนเมื่อเลี้ยงเป็นเวลา 11 วัน

Mcdermid และคณะ (1990) เลี้ยง *Fibrobacter succinogenes* subsp. *succinogenes* S85 โดยใช้ 0.6% แอมโมเนียมซัลเฟตเป็นแหล่งไนโตรเจน แปรแหล่งคาร์บอนดังนี้คือ 0.3% Avicel microcrystalline cellulose เลี้ยงเป็นเวลา 25 ชั่วโมงและ 0.5% กลูโคสเป็นแหล่งคาร์บอนเลี้ยงเป็นเวลา 8 ชั่วโมง พบแอกติวิตีของอะซีทิลเอสเทอร์ สูงสุดคือ 1.5 และ 4.4 หน่วยต่อมิลลิกรัมโปรตีน ตามลำดับ

Bachmann และMcCarthy (1991) เลี้ยง *Thermonospora fusca* โดยมี 0.2 % ไส้แฉนจากเปลือกข้าวโอ๊ต หรือ carboxymethylcellulose เป็นแหล่งคาร์บอนเพื่อผลิตอะซีทิลเอสเทอร์ โดยบ่มที่ 50 องศาเซลเซียส เป็นเวลา 72 ชั่วโมง พบว่าไส้แฉนจากเปลือกข้าวโอ๊ตให้แอกติวิตีของเอนไซม์สูงสุด คือ 0.006 หน่วยต่อมิลลิลิตร

Dupont และคณะ (1996) เลี้ยง *Streptomyces lividans* โดยมีไซโลสเป็นแหล่งคาร์บอน บ่มเชื้อที่อุณหภูมิ 34 องศาเซลเซียส พบการสร้างอะซีทิลเอสเทอร์สูงสุดเมื่อเลี้ยงเป็นเวลา 69 ชั่วโมง

Mukhopadhyay และคณะ (1997) แหล่งคาร์บอนชนิดต่าง ๆ ในการเลี้ยงเชื้อ *Termitomyces clypeatus* เมื่อใช้ความเข้มข้นของแหล่งคาร์บอน 1 % พบว่าส่งผลต่อการสร้าง เอนไซม์เรียงตามลำดับดังนี้ กลูโคส แป้ง ไซโลส อะราบิโนส อะราบิแนน อะราบิโนกาแลคแตน ไซแลนจากไม้เบิร์ช เซลลูโลส แอคติวิตี คือ 0.25, 0.22, 0.28, 0.86, 0.68, 1.14 และ 0.52 หน่วยต่อกกรัมไมซีเลียม และพบว่าเมื่อใช้ เซลลูโลสกับไซแลนเป็นแหล่งคาร์บอนร่วมกันโดยใช้ เซลลูโลส 0.5% และไซแลน 0.5% แอคติวิตีคือ 1.32 หน่วยต่อกกรัมไมซีเลียม แต่ถ้าใช้ไซแลน 1% กับ เซลลูโลส อะซีเทต 0.1% จะให้แอคติวิตีสูงสุดคือ 1.64 หน่วยต่อกกรัมไมซีเลียม

Saraswat และ Bisaria (1997) เลี้ยง *Melanocarpus albomyces* IIS 68 ในอาหารที่ประกอบด้วย 0.05% ยูเรีย, 0.06%  $\text{KH}_2\text{PO}_4$ , 0.04%  $\text{K}_2\text{HPO}_4$ , 0.05%  $\text{MgSO}_4 \cdot 7\text{H}_2\text{O}$  และ 1.0 % สารสกัดจากยีสต์ ค่าความเป็นกรดต่างเริ่มต้นของอาหารคือ 6.0 บ่มเชื้อที่อุณหภูมิ 45 องศาเซลเซียส เลี้ยงเป็นเวลา 125 ชั่วโมง โดยแปรชนิดของแหล่งคาร์บอน พบว่าเมื่อใช้น้ำตาล โมเลกุลเดี่ยวเป็นแหล่งคาร์บอน เช่น อะราบิโนส กลูโคส ไซลิทอล และไซโลส ความเข้มข้น 0.2% ได้แอคติวิตี 2.9, 2.68, 2.02, และ 3.61 หน่วยต่อกกรัมไมซีเลียมตามลำดับ และเมื่อใช้พอลิแซคคาไรด์ คือ ไซแลนจากไม้บีช, ไซแลนจากไม้เบิร์ช, ไซแลนจากไม้ลาค, ไซแลนจากเปลือกข้าวโอ๊ต, Avicel cellulose, Carboxymethyl cellulose และ Solka Floc ได้แอคติวิตี ดังนี้ 4.34, 3.5, 4.93, 5.27, 2.84, 2.08 และ 2.00 หน่วยต่อกกรัมไมซีเลียมตามลำดับ แหล่งคาร์บอนที่เป็นวัสดุเหลือทิ้งทางการเกษตร กากอ้อย ชังข้าวโพด เปลือกถั่ว และ ฟางข้าวสาลี ได้แอคติวิตี ดังนี้ 5.20, 10.25, 4.0 และ 12.9 หน่วยต่อกกรัมไมซีเลียมตามลำดับ ซึ่งพบว่าฟางข้าวสาลีให้แอคติวิตีสูงที่สุด

Degrassi และคณะ (1998) ศึกษา *Bacillus pumilus* โดยเลี้ยงในอาหาร ที่มี 0.5 % เปลือกข้าวโพด หรือไซแลนจากเปลือกข้าวโอ๊ต พบเอนไซม์แอคติวิตีของอะซีทิลเอสเทอร์สูง ในช่วง 40-72 ชั่วโมง โดยเมื่อเลี้ยงในไซแลนจากเปลือกข้าวโอ๊ตให้แอคติวิตี 0.05 หน่วยต่อมิลลิลิตร และเมื่อเลี้ยงใน ชังข้าวโพดให้แอคติวิตี 0.1 หน่วยต่อมิลลิลิตร

Christakopoulos และคณะ (1999) ศึกษาการผลิตอะซีทิลเอสเทอร์จาก *Fusarium oxysporum* โดยเลี้ยงในอาหารที่ประกอบด้วย  $\text{NaH}_2\text{PO}_4$  10.0,  $\text{KH}_2\text{PO}_4$  1.0,  $\text{CaCl}_2$  0.3  $\text{MgSO}_4 \cdot 7\text{H}_2\text{O}$  0.3 กรัมต่อลิตร มี 1 % แอมโมเนียมฟอสเฟตเป็นแหล่งไนโตรเจน ใช้ กลูโคส 0.02% หรือ 0.1 % ชังข้าวโพด, ฟางข้าวสาลี, ผิวมะเขือเทศ และ รำข้าวสาลี เป็นแหล่งคาร์บอน บ่มที่ 30 องศาเซลเซียสเป็นเวลา 24 ชั่วโมง พบว่า ชังข้าวโพด สามารถชักนำการสร้างอะซีทิลเอสเทอร์ ได้ดีกว่าฟางข้าวสาลี ผิวมะเขือเทศ และ รำข้าวสาลี โดยมีแอคติวิตี เรียงตามลำดับ

ดังนี้คือ 0.71, 0.39, 0.38 และ 0.06 หน่วยต่อมิลลิลิตร และพบว่าความเข้มข้นของซังข้าวโพดที่เหมาะสมคือ 3% และระยะเวลาเลี้ยงเชื้อที่ให้แอกติวิตีสูงสุด คือ 4 วัน

Basaran และ Hang (2000) พบว่าเมื่อเลี้ยง *Candida guilliermondii* ในอาหารเลี้ยงเชื้อที่ประกอบด้วย 0.67% สารสกัดจากยีสต์ และแปรแหล่งคาร์บอนคือไซแลนจากเปลือกข้าวโอ๊ต ไซแลนจากไม้เบิร์ช หรือ ซังข้าวโพด ความเข้มข้น 1% บ่มที่อุณหภูมิ 30 องศาเซลเซียส พบว่า ซังข้าวโพดให้แอกติวิตีของอะซีทิลเอสเทอร์สูงสุดคือ 0.85 หน่วยต่อมิลลิกรัมโปรตีน เมื่อเลี้ยงเป็นเวลา 60 ชั่วโมง

Chave และคณะ (2004) พบว่า *Penicillium purpurogenum* สร้างอะซีทิลเอสเทอร์ได้ดี เมื่อมี 0.1% ไซแลนจากเปลือกข้าวโอ๊ตเป็นแหล่งคาร์บอน และเมื่อใช้ไม้เบิร์ชเป็นแหล่งคาร์บอนกลับสร้างเอนไซม์ได้ปริมาณน้อย และแทบจะไม่พบแอกติวิตีเลยเมื่อใช้ กลูโคส ไซโลส หรือ ไซลิทอลเป็นแหล่งคาร์บอน เมื่อเลี้ยงเป็นเวลา 4 วัน ซึ่ง ตรวจสอบแอกติวิตีโดยวิธี western blot และพบว่า ค่าความเป็นกรดต่างของอาหารเลี้ยงมีผลต่อการแสดงออกของยีนโดยพบว่า เอนไซม์ถูกชักนำให้เกิดการสร้างในอาหารที่มีค่าความเป็นกรดต่างเริ่มต้นเป็นกลาง

Koseki และคณะ (2005) รายงานการเลี้ยง *Pichia pastoris* ที่ได้รับยีนในการสร้างอะซีทิลเอสเทอร์จาก *Aspergillus awamori* ในอาหาร BMGY ซึ่งประกอบด้วย สารสกัดจากยีสต์ 1% เพพโทน 2% กลีเซอรอล 1% (v/v) ไบโอดีน 0.00004 %  $(\text{NH}_4)_2\text{SO}_4$  1.34 % และ เมธานอล 0.5% (v/v) พบว่าให้แอกติวิตีประมาณ 2.9 หน่วยต่อมิลลิลิตร เมื่อเลี้ยงเป็นเวลา 4 วัน

## 2.5 สมบัติของอะซีทิลเอสเทอร์

### 2.5.1 คุณภูมิและความเป็นกรดต่างที่เหมาะสมต่อการทำงานของอะซีทิลเอสเทอร์

อะซีทิลเอสเทอร์จากจุลินทรีย์ต่างๆ มีสมบัติในแง่ของคุณภูมิและความเป็นกรดต่างที่เหมาะสมต่อการทำงานแตกต่างกัน ดังแสดงในตารางที่ 2.4

ตารางที่ 2.4 คุณภูมิและความเป็นกรดต่างที่เหมาะสมต่อการทำงานของอะซีทิลเอสเทอร์จากจุลินทรีย์ต่างๆ

สายพันธุ์จุลินทรีย์	คุณภูมิที่เหมาะสม (°ซ)	ความเป็นกรดต่างที่เหมาะสม	เอกสารอ้างอิง
<i>Aspergillus aculeatus</i>	40	5.5	Leeuwen และคณะ, 1992
<i>A.awamori</i>	37	6.0-7.0	Koseki และคณะ, 2005
<i>A.clavatus</i>	37	6.5	Linden และคณะ, 1994
<i>A. japonicus</i>	37	6.5	Linden และคณะ, 1994
<i>A. nidulans</i>	37	6.5	Linden และคณะ, 1994
<i>A. niger</i>	37	6.5	Linden และคณะ, 1994
<i>A. versicolor</i>	37	6.5	Linden และคณะ, 1994
<i>Bacillus pumilus</i>	45	8.5	Degrassi และคณะ, 1998
<i>Candida Guilliermondii</i>	60	7.5	Basaran และ Hang, 2000
<i>Caldocellum saccharolyticum</i>	70	6.0	Luthi และคณะ, 1990
<i>Clostridium cellulovorans</i>	50	6.0	Kosugi และคณะ, 2002
<i>Fusarium oxysporum</i>	55	6.5	Christakopoulos และคณะ, 1999
<i>Orpinomyces sp.</i>	30	9.0	Blum และคณะ, 1999
<i>Schizophyllum commune</i>	30	6.5	Linden และคณะ, 1994
<i>Streptomyces flavogriseus</i>	50	6.0	Linden และคณะ, 1994
<i>S. lividans</i>	70	5.5-8.5	Dupont และคณะ, 1996

ตารางที่ 2.4 (ต่อ) คุณภูมิและความเป็นกรดต่างที่เหมาะสมต่อการทำงานของอะซีทิลเอสเทอเรส จากจุลินทรีย์ต่างๆ

สายพันธุ์จุลินทรีย์	คุณภูมิ ที่ เหมาะสม (°C)	ความเป็น กรดต่างที่ เหมาะสม	เอกสารอ้างอิง
<i>S. olivochromigenes</i>	50	6.0	Linden และคณะ, 1994
<i>Termitomyces clypeatus</i>	50	6.5	Mukhopadhyay และคณะ, 1997
<i>Thermoanaerobacterium sp.</i>	84	7.5	Shao และ Wiegel, 1995
<i>Trichoderma reesei</i>	30	6.5	Linden และคณะ, 1994

สถาบันวิทยบริการ  
จุฬาลงกรณ์มหาวิทยาลัย

## 2.5.2 ความเสถียรต่ออุณหภูมิและค่าความเป็นกรดต่างของอะซีทิลเอสเทอร์

อะซีทิลเอสเทอร์จากจุลินทรีย์ต่างๆ มีความเสถียรต่ออุณหภูมิและค่าความเป็นกรดต่างแตกต่างกันออกไป แสดงดังตารางที่ 2.5

ตารางที่ 2.5 ความเสถียรต่ออุณหภูมิและค่าความเป็นกรดต่างของอะซีทิลเอสเทอร์จากจุลินทรีย์ต่างๆ

สายพันธุ์จุลินทรีย์	ความเสถียรต่ออุณหภูมิ (°C)	ความเสถียรต่อความเป็นกรดต่าง	เอกสารอ้างอิง
<i>Aspergillus aculeatus</i>	50, 20 ชั่วโมง	6.0-7.0	Leeuwen และคณะ, 1992
<i>A. awamori</i>	50, 1 ชั่วโมง	7.0-9.0	Koseki และคณะ 2005
<i>Bacillus pumilus</i>	50, 1 ชั่วโมง	8.0-9.0	Degrassi และคณะ, 1998
<i>Candida guilliermondii</i>	20-60, 12 ชั่วโมง	5.8-8.0	Basaran และ Hang, 2000
<i>Clostridium cellulovorans</i>	30, 12 ชั่วโมง	3.0-7.0	Kosugi และคณะ, 2002
<i>Termitomyces clypeatus</i>	50, 1 ชั่วโมง	4.5-8.0	Mukhopadhyay และคณะ, 1997
<i>Thermoanaerobacterium</i> sp.	50-60, 1 ชั่วโมง	8.0-9.0	Shao และ Wiegel, 1995
<i>Shizophyllum commune</i>	37, 30 นาที	4.5-9.0	Halgasova และคณะ, 1994
<i>Streptomyces lividans</i>	72, 15 นาที	-	Dupont และคณะ, 1996

จากรายงานข้างต้น พบว่ามีการศึกษาอะซีทิลเอสเทอร์จากจุลินทรีย์ชนิดต่างๆ เนื่องจาก อะซีทิลเอสเทอร์เป็นเอนไซม์ที่ย่อยสลายหมู่ข้างเคียงของสายไซแลน เชื้อส่วนใหญ่ผลิตได้ในปริมาณน้อย เมื่อเทียบกับเอนไซม์ย่อยสลายสายหลัก ดังนั้นงานวิจัยนี้สนใจศึกษาการผลิตอะซีทิลเอสเทอร์จาก *Streptomyces* sp. PC22 เนื่องจากสามารถเจริญได้ดีที่ภาวะเป็นด่าง และอุณหภูมิสูง ซึ่งเป็นสมบัติที่เหมาะสมในการเลี้ยงระดับอุตสาหกรรม และจากการศึกษาของ สุมาลี อึ้งใจธรรม (2539) พบว่าเชื้อสามารถสร้างเอนไซม์ไซแลนเนสได้สูง ทั้งยังมีความเสถียรต่อความเป็นกรดต่างและอุณหภูมิในช่วงกว้าง ดังนั้นอะซีทิลเอสเทอร์ที่ผลิตได้น่าจะมีสมบัติใกล้เคียงกัน ซึ่งข้อมูลที่ได้สามารถนำไปใช้ให้เกิดประโยชน์ในการศึกษาขั้นต่อไป



สถาบันวิทยบริการ  
จุฬาลงกรณ์มหาวิทยาลัย



## บทที่ 3

### อุปกรณ์ เคมีภัณฑ์ และวิธีทดลอง

#### 3.1 เครื่องมือที่ใช้ในการทดลอง

1. เครื่องเขย่าควบคุมอุณหภูมิ ( Incubator shaker ) ของ Amerex Instruments Inc. บริษัท กิปไทยจำกัด.
2. เครื่องปั่นเหวี่ยงปรับความเย็น (Refrigerator centrifuge) รุ่น Kubota 1920 บริษัท แวง เทรดดิง 1992 จำกัด.
3. เครื่องปั่นเหวี่ยงขนาดเล็ก (Microcentrifuge) รุ่น KM-15200 ของ Kubota, Japan.
4. เครื่องวัดความเป็นกรดต่าง ( Digital pH meter) รุ่น Cyberscan 2000 ของ Eutech Cybernetics, Singapore.
5. เครื่องวัดการดูดกลืนแสง (Spectrophotometer) รุ่น Perkin Elmer instruments Lamda 25 UV/VIS Spectrometer บริษัทเพอร์กิน แอลเมอร์จำกัด
6. เครื่องชั่ง รุ่น PG2002-S และ รุ่น AG285 บริษัท Mettler Toledo, สวิสเซอร์แลนด์
7. เครื่องกวนแม่เหล็ก (Magnetic stirrer) รุ่น 502P-2 บริษัท PMC, U.S.A
8. เครื่องนึ่งอบฆ่าเชื้อ (Autoclave) รุ่น SS-325 บริษัท Tomy Seico Co, Ltd., ญี่ปุ่น, รุ่น MLS-3020 บริษัท Sanyo Electrics, ญี่ปุ่น
9. ฮีมาไซโทมิเตอร์ (Haemocytometer) Schott Duran, เยอรมนี
10. กล้องจุลทรรศน์ รุ่น CH30RF200 บริษัท Olympus, ญี่ปุ่น
11. ตู้เขี่ยเชื้อแบบ Laminar flow รุ่น HS-124 บริษัท ISSCO, สหรัฐอเมริกา
12. เครื่องผสมสาร (Mixer) รุ่น vortex-genies 2 G560E บริษัท Scientific Industries Inc., สหรัฐอเมริกา
13. อ่างน้ำควบคุมอุณหภูมิ (Water bath) รุ่น Tempet บริษัท T-80 Tokyo Rikakikai, ญี่ปุ่น และ รุ่น W 760 บริษัท Memmert, เยอรมนี
14. เครื่องปั่นเหวี่ยงชนิดทำความเย็น (Refrigerator centrifuge) รุ่น Avanti Centrifuge J-30I บริษัท Beckman, Germany
15. ไมโครปิเปตต์ (Micropipette) ขนาด 100, 1000 และ 5000 ไมโครลิตร ของบริษัท Gilson, ฝรั่งเศส

### 3.2 เคมีภัณฑ์ที่ใช้ในการทดลอง

1. พารา-ไนโตรเฟนิล อะซีเตต (*p*-nitrophenyl acetate) ของ Sigma, สหรัฐอเมริกา
2. พารา-ไนโตรฟินอล (*p*-nitrophenol) ของ Sigma, สหรัฐอเมริกา
3. อะลูมินา (Alumina) ของ Sigma, สหรัฐอเมริกา
4. ไซแลนจากไม้เบิร์ช (Birchwood Xylan) ของ Sigma, สหรัฐอเมริกา
5. ไซแลนจากเปลือกข้าวโอ๊ต (Oat spelt xylan) ของ Sigma, สหรัฐอเมริกา
6. ไซแลนจากไม้บีช (Beechwood Xylan) ของ Sigma, สหรัฐอเมริกา
7. แอมโมเนียมซัลเฟต (Ammonium sulfate) ของ BDH, อังกฤษ
8. ไดโทแทสเซียมไฮโดรเจนฟอสเฟต ( $K_2HPO_4$ ) บริษัท Merck, เยอรมนี
9. โพแทสเซียมคลอไรด์ (KCl) บริษัท Carlo Erba Regenti, อิตาลี
10. แมกนีเซียมซัลเฟต ( $MgSO_4 \cdot 7H_2O$ ) บริษัท Carlo Erba Regenti, อิตาลี
11. เฟอรัสซัลเฟต ( $FeSO_4 \cdot 7H_2O$ ) บริษัท Unilab, สหรัฐอเมริกา
12. ทวิน 80 (Tween 80) บริษัท Fluka, เยอรมันนี
13. โซเดียมไฮดรอกไซด์ (NaOH) บริษัท Merck, เยอรมนี
14. กรดเกลือ (HCl) บริษัท J.T. Baker, สหรัฐอเมริกา
15. สารสกัดจากยีสต์ (yeast extract) บริษัท Difco Laboratories, สหรัฐอเมริกา
16. สารสกัดจากเนื้อ (beef extract) บริษัท Difco Laboratories, สหรัฐอเมริกา
17. ทริปโตน (Tryptone) บริษัท Difco Laboratories, สหรัฐอเมริกา
18. พอลิเพปไทน์ บริษัท Difco Laboratories, สหรัฐอเมริกา
19. แอมโมเนียมซัลเฟต ( $(NH_4)_2SO_4$ ) บริษัท Unilab, สหรัฐอเมริกา
20. แอมโมเนียมไนเตรต ( $NH_4NO_3$ ) บริษัท Fluka, เยอรมนี
21. แอมโมเนียมโมโนไฮโดรเจนฟอสเฟต ( $(NH_4)_2HPO_4$ ) บริษัท Fluka, เยอรมนี
22. โพแทสเซียมไนเตรต ( $KNO_3$ ) บริษัท May & Baker, อังกฤษ
23. โซเดียมคาร์บอเนต ( $Na_2CO_3$ ) บริษัท Merck, เยอรมนี
24. กลูโคสโมโนไฮเดรต ( $C_6H_{12}O_6 \cdot H_2O$ ) บริษัท Merck, เยอรมนี
25. แอมโมเนียมคลอไรด์ ( $NH_4Cl$ ) บริษัท Merck, เยอรมนี
26. คอปเปอร์ซัลเฟต ( $CuSO_4 \cdot 5H_2O$ ) บริษัท Merck, เยอรมนี
27. น้ำกลั่น (distilled water)

### 3.3 วิธีดำเนินงานวิจัย

#### 3.3.1 การเลี้ยง *Streptomyces* sp. PC22 และการเตรียมอะซีทิลเอสเทอร์

##### 3.3.1.1 การเตรียมสปอร์

ปลูกเชื้อ *Streptomyces* sp. PC22 ในอาหารแข็งชนิดเยิงข้าวไรท์ (ภาคผนวก ก หมายเลข 2) บ่มที่อุณหภูมิ 45 องศาเซลเซียสเป็นเวลา 7 วันจนสายใยเจริญเต็มที่ แล้วนำมาไว้ที่อุณหภูมิห้องเป็นเวลา 10-15 วันเพื่อให้เกิดการสร้างสปอร์จำนวนมาก นำมาชุดสปอร์โดยเทคนิคปลอดเชื้อ โดยใช้น้ำกลั่นปลอดเชื้อเป็นตัวแขวนลอยชุดสปอร์แขวนลอยที่ได้ มากรองผ่านชุดกรองสปอร์ (ภาคผนวก ค หมายเลข 1) นำสปอร์แขวนลอยที่กรองได้มาปั่นเหวี่ยงที่ความเร็ว 3000 รอบต่อนาที นาน 10 นาที จึงเทส่วนน้ำใสทิ้ง ล้างสปอร์ด้วยน้ำ 2 ครั้ง จากนั้นแขวนลอยใน 30 เปอร์เซ็นต์ กลีเซอรอลที่ผ่านการนึ่งฆ่าเชื้อแล้ว 2 ครั้ง โดยเจือจางให้ได้ความเข้มข้นของสปอร์เท่ากับ  $2 \times 10^8$  สปอร์ต่อมิลลิลิตร แบ่งเก็บเป็นปริมาตรน้อยๆ (aliquots) ที่อุณหภูมิ -20 องศาเซลเซียส จนกว่าจะนำมาใช้

##### 3.3.1.2 การเตรียมหัวเชื้อ

เลี้ยง *Streptomyces* sp. PC22 โดยถ่ายสปอร์ที่ความหนาแน่น  $2 \times 10^8$  สปอร์ต่อมิลลิลิตร ปริมาณ 100 ไมโครลิตร ลงในอาหาร Tryptic Soy Broth (TSB) pH 9.0 ปริมาตร 30 มิลลิลิตร ในขวดแก้วทรงกรวย (Erlenmeyer flask) ขนาด 250 มิลลิลิตร ที่บรรจุขวดลวดสปริงอยู่ภายใน บ่มเชื้อบนเครื่องเขย่าควบคุมอุณหภูมิความเร็ว 200 รอบต่อนาที ที่ 45 องศาเซลเซียส เป็นเวลา 24 ชั่วโมง

### 3.3.1.3 การเลี้ยงเพื่อตรวจสอบแหล่งสะสมอะซีทิลเอสเทอร์

ถ่ายหัวเชื้อ *Streptomyces* sp. PC22 จากข้อ 3.3.1.2 ความเข้มข้น 5 เปอร์เซ็นต์ (ปริมาตรต่อปริมาตร) ในอาหารเลี้ยงเชื้อไซแลนคอมเพล็กซ์ (Xylan complex medium ภาคผนวก ก หมายเลข 2) pH 9.0 ที่มีไซแลนจากเปลือกข้าวโอ๊ต (Oat spelt xylan) ความเข้มข้น 0.5 เปอร์เซ็นต์ (น้ำหนักต่อปริมาตร) เป็นแหล่งคาร์บอน (ภาคผนวก ก หมายเลข 3) ปริมาตร 60 มิลลิลิตร ในขวดแก้วทรงกรวยขนาด 250 มิลลิลิตร ซึ่งมีขวดดัดสปริงอยู่ใน บ่มเชื้อบนเครื่องเขย่าควบคุมอุณหภูมิความเร็ว 200 รอบต่อนาที ที่ 45 องศาเซลเซียส เป็นเวลา 3 วัน นำส่วนน้ำเลี้ยงเชื้อที่ได้มาปั่นเหวี่ยงในเครื่องปั่นเหวี่ยงควบคุมอุณหภูมิด้วยความเร็ว 10,000 รอบต่อนาที เป็นเวลา 15 นาที ที่อุณหภูมิ นำส่วนน้ำใสที่ได้ซึ่งเรียกว่า crude enzyme มาวิเคราะห์แอกติวิตีของอะซีทิลเอสเทอร์ จากนั้นล้างเซลล์ด้วยน้ำกลั่นจำนวน 3 รอบ โดยนำเซลล์ที่ได้มาทำให้แตกโดยบดรวมกับผงอะลูมินาในโกร่ง ด้วยอัตราส่วนน้ำหนักเซลล์เปียกต่ออะลูมินาเท่ากับ 1 ต่อ 1 จากนั้นเติม 0.5 โมลาร์ โซเดียมฟอสเฟตบัฟเฟอร์ pH 6.0 เพื่อเป็นตัวทำละลาย นำส่วนผสมที่ได้ไปปั่นเหวี่ยงในเครื่องปั่นเหวี่ยงควบคุมอุณหภูมิด้วยความเร็ว 10,000 รอบต่อนาที อุณหภูมิ 4 องศาเซลเซียส เป็นเวลา 5 นาที นำส่วนใสที่ได้ไปวิเคราะห์แอกติวิตีของ อะซีทิลเอสเทอร์

### 3.3.2 การวิเคราะห์แอกติวิตีของอะซีทิลเอสเทอร์

การวิเคราะห์แอกติวิตีของอะซีทิลเอสเทอร์เป็นวิธีที่ดัดแปลงมาจาก Kormelink และคณะ (1993) โดยสารละลายในปฏิกิริยาประกอบด้วย 0.1 มิลลิลิตร 10 มิลลิโมลาร์ พารา-ไนโตรเฟนิล อะซีเตต (*p*-nitrophenyl acetate) ที่ละลายอยู่ในเมทานอลในน้ำความเข้มข้น 50 เปอร์เซ็นต์ (ปริมาตรต่อปริมาตร) 0.3 มิลลิลิตร 0.5 โมลาร์ โซเดียมฟอสเฟต บัฟเฟอร์ pH 6.0 0.1 มิลลิลิตร และสารละลายอะซีทิลเอสเทอร์ ความเข้มข้นที่เหมาะสมปริมาตร 0.5 มิลลิลิตร นำส่วนผสมนี้ไปบ่มที่อุณหภูมิ 40 องศาเซลเซียสเป็นเวลา 15 นาที แล้วหยุดปฏิกิริยาด้วยการแช่ในอ่างน้ำแข็งเป็นเวลา 10 นาที นำไปวัดค่าการดูดกลืนแสงที่ความยาวคลื่น 405 นาโนเมตร

กราฟมาตรฐานใช้ พารา-ไนโตรฟินอล (*p*- nitrophenol) ความเข้มข้นในช่วง 0-10 ไมโครกรัมต่อมิลลิลิตร

1 หน่วยของอะซีทิลเอสเทอร์ เท้ากับ ปริมาณเอนไซม์ที่ย่อยสลาย พารา-ไนโตรเฟนิล อะซีเตต แล้วให้ พารา-ไนโตรฟินอล ปริมาณ 1 ไมโครโมล ในเวลา 1 นาที ภายใต้สภาวะข้างต้น

### 3.3.3 การหารูปแบบการเจริญ ของ *Streptomyces* sp. PC22

ถ่าย 100 ไมโครลิตรของสปอร์ *Streptomyces* sp. PC22 ที่ความหนาแน่น  $2 \times 10^8$  สปอร์ต่อมิลลิลิตรลงในอาหารเลี้ยงเชื้อ TSB pH 9.0 ปริมาตร 30 มิลลิลิตร ในขวดแก้วทรงกรวย ขนาด 250 มิลลิลิตร ซึ่งมีขดลวดสปริงอยู่ภายใน เลี้ยงบนเครื่องเขย่าที่ความเร็ว 200 รอบต่อนาที ที่ 45 องศาเซลเซียส ติดตามการเจริญโดยวัดค่าความขุ่นที่ความยาวคลื่น 600 นาโนเมตร

### 3.3.4 การหาอายุหัวเชื้อที่เหมาะสมต่อการสร้างอะซีทิลเอสเทอร์

ถ่ายสปอร์แขวนลอยที่ ความหนาแน่น  $2 \times 10^8$  สปอร์ต่อมิลลิลิตร 100 ไมโครลิตร ลงใน TSB ปริมาตร 30 มิลลิลิตร ในขวดแก้วทรงกรวยขนาด 250 มิลลิลิตร ซึ่งมีขดลวดสปริงอยู่ภายใน เลี้ยงบนเครื่องเขย่าความเร็ว 200 รอบต่อนาที ที่อุณหภูมิ 45 องศาเซลเซียส ติดตามการเจริญ โดยวัดค่าความขุ่นที่ความยาวคลื่น 600 นาโนเมตร จากนั้นถ่าย 5 เปอร์เซ็นต์ หัวเชื้อ (ปริมาตรต่อปริมาตร) ที่ระยะ mid log phase (ค่าดูดกลืนแสง 1.2) และ ระยะ late log phase (ค่าดูดกลืนแสง 1.6) ลงใน 30 มิลลิลิตร อาหารเลี้ยงเชื้อไซแลนคอมเพล็กซ์ pH 9.0 ที่มีไซแลนจากเปลือกข้าวโอ๊ต 0.5 เปอร์เซ็นต์ เป็นแหล่งคาร์บอน เลี้ยงบนเครื่องเขย่าควบคุมอุณหภูมิความเร็ว 200 รอบต่อนาที ที่ 45 องศาเซลเซียส เป็นเวลา 1 ถึง 5 วัน วิเคราะห์ แอคติวิตีของอะซีทิลเอสเทอร์

### 3.3.5 ความเข้มข้นของหัวเชื้อต่อการผลิตอะซีทิลเอสเทอร์

เตรียมหัวเชื้อเช่นเดียวกับข้อ 3.3.4 โดยเลือกที่ mid log หรือให้ค่าดูดกลืนแสง 1.2 จากนั้นแปรความเข้มข้นของหัวเชื้อ 5 และ 10 เปอร์เซ็นต์ตามลำดับ ในอาหารเลี้ยงเชื้อ ไซแลนคอมเพล็กซ์ ที่มีไซแลนจากเปลือกข้าวโอ๊ต 0.5 เปอร์เซ็นต์ เป็นแหล่งคาร์บอน เลี้ยงบนเครื่องเขย่าควบคุมอุณหภูมิความเร็ว 200 รอบต่อนาที ที่ 45 องศาเซลเซียส เป็นเวลา 1 ถึง 5 วัน วิเคราะห์แอกติวิตีของอะซีทิลเอสเทอร์

### 3.3.6 ผลของชนิดและปริมาณของไซแลนต่อการผลิตอะซีทิลเอสเทอร์

### 3.3.6.1 ชนิดไซแลน

เตรียมหัวเชื้อ ตามวิธีในข้อ 3.3.5 แล้วถ่ายหัวเชื้อ 10 เปอร์เซ็นต์ (ปริมาตรต่อปริมาตร) ลงใน 30 มิลลิลิตร อาหารไซแลนคอมเพล็กซ์ โดยแปรชนิดของไซแลนซึ่งเป็นแหล่งคาร์บอนดังนี้ คือ ไซแลนจากเปลือกข้าวโอ๊ต (Oat spelt xylan) ไซแลนจากไม้เบิร์ช (Birchwood xylan) และไซแลนจากไม้บีช (Beechwood xylan) ที่ความเข้มข้น 0.5 เปอร์เซ็นต์ (น้ำหนักต่อปริมาตร) เลี้ยงบนเครื่องเขย่าควบคุมอุณหภูมิที่ความเร็ว 200 รอบต่อนาที ที่ 45 องศาเซลเซียส เป็นเวลา 1 ถึง 5 วัน เก็บตัวอย่างนำมาปั่นเหวี่ยง ด้วยเครื่องปั่นเหวี่ยงชนิดควบคุมอุณหภูมิด้วยความเร็ว 10,000 รอบต่อนาที อุณหภูมิ 4 องศาเซลเซียส เป็นเวลา 10 นาที นำส่วนใสไปวิเคราะห์แอสติวิตีของอะซีทิลเอสเทอร์

### 3.3.6.2 การหาความเข้มข้นของไซแลนจากไม้เบิร์ชที่เหมาะสมต่อการสร้างอะซีทิลเอสเทอร์

ทำการทดลองเช่นเดียวกับข้อ 3.3.6.1 โดยใช้ไซแลนจากไม้เบิร์ชเป็นแหล่งคาร์บอน และแปรความเข้มข้น 0.5 1 1.5 และ 2 เปอร์เซ็นต์ (น้ำหนักต่อปริมาตร) ตามลำดับ บ่มเชื้อบนเครื่องเขย่าควบคุมอุณหภูมิที่ความเร็ว 200 รอบต่อนาที ที่ 45 องศาเซลเซียส ติดตามเก็บตัวอย่างเป็นเวลา 1 ถึง 5 วัน นำตัวอย่างมาปั่นเหวี่ยงด้วยเครื่องปั่นเหวี่ยงชนิดควบคุมอุณหภูมิด้วยความเร็ว 10,000 รอบต่อนาที อุณหภูมิ 4 องศาเซลเซียส เป็นเวลา 10 นาที นำส่วนใสไปวิเคราะห์แอสติวิตีของอะซีทิลเอสเทอร์

### 3.3.7 ผลของวัสดุทางการเกษตรชนิดต่างๆ ต่อการสร้างอะซีทิลเอสเทอร์เอส

#### 3.3.7.1 ชนิดของวัสดุทางการเกษตรที่เหมาะสมต่อการเป็นแหล่งคาร์บอน

วัสดุทางการเกษตรที่ใช้แทนไซแลนจากไม้เบิร์ชในอาหารเลี้ยงเชื้อไซแลนคอมเพล็กซ์ มีดังนี้ ฟางข้าว (rice straw), ชังข้าวโพด (corn cob), เปลือกข้าวโพด (corn hulls), กากเมล็ดฝ้าย (cotton seed hulls), ฝุ่นเลื่อย (saw dust), รำข้าวเจ้า (rice bran) และรำข้าวสาลี (wheat bran) โดยมีวิธีการเตรียมดังนี้ ฟางข้าว ชังข้าวโพด เปลือกข้าวโพด รำข้าวเจ้า รำข้าวสาลี และฝุ่นเลื่อย อบแห้งที่อุณหภูมิ 60 องศาเซลเซียส นำวัสดุต่างๆ ยกเว้นรำข้าวไปบดให้ละเอียด สำหรับกากเมล็ดฝ้ายนำมากำจัดลิกนินโดยแช่ในสารละลายโซเดียมไฮดรอกไซด์ 1 เปอร์เซ็นต์ ที่ความเข้มข้นของกากเมล็ดฝ้าย 10 เปอร์เซ็นต์ (น้ำหนักต่อปริมาตร) เป็นเวลา 1 ชั่วโมง ที่อุณหภูมิห้อง (Detroy และคณะ, 1981) จากนั้นกรองและล้างด้วยน้ำกลั่นจนมีค่าความเป็นกรดต่างเท่ากับ 7.0 แล้วจึงนำไปอบแห้งบดให้ละเอียด ก่อนใช้วัสดุทางการเกษตรทุกชนิดนำไปร่อนด้วยตะแกรงขนาด 60 เมช

ถ่ายสปอร์ *Streptomyces* sp. PC22 ความหนาแน่น  $2 \times 10^8$  สปอร์ต่อมิลลิลิตร 100 ไมโครลิตร ลงในอาหาร TSB pH 9.0 ปริมาตร 30 มิลลิลิตร ในขวดแก้วทรงกรวย (Erlenmeyer flask) ขนาด 250 มิลลิลิตร ที่บรรจุตลอดสปริงอยู่ภายใน บ่มเชื้อบนเครื่องเขย่าควบคุมอุณหภูมิความเร็ว 200 รอบต่อนาที ที่ 45 องศาเซลเซียส วัดค่าความขุ่นที่ความยาวคลื่น 600 นาโนเมตร นำเชื้อที่ระยะ mid log phase (ค่าดูดกลืนแสง 1.2) มาเป็นหัวเชื้อโดยใช้ที่ความเข้มข้น 10 เปอร์เซ็นต์ (ปริมาตรต่อปริมาตร) ในอาหารไซแลนคอมเพล็กซ์ pH 9.0 ปริมาตร 30 มิลลิลิตร โดยใช้แหล่งคาร์บอนจากวัสดุทางการเกษตรชนิดต่างๆ เปรียบเทียบกับไซแลนจากไม้เบิร์ชที่ความเข้มข้น 1 เปอร์เซ็นต์ (น้ำหนักต่อปริมาตร) เลี้ยงเชื้อบนเครื่องเขย่าควบคุมอุณหภูมิความเร็ว 200 รอบต่อนาที ที่ 45 องศาเซลเซียส เป็นเวลา 3 วัน เก็บตัวอย่างนำมาปั่นเหวี่ยงด้วยเครื่องปั่นเหวี่ยงชนิดควบคุมอุณหภูมิด้วยความเร็ว 10,000 รอบต่อนาที อุณหภูมิ 4 องศาเซลเซียสเป็นเวลา 10 นาที นำส่วนใสไปวิเคราะห์แอกติวิตีของอะซีทิลเอสเทอร์เอส

### 3.3.7.2 ความเข้มข้นของวัสดุทางการเกษตรที่เหมาะสมต่อการสร้างอะซีทิลเอสเทอร์

ทำการทดลองเช่นเดียวกับข้อ 3.3.7.1 โดยใช้เปลือกข้าวโพดเป็นแหล่งคาร์บอน และแปรความเข้มข้นที่ 0.5 1 1.5 2 2.5 และ 3 เปอร์เซ็นต์ (น้ำหนักต่อปริมาตร) ตามลำดับ บ่มเชื้อบนเครื่องเขย่าควบคุมอุณหภูมิความเร็ว 200 รอบต่อนาที ที่ 45 องศาเซลเซียส เป็นเวลา 3 วัน เก็บตัวอย่างนำมาบ่มเหยิงด้วยเครื่องปั่นเหยิงชนิดควบคุมอุณหภูมิด้วยความเร็ว 10,000 รอบต่อนาที อุณหภูมิ 4 องศาเซลเซียส เป็นเวลา 10 นาที นำส่วนใสไปวิเคราะห์แอกติวิตีของอะซีทิลเอสเทอร์

### 3.3.7.3 ศึกษาเวลาในการบ่มเชื้อที่เหมาะสมต่อการสร้างอะซีทิลเอสเทอร์เมื่อมีเปลือกข้าวโพดเป็นแหล่งคาร์บอน

ทำการทดลองเช่นเดียวกับข้อ 3.3.7.2 โดยมีเปลือกข้าวโพดความเข้มข้น 1.5 เปอร์เซ็นต์ เป็นแหล่งคาร์บอน บ่มเชื้อบนเครื่องเขย่าควบคุมอุณหภูมิความเร็ว 200 รอบต่อนาที ที่ 45 องศาเซลเซียส เป็นเวลา 1 ถึง 5 วัน เก็บตัวอย่างนำมาบ่มเหยิงด้วยเครื่องปั่นเหยิงชนิดควบคุมอุณหภูมิด้วยความเร็ว 10,000 รอบต่อนาที อุณหภูมิ 4 องศาเซลเซียส เป็นเวลา 10 นาที นำส่วนใสไปวิเคราะห์แอกติวิตีของอะซีทิลเอสเทอร์

## 3.3.8 หาแหล่งอินทรีย์ในโตรเจนที่เหมาะสมต่อการสร้างอะซีทิลเอสเทอร์

### 3.3.8.1 ชนิดของแหล่งอินทรีย์ในโตรเจนที่เหมาะสมต่อการสร้างอะซีทิลเอสเทอร์

แหล่งอินทรีย์ในโตรเจนที่ใช้ คือ แอมโมเนียมคลอไรด์ ( $\text{NH}_4\text{Cl}$ ) แอมโมเนียมไนเตรด ( $\text{NH}_4\text{NO}_3$ ) แอมโมเนียมซัลเฟต ( $(\text{NH}_4)_2\text{SO}_4$ ) ไดแอมโมเนียมไฮโดรเจนฟอสเฟต ( $(\text{NH}_4)_2\text{HPO}_4$ ) และ โพแทสเซียมไนเตรด ( $\text{KNO}_3$ ) โดยเปรียบเทียบให้มีปริมาณไนโตรเจนเท่ากับแหล่งไนโตรเจนในสูตรอาหารเดิมคือ พอลิเพปไทด์ ซึ่งทำการวิเคราะห์ปริมาณไนโตรเจน (nitrogen content) โดยวิธี Kjeldahl (Stayermark, 1951) ด้วยความเอื้อเฟื้อของสถาบันเทคโนโลยีชีวภาพ และวิศวกรรมพันธุศาสตร์ จุฬาลงกรณ์มหาวิทยาลัย พบว่ามีปริมาณไนโตรเจนเท่ากับ 10 เปอร์เซ็นต์ (น้ำหนัก



ต่อน้ำหนัก) และในอาหารเลี้ยงเชื้อไซแลนคอมเพล็กซ์ มีพอลิเพปไทด์ 0.5 เปอร์เซ็นต์ (น้ำหนักต่อปริมาตร) ซึ่งเทียบเท่ากับปริมาณไนโตรเจน 0.05 เปอร์เซ็นต์ (น้ำหนักต่อปริมาตร)

เลี้ยงเชื้อตามวิธีการในข้อ 3.3.6.2 ที่ความเข้มข้นของไซแลนที่เหมาะสม และตามวิธีการในข้อ 3.3.7.3 และเปลี่ยนแหล่งไนโตรเจนเป็นแอมโมเนียมคลอไรด์ ( $\text{NH}_4\text{Cl}$ ) แอมโมเนียมไนเตรด ( $\text{NH}_4\text{NO}_3$ ) แอมโมเนียมซัลเฟต ( $(\text{NH}_4)_2\text{SO}_4$ ) ไดแอมโมเนียมไฮโดรเจนฟอสเฟต ( $(\text{NH}_4)_2\text{HPO}_4$ ) หรือโพแทสเซียมไนเตรด ( $\text{KNO}_3$ ) ให้มีความเข้มข้นในรูปของไนโตรเจนเท่ากับ 0.05 เปอร์เซ็นต์ (น้ำหนักต่อปริมาตร) โดยเปรียบเทียบกับชุดควบคุมที่มีพอลิเพปไทด์เป็นแหล่งไนโตรเจน บ่มเชื้อบนเครื่องเขย่าควบคุมอุณหภูมิความเร็ว 200 รอบต่อนาที ที่ 45 องศาเซลเซียส เป็นเวลา 3 วัน เก็บตัวอย่างนำมาปั่นเหวี่ยงด้วยเครื่องปั่นเหวี่ยงชนิดควบคุมอุณหภูมิด้วยความเร็ว 10,000 รอบต่อนาที อุณหภูมิ 4 องศาเซลเซียส เป็นเวลา 10 นาที นำส่วนใสไปวิเคราะห์แอกติวิตีของอะซีทิลเอสเทอร์

### 3.3.8.2 ความเข้มข้นแหล่งอนินทรีย์ไนโตรเจนต่อการสร้างอะซีทิลเอสเทอร์

ทำการทดลองเช่นเดียวกับวิธีการในข้อ 3.3.8.1 แต่แปรความเข้มข้นของอนินทรีย์ไนโตรเจนชนิดที่เหมาะสมของแต่ละแหล่งคาร์บอนในรูปความเข้มข้นของไนโตรเจนที่ 0.025 0.05 0.075 0.1 และ 0.125 เปอร์เซ็นต์ (น้ำหนักต่อปริมาตร) บ่มเชื้อบนเครื่องเขย่าควบคุมอุณหภูมิความเร็ว 200 รอบต่อนาที ที่ 45 องศาเซลเซียส เป็นเวลา 3 วัน เก็บตัวอย่างนำมาปั่นเหวี่ยงด้วยเครื่องปั่นเหวี่ยงชนิดควบคุมอุณหภูมิด้วยความเร็ว 10,000 รอบต่อนาที อุณหภูมิ 4 องศาเซลเซียส เป็นเวลา 10 นาที นำส่วนใสไปวิเคราะห์แอกติวิตีของอะซีทิลเอสเทอร์

### 3.3.8.3 ระยะเวลาการบ่มเชื้อที่เหมาะสมต่อการสร้างอะซีทิลเอสเทอร์เมื่อใช้แหล่งอินทรีย์ในโตรเจน

ทำการทดลองเช่นเดียวกับข้อ 3.3.8.2 แต่แปรระยะเวลาบ่มเชื้อตั้งแต่ 1 ถึง 5 วัน เก็บตัวอย่างทุกวัน นำมาปั่นเหวี่ยงด้วยเครื่องปั่นเหวี่ยงชนิดควบคุมอุณหภูมิด้วยความเร็ว 10,000 รอบต่อนาที อุณหภูมิ 4 องศาเซลเซียส เป็นเวลา 10 นาที นำส่วนใสไปวิเคราะห์แอกติวิตีของอะซีทิลเอสเทอร์

### 3.3.9 ความเป็นกรดต่างเริ่มต้นของอาหารเลี้ยงเชื้อต่อการสร้างอะซีทิลเอสเทอร์

ทำการทดลองเช่นเดียวกับข้อ 3.3.8.3 แต่แปรระดับความเป็นกรดต่างเริ่มต้นของอาหารเลี้ยงเชื้อในช่วง 6.0-11.0 บ่มเชื้อบนเครื่องเขย่าควบคุมอุณหภูมิความเร็ว 200 รอบต่อนาที ที่ 45 องศาเซลเซียส ที่ระยะเวลาเหมาะสมตามข้อ 3.3.8.3 เก็บตัวอย่างนำมาปั่นเหวี่ยง ด้วยเครื่องปั่นเหวี่ยงชนิดควบคุมอุณหภูมิด้วยความเร็ว 10,000 รอบต่อนาที ที่อุณหภูมิ 4 องศาเซลเซียสเป็นเวลา 10 นาที นำส่วนใสไปวิเคราะห์แอกติวิตีของอะซีทิลเอสเทอร์

### 3.3.10 อุณหภูมิการเลี้ยงที่เหมาะสมต่อการสร้างอะซีทิลเอสเทอร์

เลี้ยงเชื้อภายใต้ภาวะที่เหมาะสมในข้อ 3.3.9 แต่แปรอุณหภูมิที่ใช้ในการบ่มเชื้อในช่วง 30-50 องศาเซลเซียส เก็บตัวอย่างนำมาปั่นเหวี่ยงด้วยเครื่องปั่นเหวี่ยงชนิดควบคุมอุณหภูมิด้วยความเร็ว 10,000 รอบต่อนาที อุณหภูมิ 4 องศาเซลเซียส เป็นเวลา 10 นาที นำส่วนใสไปวิเคราะห์แอกติวิตีของอะซีทิลเอสเทอร์

### 3.3.11 การศึกษาสมบัติบางประการของอะซีทิลเอสเทอร์จาก *Streptomyces sp.*

#### PC22

#### 3.3.11.1 การเตรียมอะซีทิลเอสเทอร์เข้มข้นโดยวิธีตกตะกอนด้วยแอมโมเนียมซัลเฟต

นำน้ำเลี้ยงเชื้อของ *Streptomyces sp.* PC22 ที่ต้องการศึกษาสมบัติของอะซีทิลเอสเทอร์มาปั่นเหวี่ยงที่ความเร็ว 10,000 รอบต่อนาที เป็นเวลา 15 นาที นำส่วนใสทั้งหมดมาตกตะกอน ด้วยแอมโมเนียมซัลเฟตอิ่มตัว 80 เปอร์เซ็นต์ ที่อุณหภูมิ 4 องศาเซลเซียส จากนั้นปั่นเหวี่ยงแยกตะกอนออกจากน้ำใสด้วยความเร็ว 10,000 รอบต่อนาที เป็นเวลา 30 นาที นำตะกอนที่ได้มาละลายใน 0.1 โมลาร์ โซเดียมฟอสเฟตบัฟเฟอร์ pH 6.5 ในปริมาตรที่น้อยที่สุดที่ละลายตะกอนได้หมด ไดอะไลส์ข้ามคืนในบัฟเฟอร์เดิมที่อุณหภูมิ 4 องศาเซลเซียส และนำไปปั่นแยกส่วนตะกอนออกด้วยความเร็ว 10,000 รอบต่อนาที ส่วนใสที่ได้คืออะซีทิลเอสเทอร์ที่ผ่านการตกตะกอนด้วยแอมโมเนียมซัลเฟตแล้ว

#### 3.3.11.2 อุณหภูมิที่เหมาะสมต่อการทำงานของเอนไซม์

นำอะซีทิลเอสเทอร์จากข้อ 3.3.11.1 มาวิเคราะห์แอกติวิตีตามวิธีการในข้อ 3.3.2 โดยผันแปรอุณหภูมิที่ใช้ในการบ่มในช่วง 35-70 องศาเซลเซียส

#### 3.3.11.3 ความเป็นกรดต่างที่เหมาะสมต่อการทำงานของเอนไซม์

นำอะซีทิลเอสเทอร์จากข้อ 3.2.11.1 มาวิเคราะห์แอกติวิตีตามวิธีการในข้อ 3.3.2 โดยบ่มที่อุณหภูมิที่เหมาะสมจากข้อ 3.3.11.2 ยกเว้นแปรความเป็นกรดต่างของบัฟเฟอร์ที่ใช้ในปฏิกิริยาเป็น 4.0-6.5 โดยให้บัฟเฟอร์ในช่วงความเป็นกรดต่างต่างๆ ดังนี้

0.5 โมลาร์ โซเดียมอะซิเตต บัฟเฟอร์	ในช่วง pH 4.0-6.5
0.5 โมลาร์ โซเดียมฟอสเฟต บัฟเฟอร์	ในช่วง pH 6.0-8.0
0.5 โมลาร์ ทริสไฮโดรคลอไรด์ บัฟเฟอร์	ในช่วง pH 8.0-9.0

#### 3.3.11.4 ความเสถียรของเอนไซม์ต่ออุณหภูมิ

บ่มอะซีทิลเอสเทอร์จากข้อ 3.2.11.1 ใน 0.5 โมลาร์ โซเดียมฟอสเฟต บัฟเฟอร์ pH 6.5 ที่อุณหภูมิในช่วง 35-70 องศาเซลเซียส เป็นเวลา 30 นาที แล้วนำมาหา แอคติวิตีของอะซีทิลเอสเทอร์ที่เหลืออยู่ ตามวิธีการในข้อ 3.3.2 ภายใต้อุณหภูมิและค่าความเป็นกรดต่างที่เหมาะสมโดยมีอะซีทิลเอสเทอร์ที่ไม่ผ่านการบ่มเป็นตัวเปรียบเทียบ

#### 3.3.11.5 ความเสถียรของอะซีทิลเอสเทอร์ต่อความเป็นกรดต่าง

บ่มอะซีทิลเอสเทอร์จากข้อ 3.2.11.1 ที่ pH 4.0-9.0 ในบัฟเฟอร์ชนิดต่างๆ ดังระบุในข้อ 3.2.11.3 เป็นเวลา 30 นาที ที่อุณหภูมิ 4 องศาเซลเซียส จากนั้นนำมาหาแอคติวิตีของอะซีทิลเอสเทอร์ที่เหลืออยู่ ตามวิธีการในข้อ 3.3.2 ภายใต้อุณหภูมิและค่าความเป็นกรดต่างที่เหมาะสมโดยมีอะซีทิลเอสเทอร์ที่ไม่ผ่านการบ่มเป็นตัวเปรียบเทียบ

## บทที่ 4

### ผลการวิจัย

#### 4.1 การตรวจสอบแหล่งสะสมของอะซีทิลเอสเทอร์ที่สร้างโดย *Streptomyces* sp. PC22

เนื่องจากยังไม่มีการศึกษาการสร้างอะซีทิลเอสเทอร์โดย *Streptomyces* sp. PC22 มาก่อน ดังนั้นการทดลองเบื้องต้นจึงจำเป็นต้องตรวจสอบว่าอะซีทิลเอสเทอร์ที่ *Streptomyces* sp. PC22 สร้างขึ้นเป็นเอโนไซม์ชนิดที่สร้างและเก็บไว้ในเซลล์ หรือ ปล่อยออกนอกเซลล์ โดยทำการเปรียบเทียบแอกติวิตีทั้งหมดที่วิเคราะห์ได้ในน้ำเลี้ยงเชื้อและภายในเซลล์ โดยทำการทดลองตามวิธีที่รายงานไว้ใน บทที่ 3 ข้อ 3.3.1.3 และวิเคราะห์แอกติวิตีภายใต้ภาวะที่รายงานโดย (Kormelink และคณะ, 1993)

ผลการทดลองดังแสดงในตารางที่ 1 พบว่าปริมาณเอโนไซม์ทั้งหมดในน้ำเลี้ยงเชื้อสูงกว่าภายในเซลล์ อะซีทิลเอสเทอร์จึงจัดเป็นเอโนไซม์ที่สร้างขึ้นภายในเซลล์แล้วปลดปล่อยออกนอกเซลล์ ดังนั้นในการทดลองขั้นต่อไปจะวิเคราะห์เอโนไซม์ในน้ำเลี้ยงเชื้อ

ตารางที่ 4.1 ปริมาณอะซีทิลเอสเทอร์ทั้งหมดภายในเซลล์และในน้ำเลี้ยงเชื้อเมื่อเลี้ยงในอาหารเลี้ยงเชื้อปริมาตร 60 มิลลิลิตร เป็นเวลา 2 วัน

แหล่งวิเคราะห์เอโนไซม์	ปริมาณเอโนไซม์ทั้งหมด (หน่วย)
น้ำเลี้ยงเชื้อ	1.89 ± 0.11
เซลล์สกัด	0.13 ± 0.08

## 4.2 ภาวะเหมาะสมเบื้องต้นในการทำงานของเอนไซม์

จากผลการทดลองข้อ 4.1 ได้ใช้การวิเคราะห์แอสติวิตีของเอนไซม์ตามวิธีที่รายงานโดย (Kormelink และคณะ, 1993) ซึ่งบ่มปฏิกิริยาที่ 40 องศาเซลเซียส pH 6 แต่วิธีดังกล่าวอาจไม่ใช่ภาวะที่เหมาะสมต่อการทำงานของ อะซีทิลเอสเทอเรส จาก *Streptomyces* sp. PC22 ดังนั้น การทดลองนี้จึงทำการหาอุณหภูมิ ชนิดของบัฟเฟอร์ และค่าความเป็นกรดต่างที่เหมาะสมต่อการทำงานของอะซีทิลเอสเทอเรส เพื่อนำไปใช้ในการทดลองต่อไป

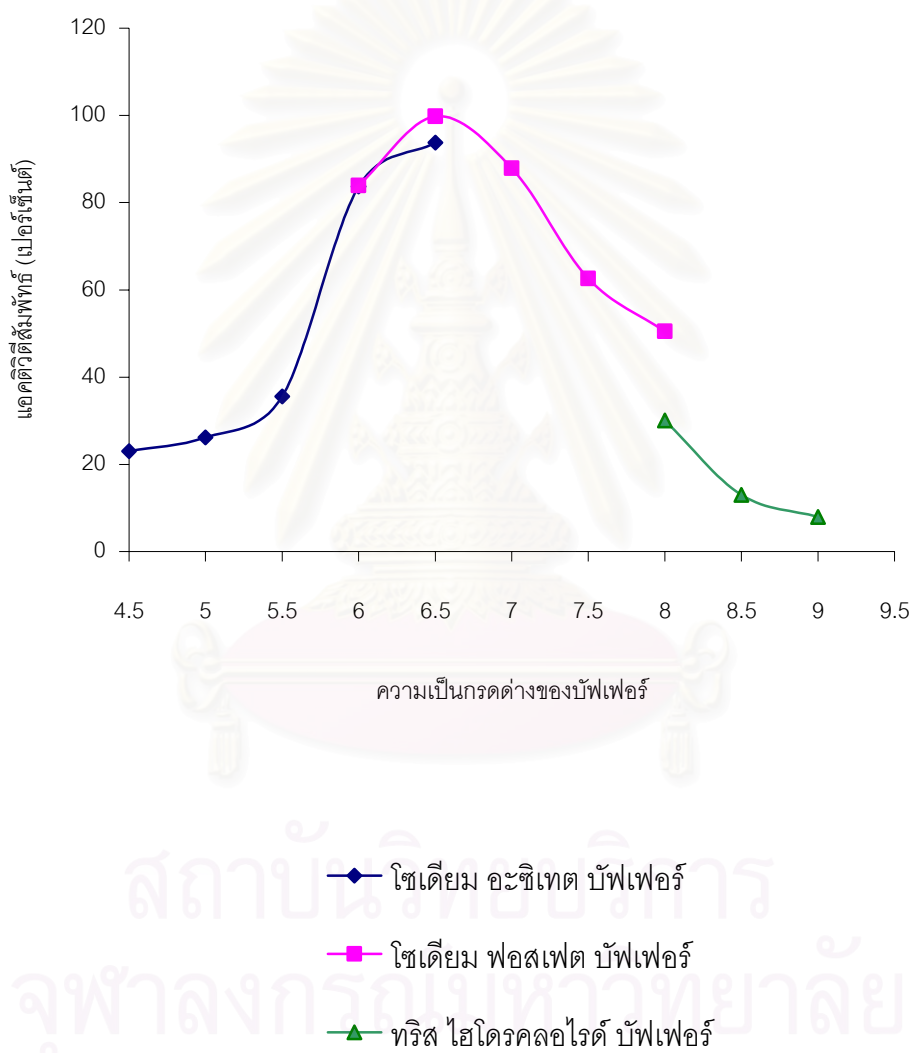
### 4.2.1 ผลของความเป็นกรดต่างต่อการทำงานของ อะซีทิลเอสเทอเรส

จากการบ่มปฏิกิริยาของเอนไซม์ในบัฟเฟอร์ที่มีค่าความเป็นกรดต่างตั้งแต่ 4.0 - 9.5 พบว่าความเป็นกรดต่างที่เหมาะสมต่อการทำงานของอะซีทิลเอสเทอเรสคือ 6.5 โดยชนิดของบัฟเฟอร์คือ โซเดียมฟอสเฟต บัฟเฟอร์ ดังแสดงในรูปที่ 4.1 ดังนั้นในการวิเคราะห์แอสติวิตีต่อไป จะใช้ความเป็นกรดต่างเท่ากับ 6.5

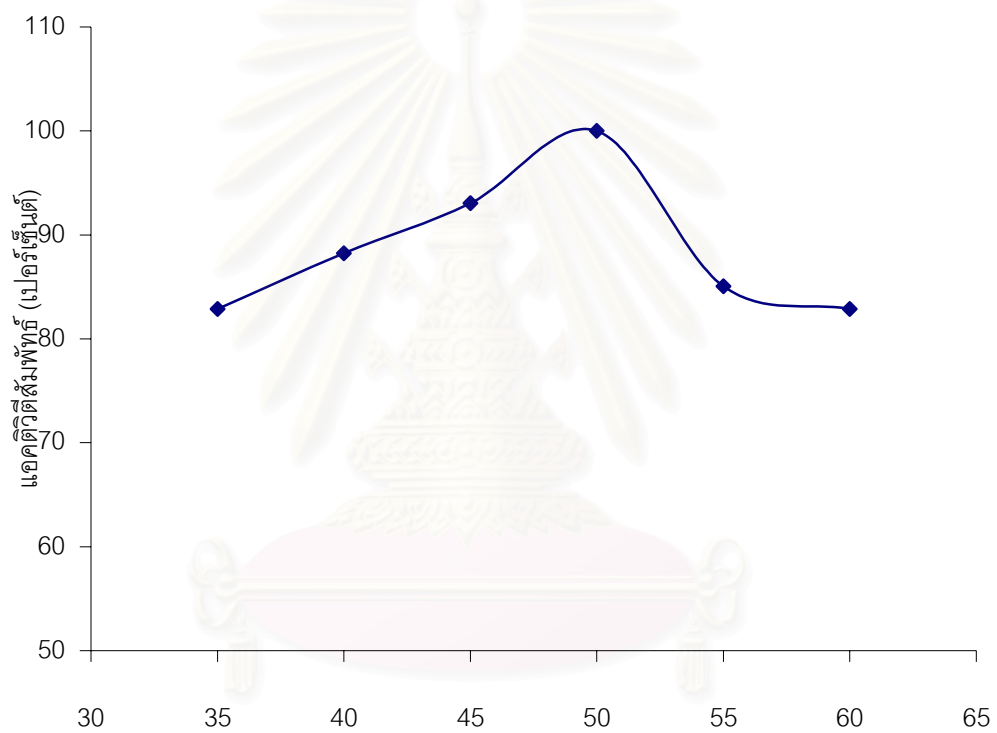
### 4.2.2 อุณหภูมิที่เหมาะสมต่อการทำงานของอะซีทิลเอสเทอเรส

จากการศึกษาผลของค่าความเป็นกรดต่างที่เหมาะสมต่อการทำงานของเอนไซม์คือค่าความเป็นกรดต่าง ที่ 6.5 โดยชนิดของบัฟเฟอร์คือ โซเดียมฟอสเฟตบัฟเฟอร์ จึงเลือกใช้ค่าความเป็นกรดต่างจากข้อ 4.2.1 มาทดสอบหาอุณหภูมิที่เหมาะสมต่อการทำงานของ อะซีทิลเอสเทอเรส โดยบ่มหลอดปฏิกิริยาที่อุณหภูมิตั้งแต่ 35 - 60 องศาเซลเซียส เปรียบเทียบแอสติวิตีของอะซีทิลเอสเทอเรสที่อุณหภูมิต่างๆ ผลการทดลองดังแสดงในรูปที่ 4.2 พบว่าอุณหภูมิที่เหมาะสมต่อการทำงานของเอนไซม์อยู่ในช่วงกว้าง โดยที่อุณหภูมิ 50 องศาเซลเซียส มีแอสติวิตีสูงสุด ดังนั้นในการวิเคราะห์แอสติวิตีครั้งต่อไปจะบ่มที่อุณหภูมิ 50 องศาเซลเซียส

ผลการทดลองข้างต้นสรุปได้ว่าภาวะที่เหมาะสมต่อการทำงานของอะซีทิลเอสเทอเรส คือที่ค่าความเป็นกรดต่าง 6.5 และที่อุณหภูมิ 50 องศาเซลเซียส ดังนั้นในการทดลองต่อจากนี้ไปจะใช้ภาวะนี้ในการวิเคราะห์แอสติวิตีของอะซีทิลเอสเทอเรส



รูปที่ 4.1 ผลของความเป็นกรดต่างต่อการทำงานของอะซีทิลเอสเทอร์



สถาบันวิจัยปฏิบัติการ  
จุฬาลงกรณ์มหาวิทยาลัย

คุณหญิง (องศาเซลเซียส)

รูปที่ 4.2 ผลของคุณหญิงต่อการทำงานของอะซีทิลเอสเทอร์



### 4.3 การหารูปแบบการเจริญของ *Streptomyces* sp. PC22 อายุของหัวเชื้อ

#### 4.3.1 รูปแบบการเจริญของ *Streptomyces* sp. PC22

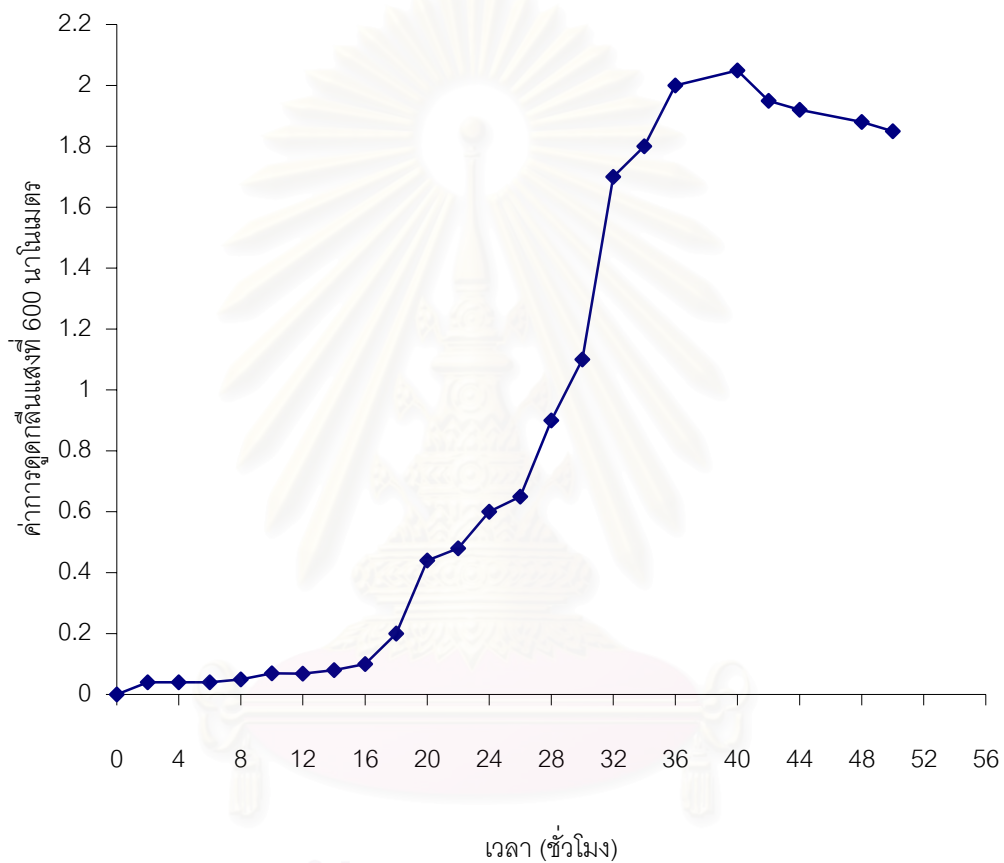
การศึกษารูปแบบการเจริญของเชื้อนี้ เพื่อนำไปใช้เป็นข้อมูลในการหาช่วงอายุที่เหมาะสมสำหรับเตรียมหัวเชื้อซึ่งทำโดยนำสปอร์ *Streptomyces* sp. PC22 ที่ความหนาแน่น  $2 \times 10^8$  สปอร์ต่อมิลลิลิตร ปริมาณ 100 ไมโครลิตร มาเลี้ยงใน TSB ปริมาตร 30 มิลลิลิตร บนเครื่องเขย่าความเร็ว 200 รอบต่อนาทีที่ 45 องศาเซลเซียส ติดตามการเจริญโดยวัดค่าความขุ่นที่ความยาวคลื่น 600 นาโนเมตร

ผลทดลองพบว่า *Streptomyces* sp. PC22 เมื่อเจริญในช่วง mid log จะมีค่าการดูดกลืนแสง ที่ 600 นาโนเมตร เท่ากับ 1.2 และเมื่อเจริญถึงช่วง late log จะมีค่าการดูดกลืนแสง ที่ 600 นาโนเมตรเท่ากับ 1.6 ดังแสดงในรูปที่ 4.3

#### 4.3.2 ผลของอายุหัวเชื้อต่อการสร้างอะซีทิลเอสเทอร์

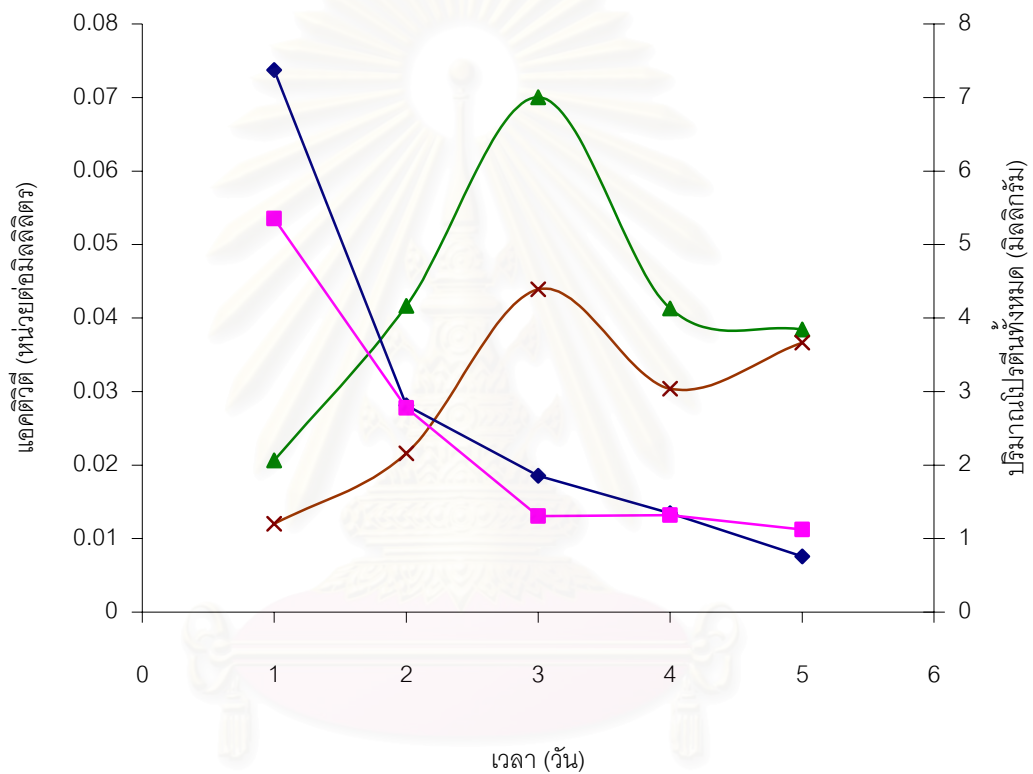
การทดลองนี้ทำการเปรียบเทียบอายุของหัวเชื้อต่อการสร้างอะซีทิลเอสเทอร์ โดยแปรอายุของหัวเชื้อในช่วง mid log phase (ค่าดูดกลืนแสง 1.2 ที่ 600 นาโนเมตร) และ ระยะ late log phase (ค่าดูดกลืนแสง 1.6 ที่ 600 นาโนเมตร) โดยเลี้ยงเชื้อเช่นเดียวกับผลการทดลองในข้อ 4.3.1 ติดตามการเจริญโดยวัดค่าความขุ่นที่ความยาวคลื่น 600 นาโนเมตร จนได้ค่าตามต้องการ จึงถ่ายหัวเชื้อ 5 เปอร์เซ็นต์ ลงในอาหารเลี้ยงเชื้อ ไชแลนคอมเพล็กซ์ (xylan complex medium) ปริมาตร 30 มิลลิลิตร ที่มีไชแลนจากเปลือกข้าวโอ๊ต (Oat spelt xylan) 0.5% เป็นแหล่งคาร์บอน บ่มบนเครื่องเขย่าความเร็ว 200 รอบต่อนาที ที่ 45 องศาเซลเซียส เป็นเวลา 1 ถึง 5 วัน และวิเคราะห์แอกติวิตีของอะซีทิลเอสเทอร์

ผลการทดลองดังแสดงในรูปที่ 4.4 พบว่าอายุหัวเชื้อในช่วง mid log ให้แอกติวิตีสูงสุดประมาณ 0.07 หน่วยต่อมิลลิลิตร สูงกว่าการใช้หัวเชื้อในช่วง late log ซึ่งให้แอกติวิตีสูงสุดเพียงประมาณ 0.04 หน่วยต่อมิลลิลิตร ดังนั้นในการทดลองต่อไปจึงเลือกใช้อายุหัวเชื้อในช่วง mid log



สถาบันวิทยบริการ  
จุฬาลงกรณ์มหาวิทยาลัย

รูปที่ 4.3 รูปแบบการเจริญของ *Streptomyces* sp. PC22



- ▲ อายุหัวเชื้อในช่วง mid log ซึ่งค่าดูดกลืนแสง 1.2      × อายุหัวเชื้อในช่วง late log ซึ่งค่าดูดกลืนแสง  
◆ ปริมาณโปรตีนเมื่อใช้หัวเชื้อช่วง mid log      ■ ปริมาณโปรตีนเมื่อใช้หัวเชื้อระยะ late log

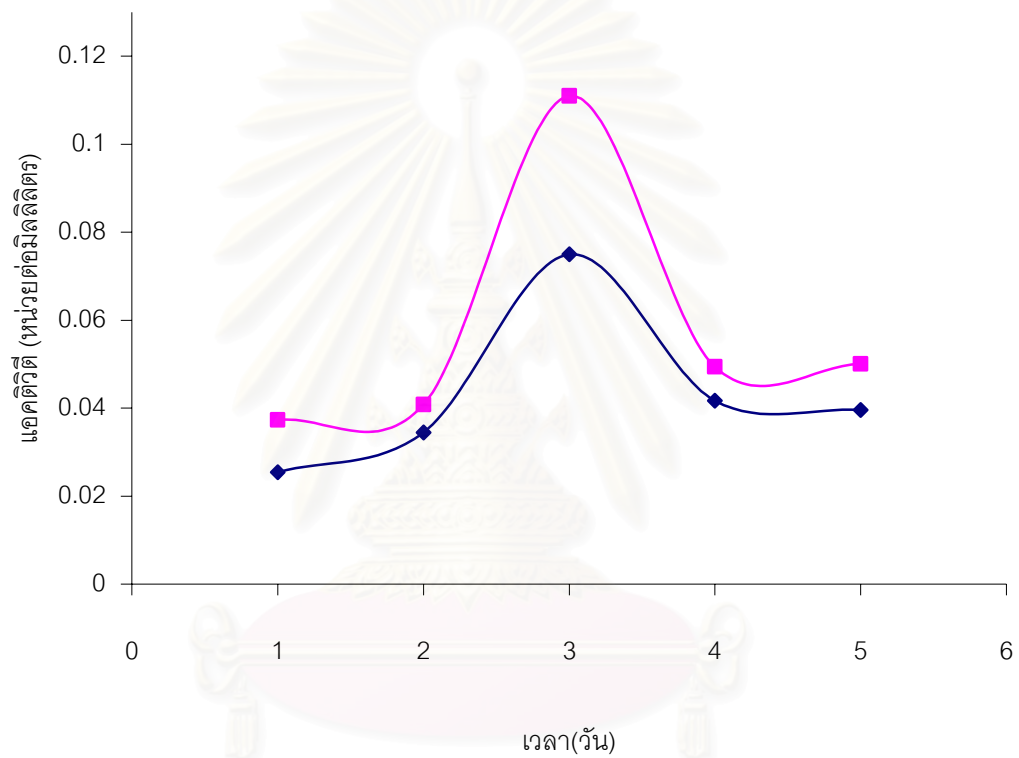
รูปที่ 4.4 ผลการเปรียบเทียบอายุของหัวเชื้อต่อการสร้างอะซีทิลเอสเทอร์โดย *Streptomyces* sp.

PC22

#### 4.4 ผลของความเข้มข้นหัวเชื้อต่อการผลิตอะซีทิลเอสเทอร์

การทดลองนี้แปรความเข้มข้นของหัวเชื้อที่มีอายุในช่วง mid log ซึ่งให้ค่าการดูดกลืนแสง ที่ความยาวคลื่น 600 นาโนเมตรเท่ากับ 1.2 ที่สองความเข้มข้น คือ 5 และ 10 เปอร์เซ็นต์ (ปริมาตร ต่อปริมาตร) โดยถ่ายลงสู่อาหารเลี้ยงเชื้อไซแลนคอมเพล็กซ์ ที่มีไซแลนจากเปลือกข้าวโอ๊ต 0.5 เปอร์เซ็นต์ เป็นแหล่งคาร์บอน เลี้ยงบนเครื่องเขย่าความเร็ว 200 รอบต่อนาที ที่ 45 องศาเซลเซียส เป็นเวลา 1 ถึง 5 วัน วิเคราะห์แอกติวิตีของอะซีทิลเอสเทอร์

ผลการทดลองแสดงในรูปที่ 4.5 พบว่าความเข้มข้นของหัวเชื้อที่เหมาะสมต่อการสร้าง อะซีทิลเอสเทอร์ คือ 10 เปอร์เซ็นต์ โดยแอกติวิตีเอนไซม์สูงสุดในวันที่ 3 คือ 0.13 หน่วยต่อ มิลลิตร ขณะที่หัวเชื้อที่ความเข้มข้น 5 เปอร์เซ็นต์ ให้แอกติวิตีของเอนไซม์สูงสุดในวันที่ 3 เช่นกัน แต่มีค่าเพียงประมาณ 0.07 หน่วยต่อมิลลิตรของอาหารเลี้ยงเชื้อ ดังนั้นการทดลองต่อไปจึงจะใช้ ความเข้มข้นของหัวเชื้อ 10 เปอร์เซ็นต์



—◆— ความเข้มข้นหัวเชื้อ 5% (ปริมาณต่อปริมาตร)

—■— ความเข้มข้นหัวเชื้อ 10% (ปริมาณต่อปริมาตร)

รูปที่ 4.5 ผลของความเข้มข้นของหัวเชื้อต่อการผลิตอะซีทิลเอสเทอร์จาก *Streptomyces* sp.

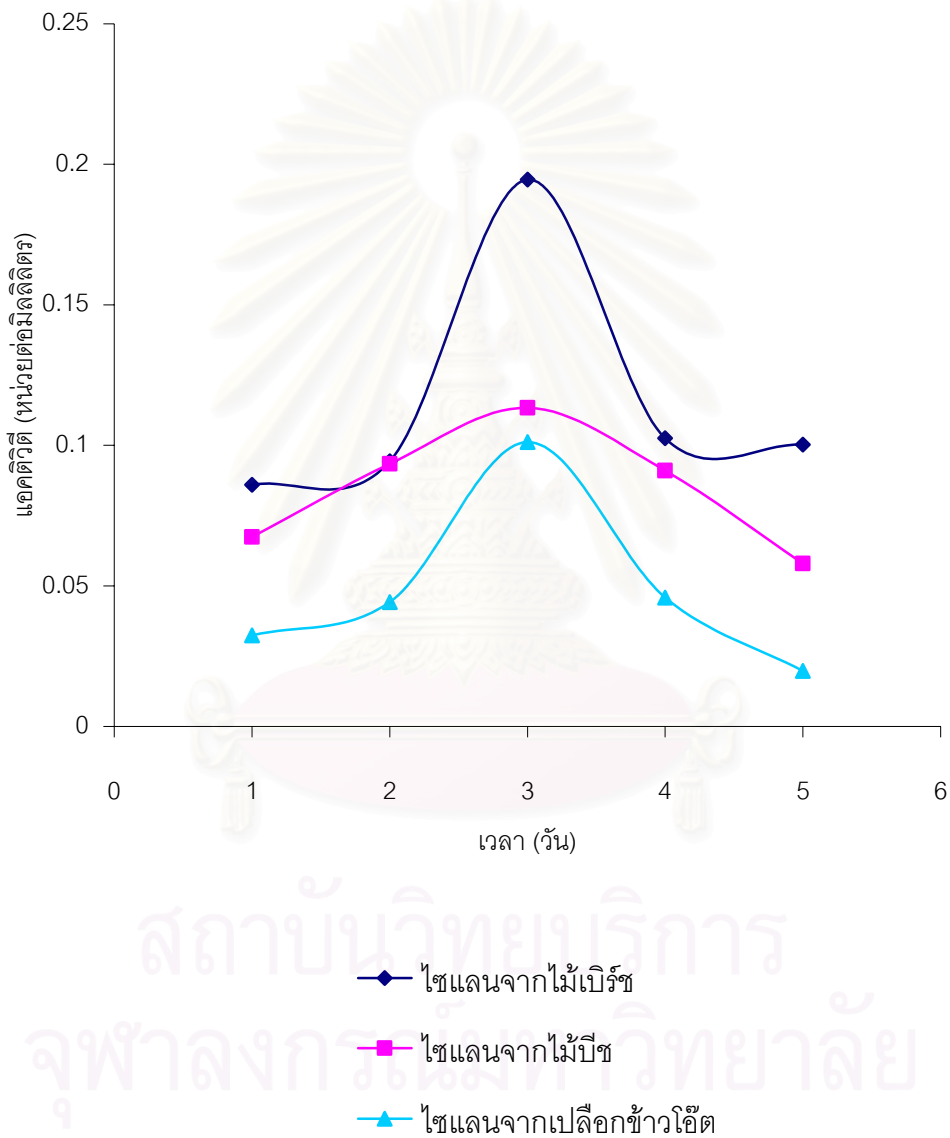
PC22

#### 4.5 ผลของไซแลนจากแหล่งต่างๆต่อการผลิตอะซีทิลเอสเทอร์จาก *Streptomyces* sp. PC22

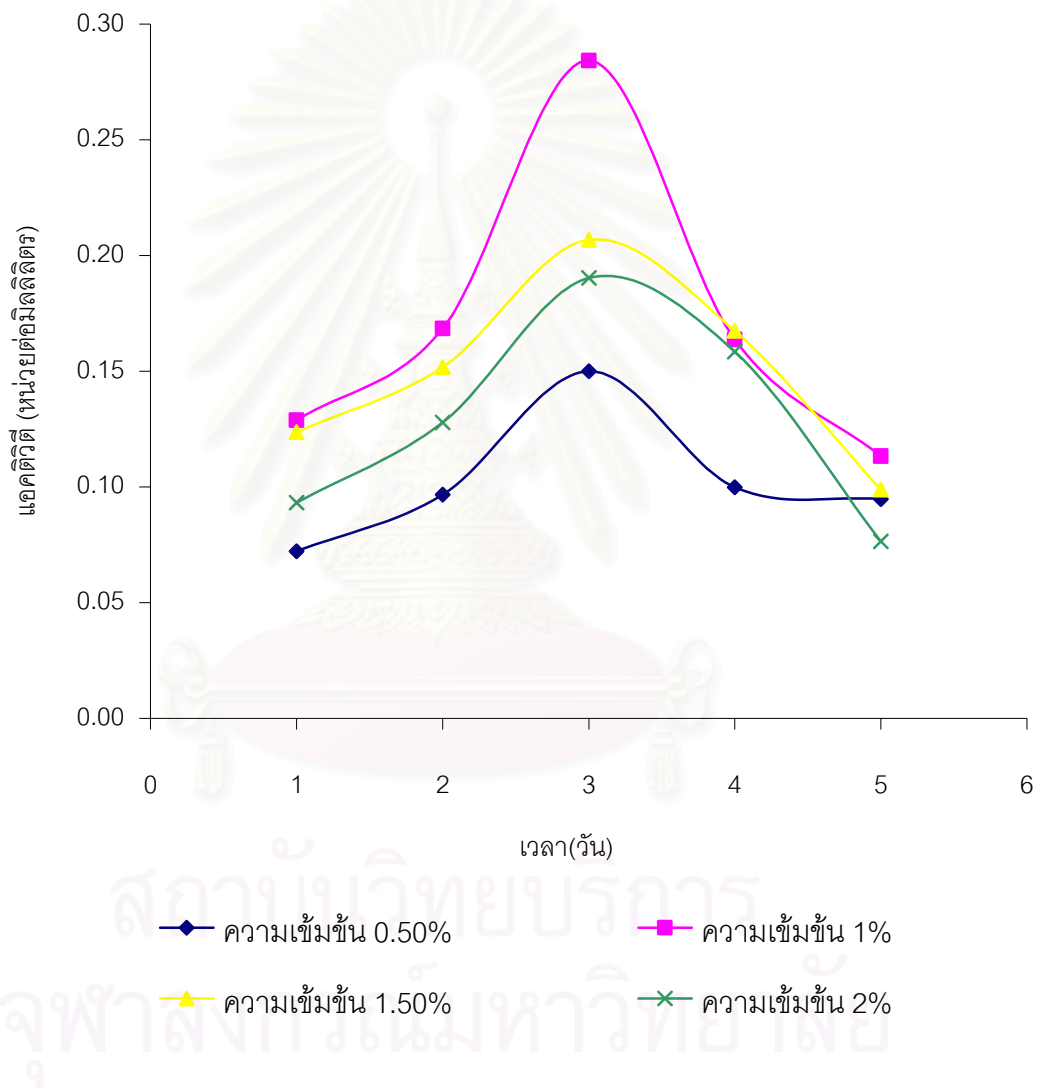
จากการแปรไซแลนชนิดต่างๆ 3 ชนิดเพื่อใช้เป็นแหล่งคาร์บอนได้แก่ ไซแลนจากเปลือกข้าวโอ๊ต ไซแลนจากไม้เบิร์ช (Birchwood xylan) และไซแลนจากไม้บีช (Beechwood xylan) ที่ความเข้มข้น 0.5 เปอร์เซ็นต์ ปริมาตร 30 มิลลิลิตร โดยเลี้ยงบนเครื่องเขย่าความเร็ว 200 รอบต่อนาที ที่ 45 องศาเซลเซียส เป็นเวลา 1 ถึง 5 วัน วิเคราะห์แอกติวิตีของอะซีทิลเอสเทอร์ ผลการทดลองแสดงดังรูปที่ 4.6 ไซแลนจากไม้เบิร์ช (Birch wood xylan) ให้แอกติวิตีของอะซีทิลเอสเทอร์สูงสุดในวันที่ 3 คือประมาณ 0.20 หน่วยต่อมิลลิลิตร ขณะที่ไซแลนอีก 2 ชนิดให้ปริมาณเอนไซม์สูงสุดต่ำกว่ามาก ดังนั้นจึงเลือกไซแลนจากไม้เบิร์ชเป็นแหล่งคาร์บอนในการผลิตอะซีทิลเอสเทอร์

#### 4.6 ผลของความเข้มข้นของไซแลนจากไม้เบิร์ชต่อการสร้างอะซีทิลเอสเทอร์

จากการแปรความเข้มข้นของไซแลนจากไม้เบิร์ช ที่ 0.5 1 1.5 และ 2 เปอร์เซ็นต์ ในอาหารไซแลนคอมเพล็กซ์แล้ววิเคราะห์ แอกติวิตีของอะซีทิลเอสเทอร์ทุกวันเป็นเวลา 5 วัน ผลการทดลองแสดงดังรูปที่ 4.7 พบว่าความเข้มข้นที่เหมาะสมต่อการสร้างอะซีทิลเอสเทอร์คือ 1 เปอร์เซ็นต์ และระยะเวลาการเลี้ยงที่เหมาะสมคือ 3 วันโดยให้แอกติวิตีของอะซีทิลเอสเทอร์สูงสุดประมาณ 0.3 หน่วยต่อมิลลิลิตร



รูปที่ 4.6 ผลของไส้แฉกชนิดต่างๆ ที่ความเข้มข้น 0.5% ต่อการสร้างอะซีทิลเอสเทอร์จาก *Streptomyces* sp. PC22



รูปที่ 4.7 ผลของความเข้มข้นไคแตนจากไม้เปิร์ชในอาหารเลี้ยงเชื้อต่อการสร้างอะซีทิลเอสเทอร์สจาก *Streptomyces* sp. PC22



#### 4.7 วัสดุทางการเกษตรชนิดต่างๆในการเป็นแหล่งคาร์บอนเพื่อการสร้างอะซีทิลเอสเทอร์

##### 4.7.1 ชนิดของแหล่งคาร์บอนจากวัสดุทางการเกษตรที่เหมาะสมต่อการสร้างอะซีทิลเอสเทอร์

เนื่องจากไซแลนจากไม้เบิร์ช ซึ่งผลิตขายทางการค้ามีราคาแพง งานวิจัยนี้จึงทดลองใช้วัสดุทางการเกษตรชนิดต่างๆ ที่มีไซแลนเป็นองค์ประกอบได้แก่ ฟางข้าว, ชังข้าวโพด, เปลือกข้าวโพด, กากเมล็ดฝ้าย, ชี้เลื่อย, รำข้าวเจ้า และรำข้าวสาลี เป็นแหล่งคาร์บอนที่ความเข้มข้น 1 เปอร์เซ็นต์ เปรียบเทียบกับไซแลนจากไม้เบิร์ช ในการเลี้ยงเชื้อเพื่อผลิตอะซีทิลเอสเทอร์โดย *Streptomyces sp. PC22*

ผลการทดลองดังแสดงในรูปที่ 4.8 พบว่าเปลือกข้าวโพดให้แอกติวิตีของเอนไซม์สูงกว่าวัสดุทางการเกษตรชนิดอื่นๆ โดยค่าที่ได้คือ 0.15 หน่วยต่อมิลลิเมตร แต่ถึงอย่างไรแอกติวิตีที่ได้ก็ยังต่ำกว่าการใช้ไซแลนจากไม้เบิร์ช ดังนั้นในการทดลองต่อไปจะศึกษาถึงความเข้มข้นที่เหมาะสมของเปลือกข้าวโพด

##### 4.7.2 ผลของความเข้มข้นเปลือกข้าวโพดต่อการผลิตอะซีทิลเอสเทอร์โดย

*Streptomyces sp. PC22*

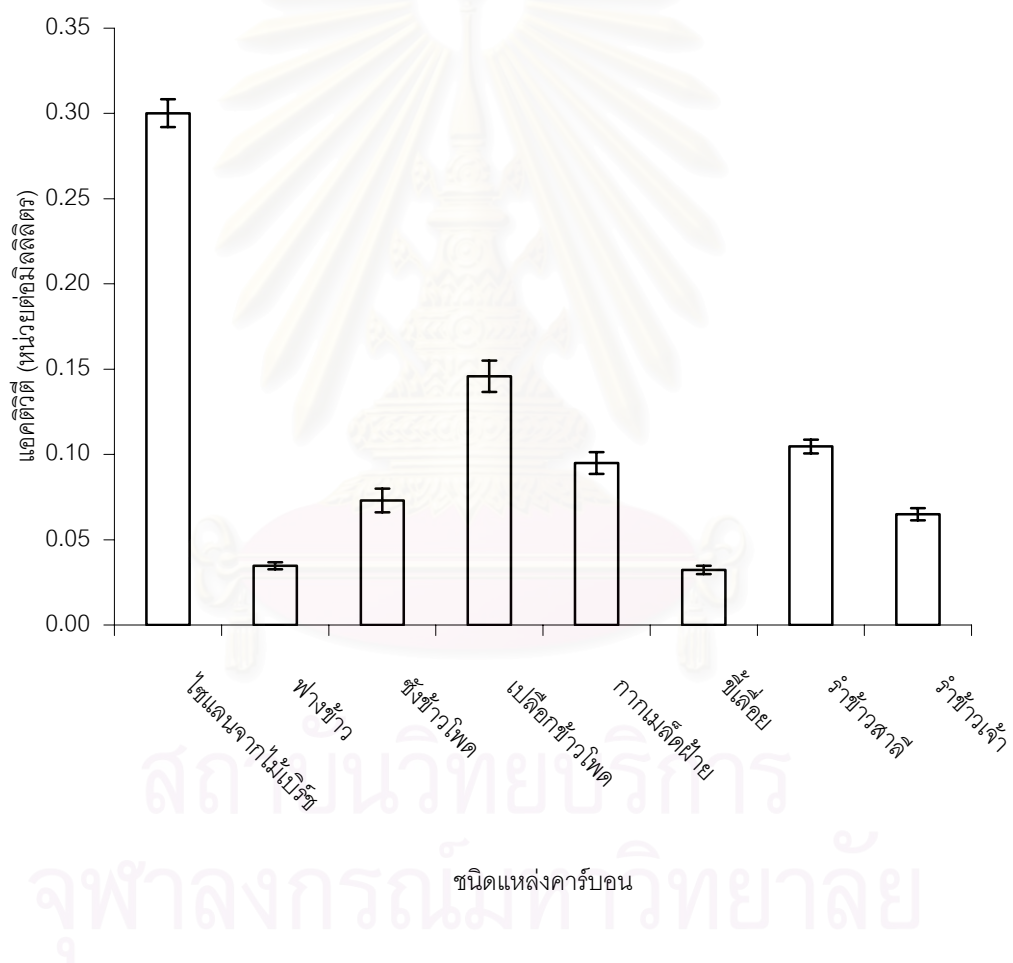
จากการใช้เปลือกข้าวโพดเป็นแหล่งคาร์บอน แทนไซแลนทางการค้า ในอาหารเลี้ยงเชื้อไซแลน คอมเพล็กซ์ โดยแปรความเข้มข้นที่ 0.5 1 1.5 2 2.5 และ 3 เปอร์เซ็นต์ เลี้ยงเชื้อเป็นเวลา 3 วันแล้ววิเคราะห์แอกติวิตีของอะซีทิลเอสเทอร์ผลการทดลองแสดงดังรูปที่ 4.9 พบว่าเปลือกข้าวโพดเข้มข้น 1.5 เปอร์เซ็นต์ ให้แอกติวิตีของอะซีทิลเอสเทอร์สูงสุดคือ 0.22 หน่วยต่อมิลลิเมตรและเมื่อใช้ความเข้มข้นของเปลือกข้าวโพดมากเกินไปจะทำให้อาหารเลี้ยงเชื้อมีความหนืดสูงอาจส่งผลกระทบต่อถ่ายเทอากาศทำให้การผลิตเอนไซม์มีประสิทธิภาพลดลงจึงเลือกความเข้มข้นเปลือกข้าวโพด 1.5 เปอร์เซ็นต์มาใช้ในการทดลองต่อไป

#### 4.7.3 ผลของระยะเวลาบ่มเชื้อต่อการสร้างอะซีทิลเอสเทอร์สเมื่อใช้เปลือกข้าวโพด 1.5 เปอร์เซ็นต์เป็นแหล่งคาร์บอน

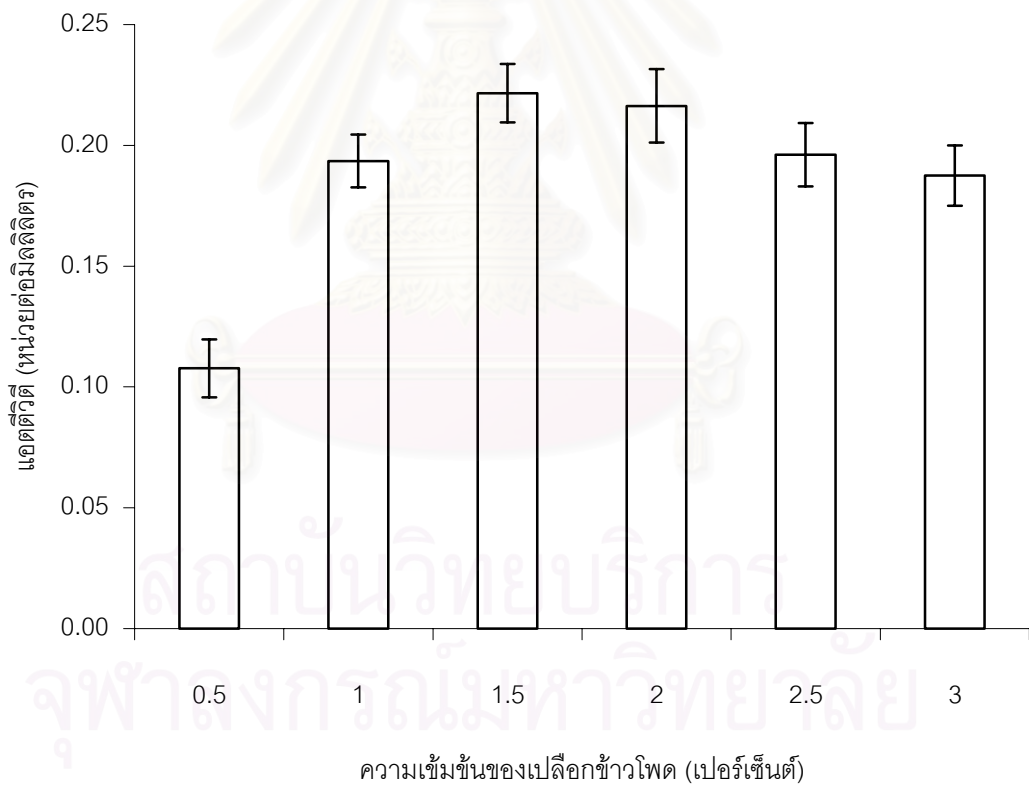
จากการเลี้ยงเชื้อในอาหารเลี้ยงเชื้อ ไชแลนคอมเพล็กซ์ ที่มีเปลือกข้าวโพดเป็นแหล่งคาร์บอนความเข้มข้น 1.5 เปอร์เซ็นต์ และแปรระยะเวลาบ่มเชื้อในช่วง 1 ถึง 5 วัน แล้ววิเคราะห์แอกติวิตีของอะซีทิลเอสเทอร์ส ผลการทดลองแสดงดังรูปที่ 4.10 พบว่าระยะเวลาบ่มเชื้อ 2 วันให้แอกติวิตีเอนไซม์สูงสุดประมาณ 0.25 หน่วยต่อมิลลิลิตร



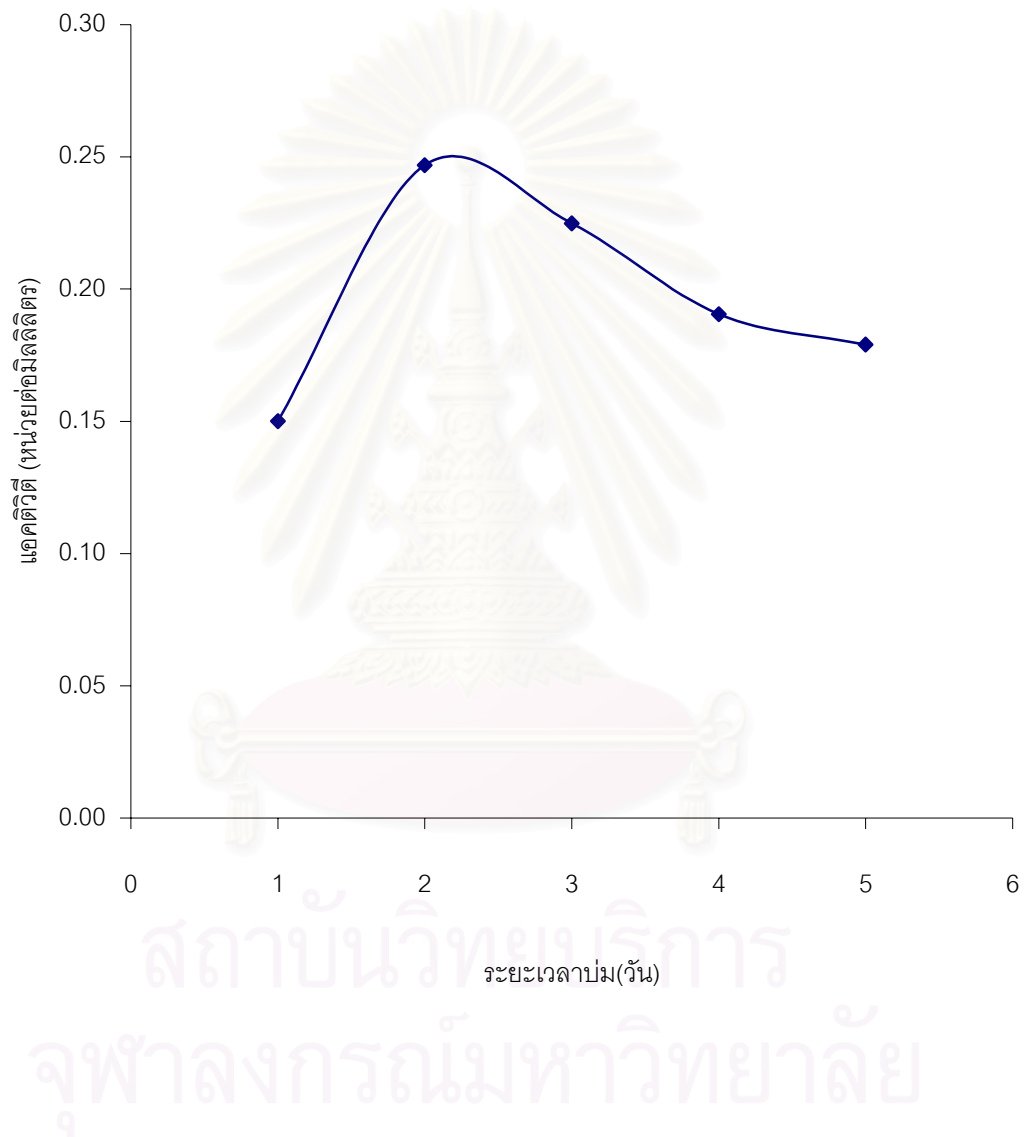
สถาบันวิทยบริการ  
จุฬาลงกรณ์มหาวิทยาลัย



รูปที่ 4.8 ผลการทดลองใช้วัสดุทางการเกษตรชนิดต่างๆ เปรียบเทียบกับไชเลนจาก ไม้เบิร์ช ที่ความเข้มข้น 1% เป็นแหล่งคาร์บอนต่อการสร้างอะซีทิลเอสเทอร์โดย *Streptomyces* sp. PC22 เมื่อเลี้ยงเป็นเวลา 3 วัน



รูปที่ 4.9 ผลของความเข้มข้นเปลือกข้าวโพดต่อการสร้างอะซีทิลเอสเทอร์โดย *Streptomyces* sp. PC22 เมื่อเลี้ยงเป็นเวลา 3 วัน



รูปที่ 4.10 ผลของระยะเวลาต่อการสร้างอะซีทิลเอสเทอร์สโดย *Streptomyces* sp. PC22 เลี้ยงในอาหารเหลวที่มี 1.5 เปอร์เซ็นต์เปลือกข้าวโพดเป็นแหล่งคาร์บอน

#### 4.8 ผลของอนินทรีย์ไนโตรเจนต่อการสร้างอะซีทิลเอสเทอร์

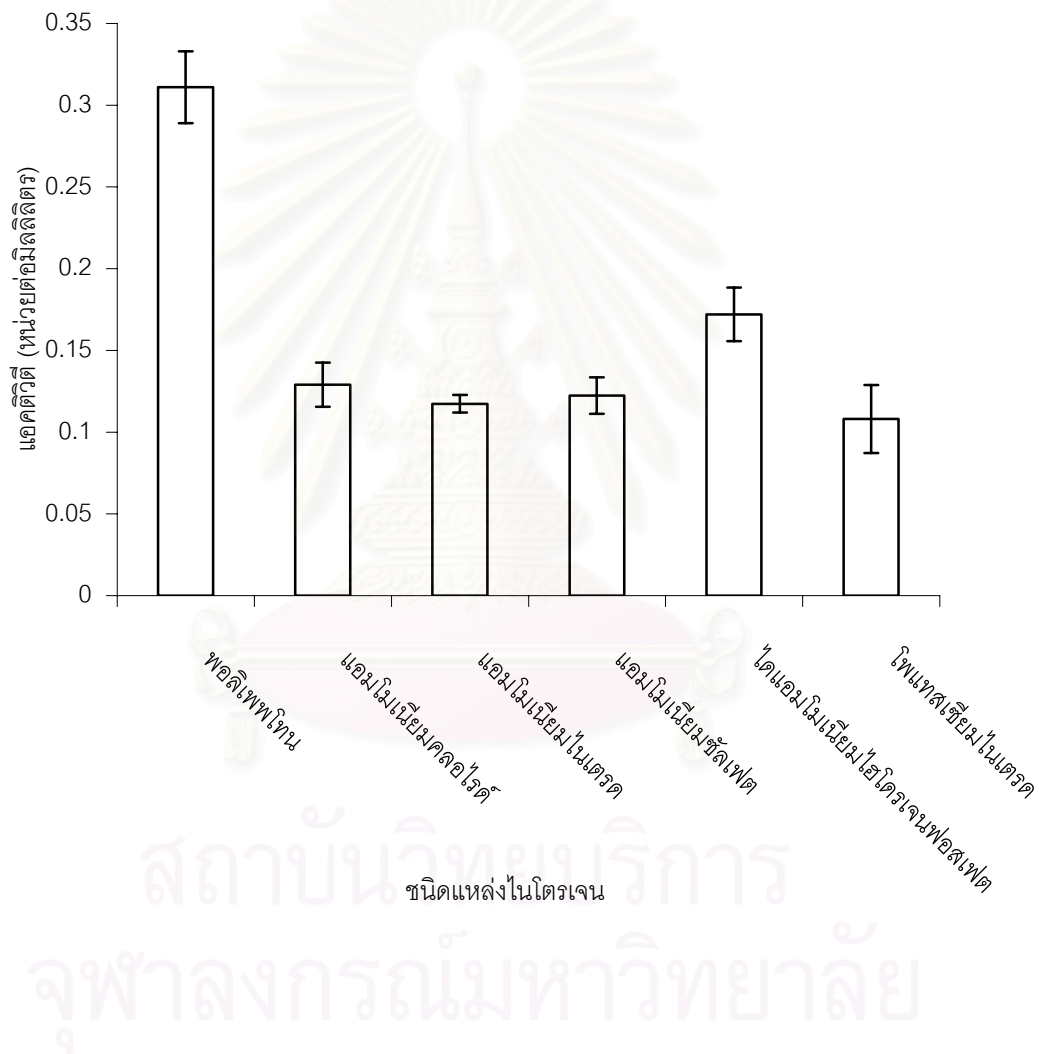
ในการทดลองเบื้องต้นที่ผ่านมาได้ใช้ พอลิเพปไทด์ เป็นแหล่งไนโตรเจนซึ่งมีราคาค่อนข้างแพง ถ้ามีการเลี้ยงเชื้อในระดับอุตสาหกรรม จำเป็นต้องใช้ปริมาณมากซึ่งจะทำให้มีค่าใช้จ่ายสูง อนินทรีย์ไนโตรเจนจึงเป็นอีกทางเลือกหนึ่งที่น่าจะนำมาใช้ทดแทนได้ เนื่องจากอนินทรีย์ไนโตรเจนส่วนใหญ่ราคาไม่สูงนักและสามารถใช้ในปริมาณที่น้อยกว่าแต่ยังคงให้ปริมาณไนโตรเจนเทียบเท่ากับพอลิเพปไทด์

จากการทดลองวิเคราะห์ไนโตรเจนโดยวิธี Kjeldahl พบว่าพอลิเพปไทด์ ความเข้มข้น 0.5 เปอร์เซ็นต์ (น้ำหนักต่อปริมาตร) จะมีไนโตรเจนเท่ากับ 0.05 เปอร์เซ็นต์ (น้ำหนักต่อปริมาตร) ดังนั้นอนินทรีย์ไนโตรเจนที่นำมาทดสอบเบื้องต้น จะใช้ในปริมาณที่เทียบเท่ากับพอลิเพปไทด์ เมื่อคำนวณในรูปของไนโตรเจน และแหล่งอนินทรีย์ไนโตรเจนที่นำมาใช้ในการทดลองนี้ คือ แอมโมเนียมคลอไรด์ ( $\text{NH}_4\text{Cl}$ ) แอมโมเนียมไนเตรด ( $\text{NH}_4\text{NO}_3$ ) แอมโมเนียมซัลเฟต ( $(\text{NH}_4)_2\text{SO}_4$ ) ไดแอมโมเนียมไฮโดรเจนฟอสเฟต ( $(\text{NH}_4)_2\text{HPO}_4$ ) และ โพแทสเซียมไนเตรด ( $\text{KNO}_3$ )

##### 4.8.1 ชนิดของอนินทรีย์ไนโตรเจนต่อการสร้างอะซีทิลเอสเทอร์ เมื่อใช้ไซแลนจากไม้เบิร์ชเป็นแหล่งคาร์บอน

การทดลองนี้ใช้ 1 เปอร์เซ็นต์ ไซแลนจากไม้เบิร์ชเป็นแหล่งคาร์บอน และแหล่งอนินทรีย์ไนโตรเจน คือ  $\text{NH}_4\text{Cl}$ ,  $\text{NH}_4\text{NO}_3$ ,  $(\text{NH}_4)_2\text{SO}_4$ ,  $(\text{NH}_4)_2\text{HPO}_4$  และ  $\text{KNO}_3$  ที่ความเข้มข้นเทียบเท่ากับไนโตรเจน 0.05 เปอร์เซ็นต์ (น้ำหนักต่อปริมาตร) เลี้ยงเชื้อเป็นเวลา 3 วัน วิเคราะห์แอกติวิตีของอะซีทิลเอสเทอร์เทียบกับชุดควบคุมที่มีพอลิเพปไทด์เป็นแหล่งไนโตรเจน

ผลการทดลองแสดงดังรูปที่ 4.11 พบว่า  $(\text{NH}_4)_2\text{SO}_4$  ให้แอกติวิตีของเอนไซม์สูงสุดคือประมาณ 0.17 หน่วยต่อมิลลิลิตร อย่างไรก็ตามแอกติวิตีที่ได้ก็ยิ่งต่ำกว่าเมื่อใช้พอลิเพปไทด์เป็นแหล่งไนโตรเจน



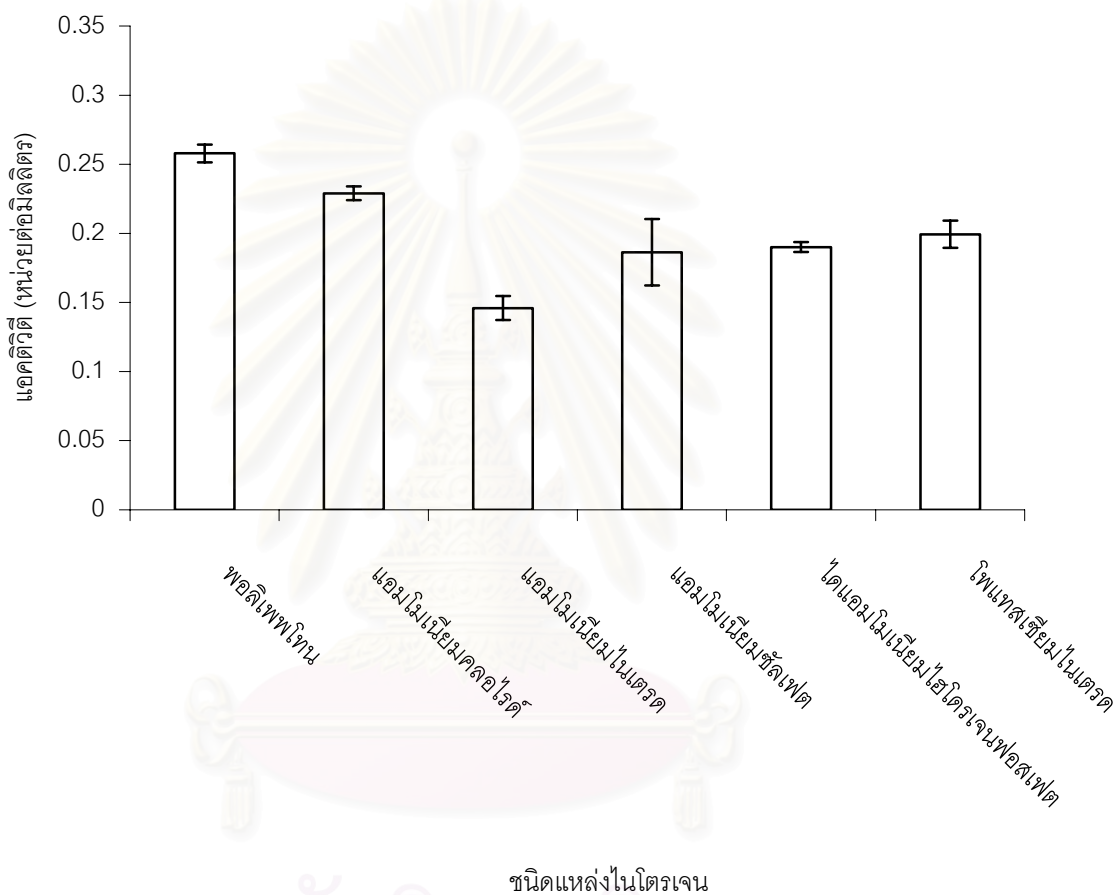
รูปที่ 4.11 ผลของอินทรีย์ไนโตรเจนชนิดต่างๆ และพอลิเฟอเฟโทนเทียบกับไนโตรเจนที่ความเข้มข้น 0.05% ต่อการสร้างอะซีทิลเอสเทอร์ เมื่อใช้ไซแลนจากไม้เบิร์ช 1% เป็นแหล่งคาร์บอน เมื่อเลี้ยงเป็นเวลา 3 วัน

#### 4.8.2 ชนิดของอนินทรีย์ไนโตรเจนต่อการสร้างอะซีทิลเอสเทอร์เมื่อใช้เปลือกข้าวโพดเป็นแหล่งคาร์บอน

การทดลองนี้มี 1.5 เปอร์เซ็นต์ เปลือกข้าวโพดเป็นแหล่งคาร์บอน แปรแหล่งอนินทรีย์ไนโตรเจน คือ  $\text{NH}_4\text{Cl}$ ,  $\text{NH}_4\text{NO}_3$ ,  $(\text{NH}_4)_2\text{SO}_4$ ,  $(\text{NH}_4)_2\text{HPO}_4$  และ  $\text{KNO}_3$  ที่ความเข้มข้นเทียบเท่ากับไนโตรเจน 0.05 เปอร์เซ็นต์ เลี้ยงเชื้อเป็นเวลา 2 วัน วิเคราะห์แอกติวิตีของอะซีทิลเอสเทอร์เทียบกับชุดควบคุมที่มีพอลิเพปไทด์เป็นแหล่งไนโตรเจน

ผลการทดลองแสดงดังรูปที่ 4.12 พบว่า  $\text{NH}_4\text{Cl}$  ให้แอกติวิตีของเอนไซม์สูงสุดประมาณ 0.25 หน่วยต่อมิลลิลิตร ซึ่งต่ำกว่าเมื่อใช้พอลิเพปไทด์เป็นแหล่งไนโตรเจนเล็กน้อย อย่างไรก็ตามความเข้มข้นของอนินทรีย์ไนโตรเจนในผลการทดลองข้อ 4.8.1 และ 4.8.2 อาจจะได้ค่าที่เหมาะสม ดังนั้นในการทดลองต่อไปจะแปรความเข้มข้นของอนินทรีย์ไนโตรเจนชนิดที่เหมาะสมเมื่อใช้ร่วมกับแหล่งคาร์บอนแต่ละชนิด





สถาบันวิทยบริการ  
จุฬาลงกรณ์มหาวิทยาลัย

รูปที่ 4.12 ผลของอนินทรีย์ไนโตรเจนชนิดต่างๆ และพอลิเพพไทน์เทียบกับไนโตรเจนที่ความเข้มข้น 0.05% ต่อการสร้างอะซีทิลเอสเทอร์ เมื่อใช้เปลือกข้าวโพดความเข้มข้น 1.5% เป็นแหล่งคาร์บอนเลี้ยงเป็นเวลา 2 วัน

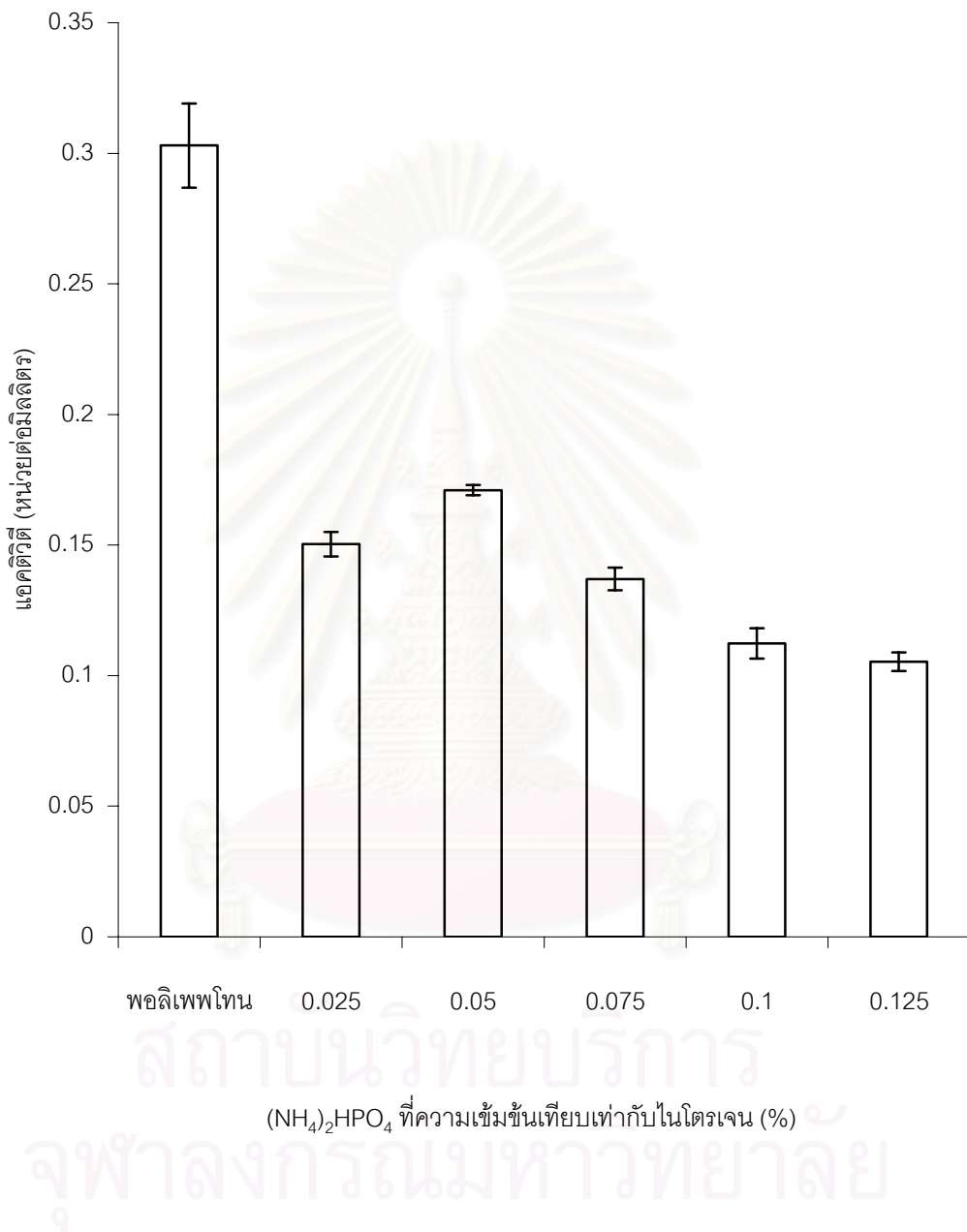
#### 4.9 ผลของความเข้มข้นแหล่งอินทรีย์ไนโตรเจนต่อการสร้างอะซีทิลเอสเทอร์

4.9.1 ผลของความเข้มข้น  $(\text{NH}_4)_2\text{HPO}_4$  ต่อการสร้างอะซีทิลเอสเทอร์โดย มีไซแลนจากไม้เบิร์ช เป็นแหล่งคาร์บอน

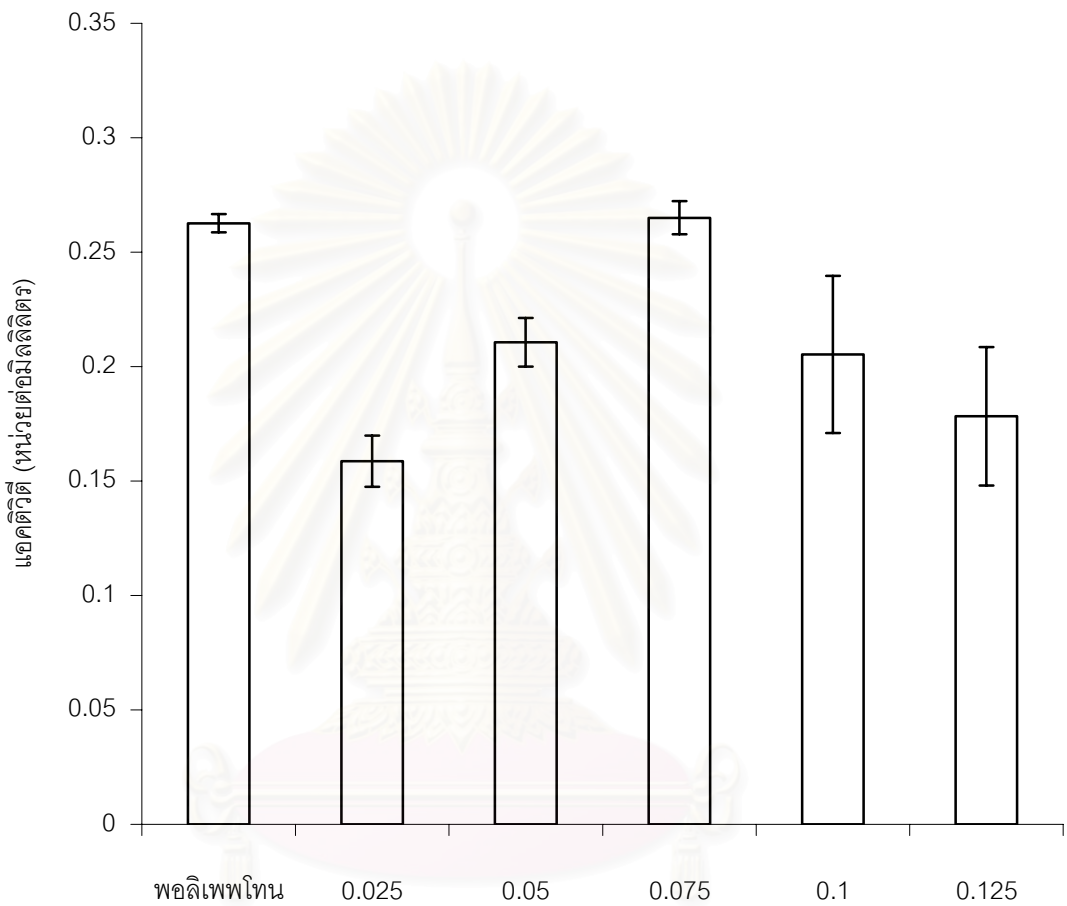
จากการทดลองเช่นเดียวกับข้อ 4.8.1 แต่แปรปริมาณ  $(\text{NH}_4)_2\text{HPO}_4$  ที่เทียบเท่ากับไนโตรเจนเป็น 0.025 0.05 0.075 0.1 และ 0.125 เปอร์เซ็นต์ ผลการทดลองแสดงดังรูปที่ 4.13 พบว่าที่ความเข้มข้นไนโตรเจนเท่ากับ 0.05 เปอร์เซ็นต์ ก็ยังเป็นค่าที่ให้แอกติวิตีของเอนไซม์สูงสุดคือประมาณ 0.17 หน่วยต่อมิลลิลิตร

4.9.2 ผลของความเข้มข้น  $\text{NH}_4\text{Cl}$  ต่อการสร้างอะซีทิลเอสเทอร์เมื่อใช้เปลือกข้าวโพดเป็นแหล่งคาร์บอน

จากการทดลองเช่นเดียวกับข้อ 4.8.2 แต่แปรปริมาณ  $\text{NH}_4\text{Cl}$  ที่เทียบเท่ากับปริมาณไนโตรเจนเป็น 0.025 0.05 0.075 0.1 และ 0.125 เปอร์เซ็นต์ ผลการทดลองแสดงดังรูปที่ 4.14 พบว่าที่ความเข้มข้นไนโตรเจนเท่ากับ 0.075 เปอร์เซ็นต์ ให้แอกติวิตีของเอนไซม์ประมาณ 0.27 หน่วยต่อมิลลิลิตร ซึ่งทัดเทียมกับการใช้พอลิเพปไทด์เป็นแหล่งไนโตรเจน



รูปที่ 4.13 ผลของ  $(\text{NH}_4)_2\text{HPO}_4$  ที่ความเข้มข้นไนโตรเจนต่างๆ เปรียบเทียบกับพอลิเฟอโทนที่มี ความเข้มข้นของไนโตรเจน 0.05% ต่อการสร้างอะซีทิลเอสเทอร์เมื่อใช้ 1% ซแลนจากไม้เบิร์ช เป็นแหล่งคาร์บอนเลี้ยงเป็นเวลา 3 วัน



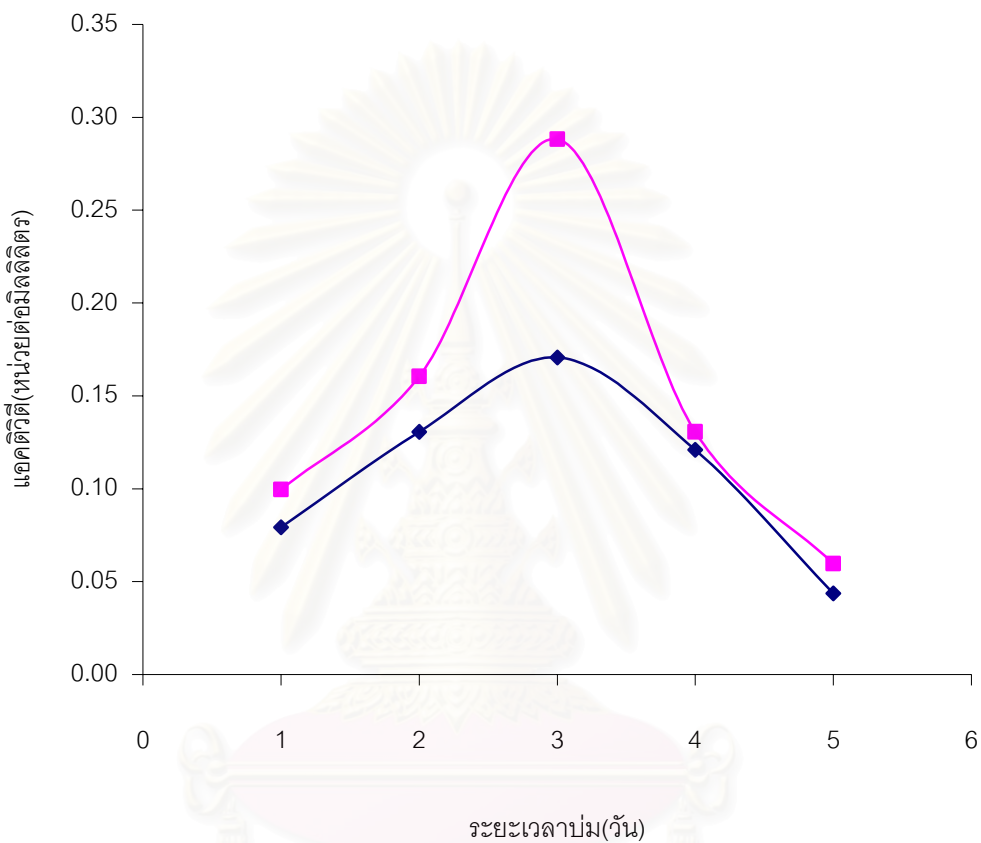
สถาบันวิทยบริการ  
จุฬาลงกรณ์มหาวิทยาลัย

$\text{NH}_4\text{Cl}$  ที่ความเข้มข้นเทียบเท่ากับไนโตรเจน (%)

รูปที่ 4.14 ผลของ  $\text{NH}_4\text{Cl}$  ที่ความเข้มข้นไนโตรเจนต่างๆ เปรียบเทียบกับพอลิเฟอเฟไทน์ที่มีความเข้มข้นของไนโตรเจน 0.05% ต่อการสร้างอะซีทิลเอสเทอร์เมื่อใช้เปลือกข้าวโพดเป็นแหล่งคาร์บอนเลี้ยงเป็นเวลา 2 วัน

#### 4.10 ระยะเวลาการบ่มเชื้อกับการสร้างอะซีทิลเอสเทอร์สเมื่อใช้อินทรีย์ไนโตรเจนที่เหมาะสมเปรียบเทียบกับพอลิเพปไทด์

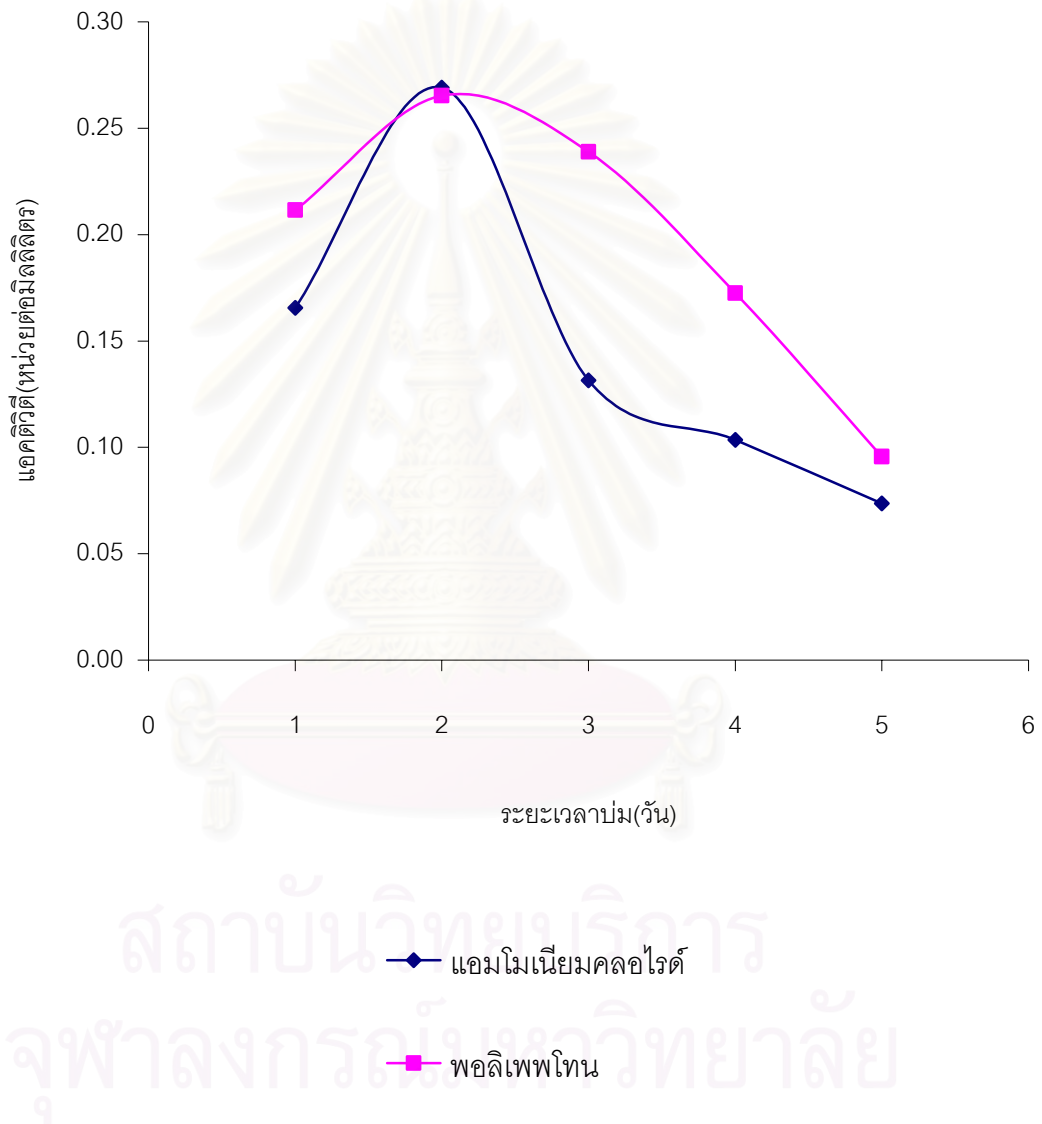
จากผลการทดลองข้อ 4.9 พบว่าเมื่อใช้ 1 เปอร์เซ็นต์ ไชแลนจากไม้เบิร์ชเป็นแหล่งคาร์บอน อินทรีย์ไนโตรเจนที่เหมาะสมต่อการสร้างอะซีทิลเอสเทอร์สคือ  $(\text{NH}_4)_2\text{HPO}_4$  ซึ่งมีความเข้มข้นเทียบเท่ากับไนโตรเจน 0.05 เปอร์เซ็นต์ และเมื่อใช้เปลือกข้าวโพด 1.5 เปอร์เซ็นต์ เป็นแหล่งคาร์บอน อินทรีย์ไนโตรเจนที่เหมาะสมต่อการสร้างอะซีทิลเอสเทอร์สคือ  $\text{NH}_4\text{Cl}$  ที่มีความเข้มข้นเทียบเท่ากับไนโตรเจน 0.075 เปอร์เซ็นต์ การทดลองนี้ได้ทำการแปรระยะเวลาการบ่มเชื้อ เพื่อหาช่วงเวลาที่เหมาะสมในการสร้างอะซีทิลเอสเทอร์ส โดยเลี้ยงเป็นระยะเวลา 1 ถึง 5 วัน ผลการทดลองในรูปแบบที่ 4.15 พบว่าเมื่อมีไชแลนเป็นแหล่งคาร์บอนระยะเวลาที่เหมาะสมในการเลี้ยงที่ให้แอกติวิตีของเอนไซม์สูงสุดคือ 3 วัน ทั้งกรณีที่ใช้พอลิเพปไทด์ หรือ  $(\text{NH}_4)_2\text{HPO}_4$  เป็นแหล่งไนโตรเจนส่วนผลการทดลองในรูปแบบที่ 4.16 พบว่าเมื่อใช้เปลือกข้าวโพดเป็นแหล่งคาร์บอนระยะเวลาเลี้ยงเชื้อที่เหมาะสมในการผลิตเอนไซม์คือ 2 วัน ทั้งกรณีที่ใช้อินทรีย์หรืออินทรีย์ไนโตรเจน



◆ ไดแอมโมเนียมไฮโดรเจนฟอสเฟต

■ พอลิเพปไทด์

รูปที่ 4.15 ผลของระยะเวลาบ่มต่อการผลิตอะซีทิลเอสเทอร์เมื่อมีไซลเลนจากไม้เบิร์ช 1% เป็นแหล่งคาร์บอนและ  $(\text{NH}_4)_2\text{HPO}_4$  เป็นแหล่งไนโตรเจนที่ความเข้มข้นไนโตรเจน 0.05%



รูปที่ 4.16 ผลของระยะเวลาบ่มเชื้อต่อการผลิตอะซีทิลเอสเทอเรสเมื่อมีไซแลนจาก เปลือกข้าวโพด 1.5% เป็นแหล่งคาร์บอนและ  $\text{NH}_4\text{Cl}$  เป็นแหล่งไนโตรเจน ที่ความเข้มข้นไนโตรเจน 0.075%

#### 4.11 ผลของความเป็นกรดต่างเริ่มต้นของอาหารเลี้ยงเชื้อ ต่อการสร้างอะซีทิลเอสเทอร์

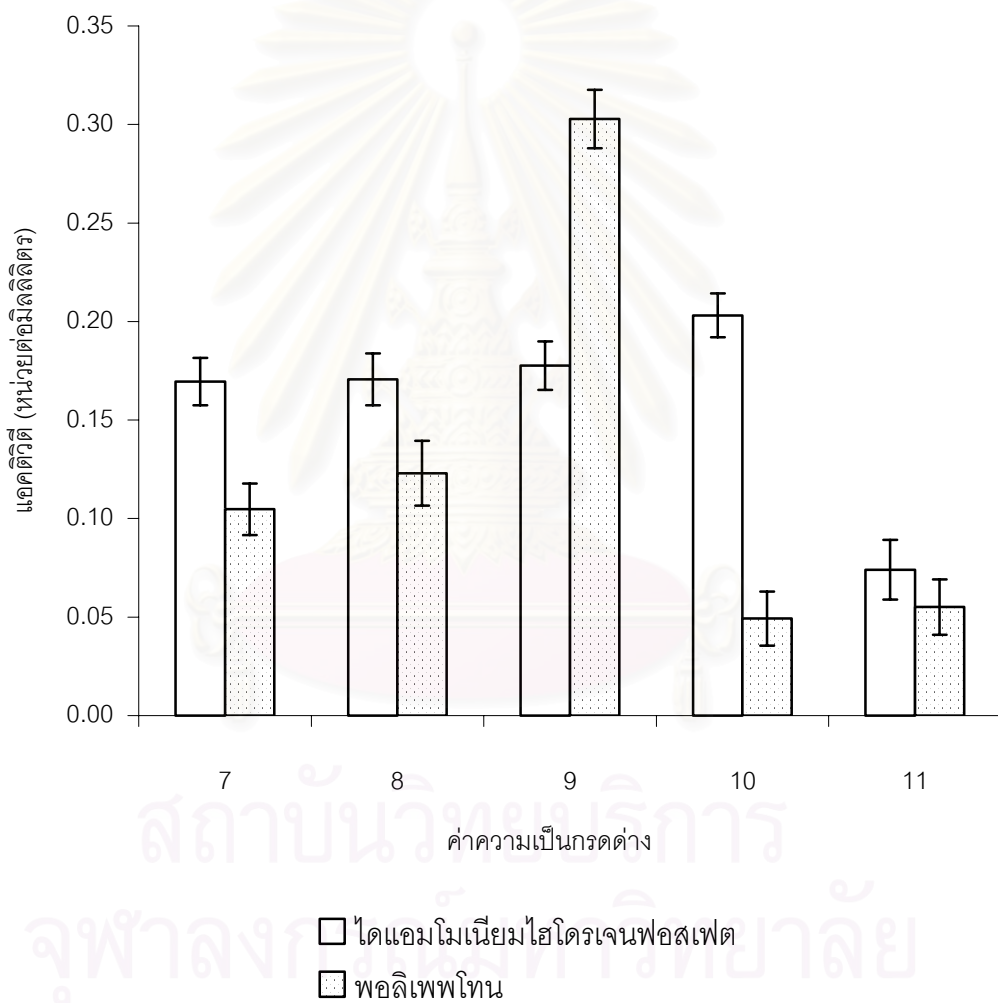
เลี้ยงเชื้อในอาหารเลี้ยงเชื้อที่มีแหล่งคาร์บอนร่วมกับแหล่งไนโตรเจนและอนินทรีย์ไนโตรเจนตามข้อมูลที่ได้ในการทดลองข้อ 4.10 มี 4 ชุดดังแสดงรายละเอียดในตารางที่ 4.2 แล้วแปรระดับความเป็นกรดต่างเริ่มต้นของอาหารเลี้ยงเชื้อในช่วง 7.0-11.0

ตารางที่ 4.2 แหล่งคาร์บอนและแหล่งไนโตรเจนของอาหารเลี้ยงเชื้อ 4 ชุดที่ใช้ในการแปรความเป็นกรดต่างเริ่มต้นของอาหารเลี้ยงเชื้อในช่วง 7.0-11.0 และปริมาณเอนไซม์ที่สร้างขึ้นที่ค่าความเป็นกรดต่างที่เหมาะสม

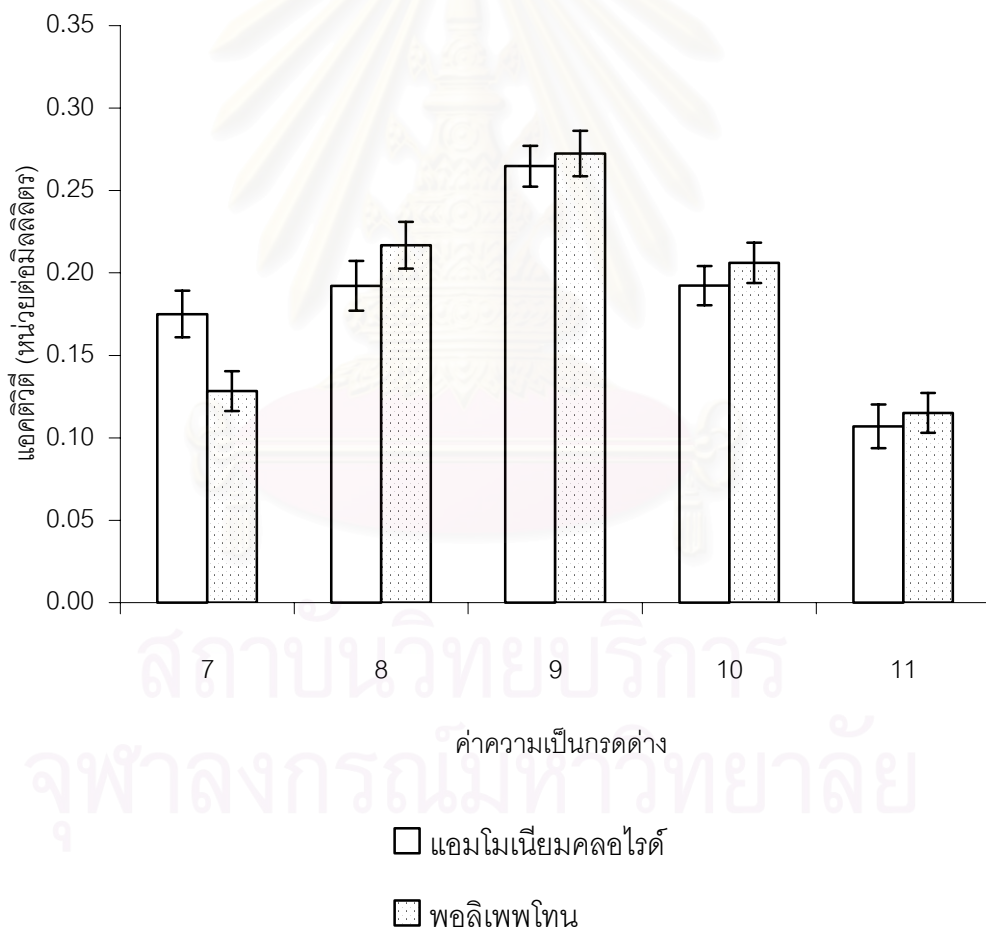
ชุดที่	แหล่งคาร์บอน	แหล่งไนโตรเจน	อะซีทิลเอสเทอร์ที่ ค่า pH ที่เหมาะสม (หน่วย/มล.)
1	ไซแลนจาก ไม้เบิร์ช (1%)	พอลิเพปไทด์ (0.05% N)	0.30 (pH 9)
2	ไซแลนจาก ไม้เบิร์ช (1%)	(NH <sub>4</sub> ) <sub>2</sub> HPO <sub>4</sub> (0.05% N)	0.20 (pH 10)
3	เปลือกข้าวโพด (1.5 %)	พอลิเพปไทด์ (0.05% N)	0.30 (pH 9)
4	เปลือกข้าวโพด (1.5 %)	NH <sub>4</sub> Cl (0.075% N)	0.27 (pH 9)

ผลการทดลองพบว่าค่า pH เริ่มต้นที่เหมาะสมของอาหารเลี้ยงเชื้อที่มีแหล่งคาร์บอนและไนโตรเจนชุดที่ 1 อยู่ที่ 9 (รูปที่ 4.17) เช่นเดียวกับ ชุดที่ 3 และ 4 (รูปที่ 4.18) ส่วนแหล่งคาร์บอนและไนโตรเจนชุดที่ 2 มีค่า pH เริ่มต้นของอาหารเลี้ยงเชื้อที่เหมาะสมค่อนข้างสูงคือ 10 ซึ่งได้สรุปปริมาณเอนไซม์ที่สร้างขึ้นในอาหารเลี้ยงเชื้อที่ค่า pH เริ่มต้นที่เหมาะสมในตารางที่ 4.2





รูปที่ 4.17 ผลของความเป็นกรดต่างเริ่มต้นของอาหารเลี้ยงเชื้อต่อการสร้างอะซีทิลเอสเทอร์ส เมื่อใช้ไซแลนจากไม้เบิร์ช 1% เป็นแหล่งคาร์บอนเลี้ยงเป็นเวลา 3 วัน



รูปที่ 4.18 ผลของความเป็นกรดต่างเริ่มต้นของอาหารเลี้ยงเชื้อต่อการสร้างอะซีทิลเอสเทอร์ส เมื่อใช้เปลือกข้าวโพด 1.5% เป็นแหล่งคาร์บอนเลี้ยงเป็นเวลา 2 วัน

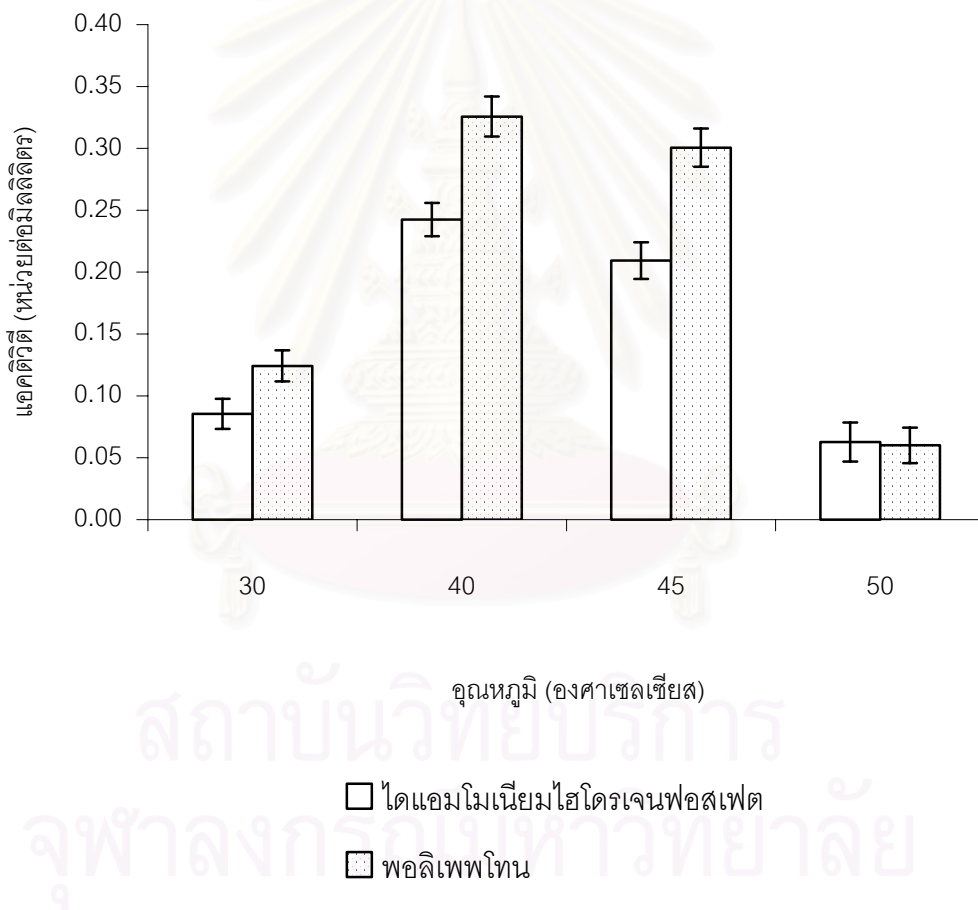
#### 4.12 ผลของอุณหภูมิในการเพาะเลี้ยง *Streptomyces* sp. PC22 ต่อการสร้างอะซีทิลเอสเทอร์

นำภาวะที่เหมาะสมจากผลการทดลองในข้อ 4.11 มาเลี้ยงเชื้อดังแสดงรายละเอียดในตารางที่ 4.3 แล้วแปรอุณหภูมิบ่มเชื้อในช่วง 30 ถึง 50 องศาเซลเซียส

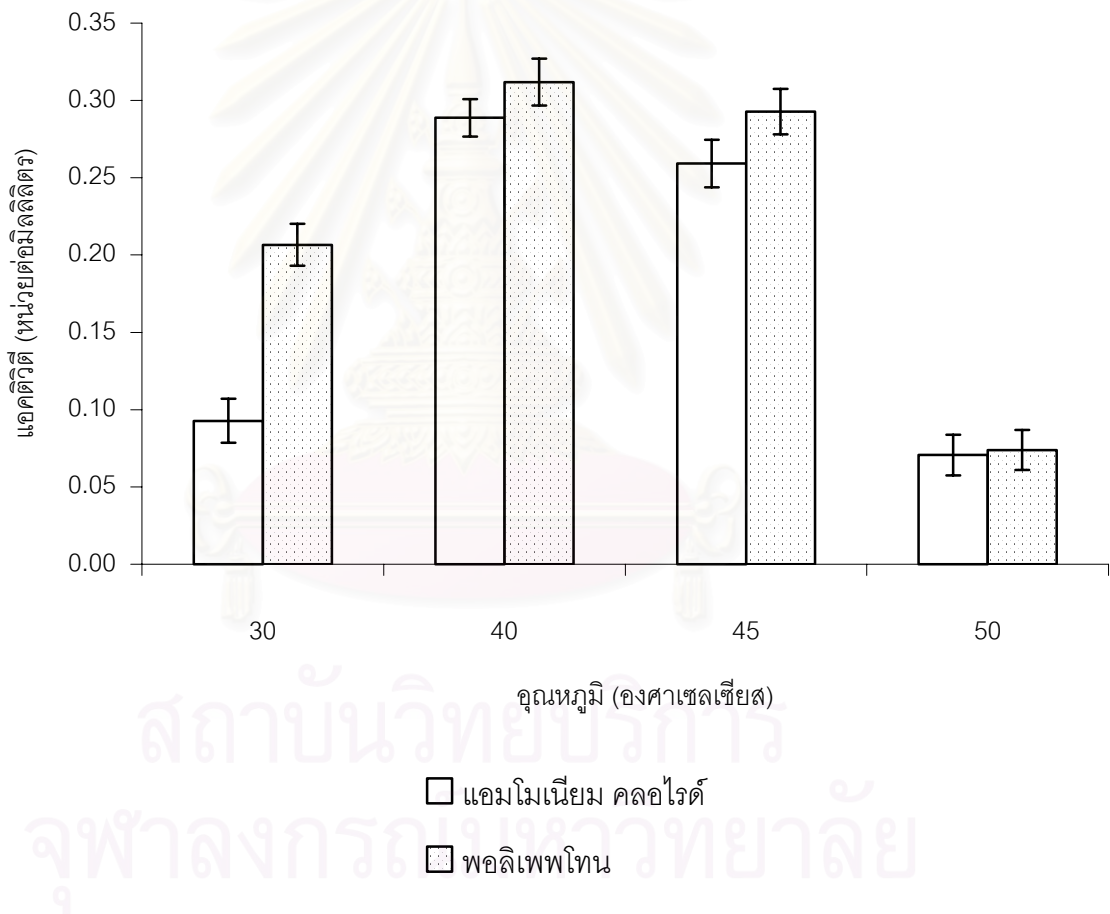
ตารางที่ 4.3 ชุดองค์ประกอบหลักของอาหารเลี้ยงเชื้อ และภาวะที่ใช้ในการเลี้ยงเชื้อ เพื่อการสร้างอะซีทิลเอสเทอร์ภายใต้ภาวะการแปรอุณหภูมิบ่มเชื้อที่ 30-50 องศาเซลเซียสและปริมาณเอนไซม์ที่สร้างขึ้นที่อุณหภูมิบ่มเชื้อ 40 องศาเซลเซียส

ชุดที่	แหล่งคาร์บอน	แหล่งไนโตรเจน	ระยะเวลาการบ่ม (วัน)	ค่าความเป็นกรดต่างเริ่มต้นของอาหารเลี้ยงเชื้อ	อะซีทิลเอสเทอร์จากการบ่มที่ 40 องศาเซลเซียส (หน่วย/มล.)
1	ไซแลนจากไม้เบิร์ช (1%)	พอลิเพปไทด์ (0.05% N)	3	9	0.33
2	ไซแลนจากไม้เบิร์ช (1%)	(NH <sub>4</sub> ) <sub>2</sub> HPO <sub>4</sub> (0.05% N)	3	10	0.24
3	เปลือกข้าวโพด (1.5 %)	พอลิเพปไทด์ (0.05% N)	2	9	0.31
4	เปลือกข้าวโพด (1.5 %)	NH <sub>4</sub> Cl (0.075% N)	2	9	0.29

ผลการทดลองดังแสดงในรูปที่ 4.19 และ 4.20 พบว่าทุกชุดการทดลองมีค่าอุณหภูมิบ่มเชื้อที่เหมาะสมซึ่งให้แอกติวิตีของเอนไซม์สูงสุดอยู่ที่ 40 องศาเซลเซียส โดยมีปริมาณเอนไซม์สูงสุดดังแสดงในตารางที่ 4.3



รูปที่ 4.19 ผลอุณหภูมิต่อการสร้างอะซีทิลเอสเทอร์ในอาหารที่มีไขมันจากไม้เบิร์ช 1% เป็นแหล่งคาร์บอนมีค่าความเป็นกรดต่างเริ่มต้นที่เหมาะสมเลี้ยงเป็นเวลา 3 วัน



รูปที่ 4.20 ผลอุณหภูมิต่อการสร้างอะซีทิลเอสเทอร์ในอาหารที่มีเปลือกข้าวโพด 1.5% เป็นแหล่งคาร์บอนมีค่าความเป็นกรดต่างเริ่มต้นที่เหมาะสม เลี้ยงเป็นเวลา 2 วัน

#### 4.13 ศึกษาสมบัติบางประการของอะซีทิลเอสเทอร์

นำอะซีทิลเอสเทอร์ที่ได้จากการเลี้ยง *Streptomyces* sp. PC 22 ภายใต้สภาวะที่เหมาะสมจากข้อ 4.12 โดยมีไซแลนจากไม้เบิร์ช 1 เปอร์เซ็นต์เป็นแหล่งคาร์บอน แหล่งไนโตรเจนคือ พอลิเพปไทด์ ซึ่งมีความเข้มข้นเทียบเท่ากับไนโตรเจน 0.05 เปอร์เซ็นต์ และผ่านการเตรียมให้เข้มข้นตามวิธีการในบทที่ 2 ข้อ 2.5 มาศึกษาสมบัติเบื้องต้นดังนี้

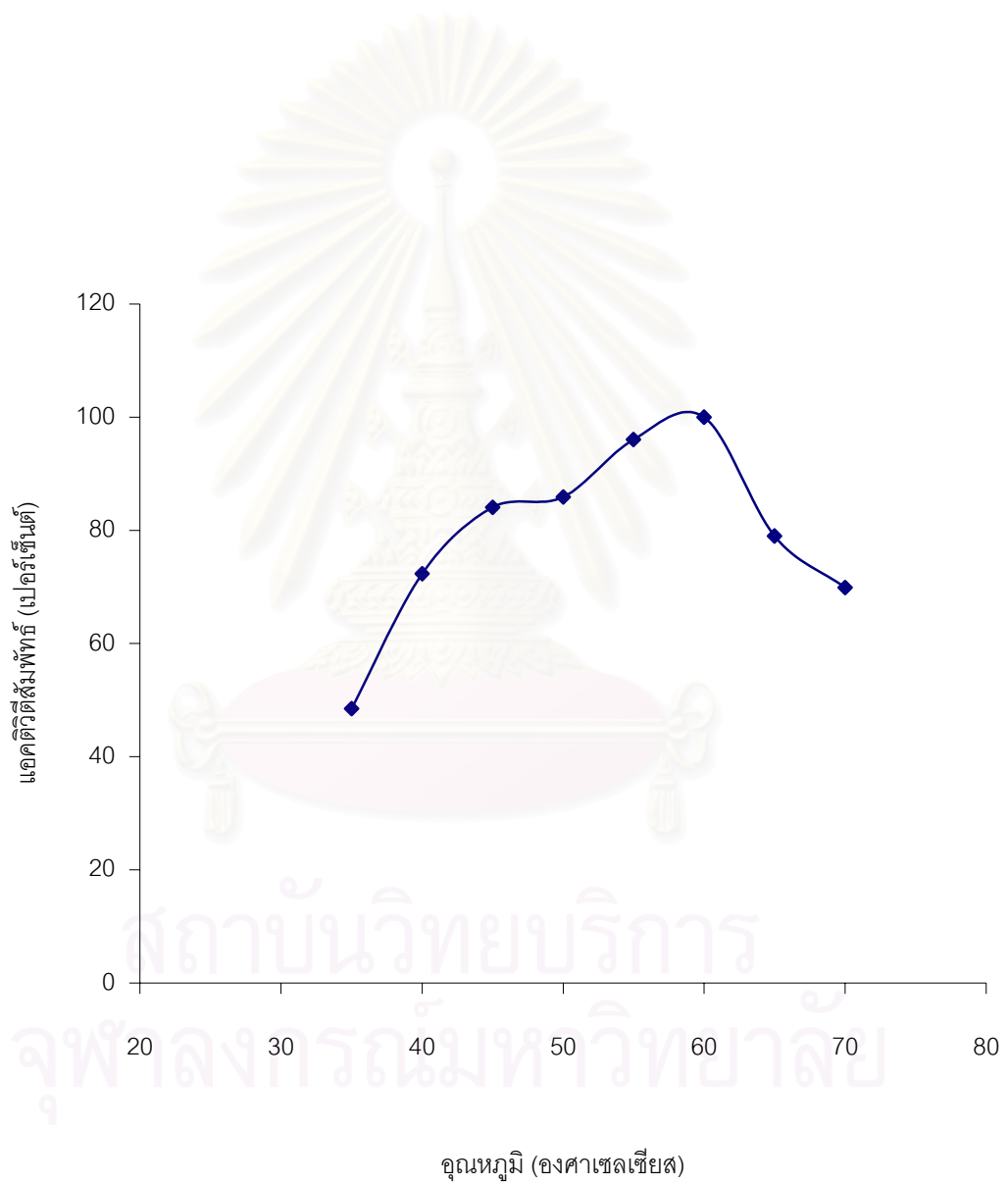
##### 4.13.1 ภาวะที่เหมาะสมต่อการทำงานของอะซีทิลเอสเทอร์

###### 4.13.1.1 อุณหภูมิที่เหมาะสมต่อการทำงานของอะซีทิลเอสเทอร์

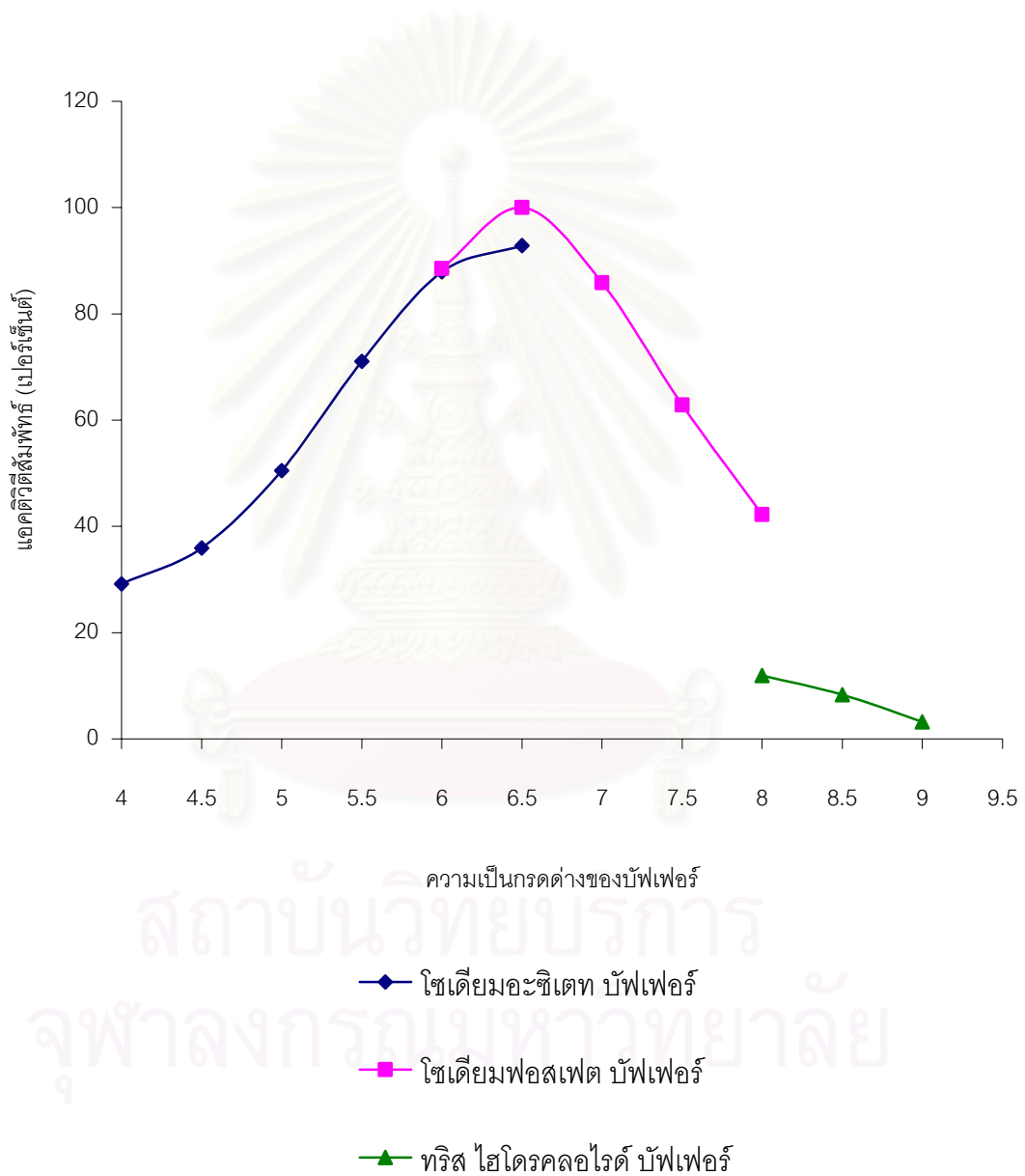
จากการศึกษาผลของอุณหภูมิต่อการทำงานของอะซีทิลเอสเทอร์ โดยแปรอุณหภูมิที่ใช้ในการทำปฏิกิริยาตั้งแต่ 35-70 องศาเซลเซียส พบว่าอุณหภูมิที่เหมาะสมต่อการทำงานของเอนไซม์ คือ 60 องศาเซลเซียส ดังแสดงในรูปที่ 4.21 ดังนั้นในการวิเคราะห์แอกติวิตีครั้งต่อไปจะบ่มปฏิกิริยาที่อุณหภูมิ 60 องศาเซลเซียส

###### 4.13.1.2 ผลความเป็นกรดต่างของบัฟเฟอร์ต่อการทำงานของอะซีทิลเอสเทอร์

จากการศึกษาผลของความเป็นกรดต่างต่อการทำงานของอะซีทิลเอสเทอร์ ในบัฟเฟอร์ที่แปรความเป็นกรดต่างในช่วง 4.0-9.0 ผลการทดลองดังแสดงในรูปที่ 4.22 พบว่าเอนไซม์สามารถทำงานได้ดีในช่วง pH 6.0-7.0 โดยที่ pH 6.5 เป็นค่าที่เหมาะสมที่สุดในการทำงานของอะซีทิลเอสเทอร์



รูปที่ 4.21 ผลของอุณหภูมิต่อการทำงานของอะซีทิลเอสเทอเรสจาก *Streptomyces* sp. PC22



รูปที่ 4.22 ผลของความเป็นกรดต่างต่อการทำงานของอะซีทิลเอสเทอเรสจาก *Streptomyces* sp.

PC22



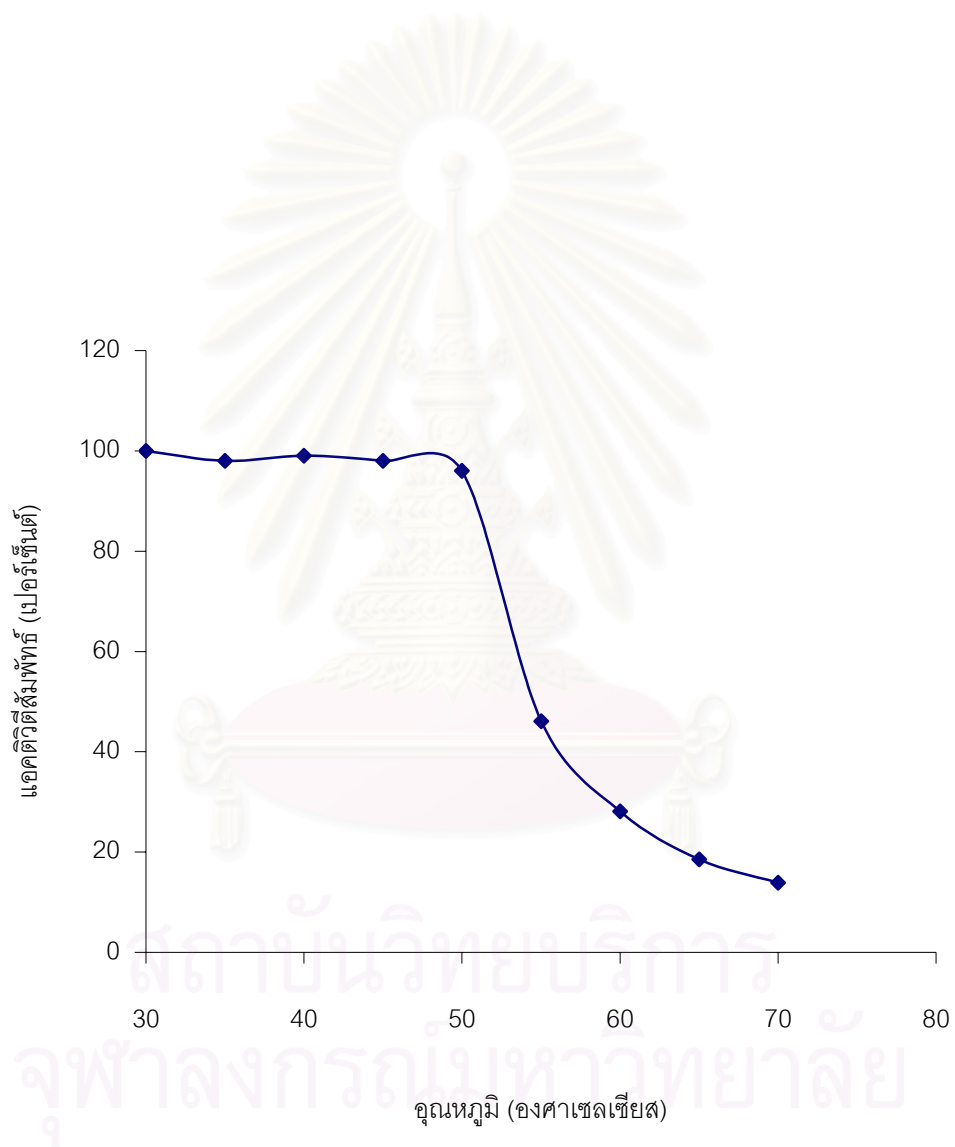
#### 4.13.2 ความเสถียรของอะซีทิลเอสเทอร์

##### 4.13.2.1 ความเสถียรของอะซีทิลเอสเทอร์ต่ออนุมูล

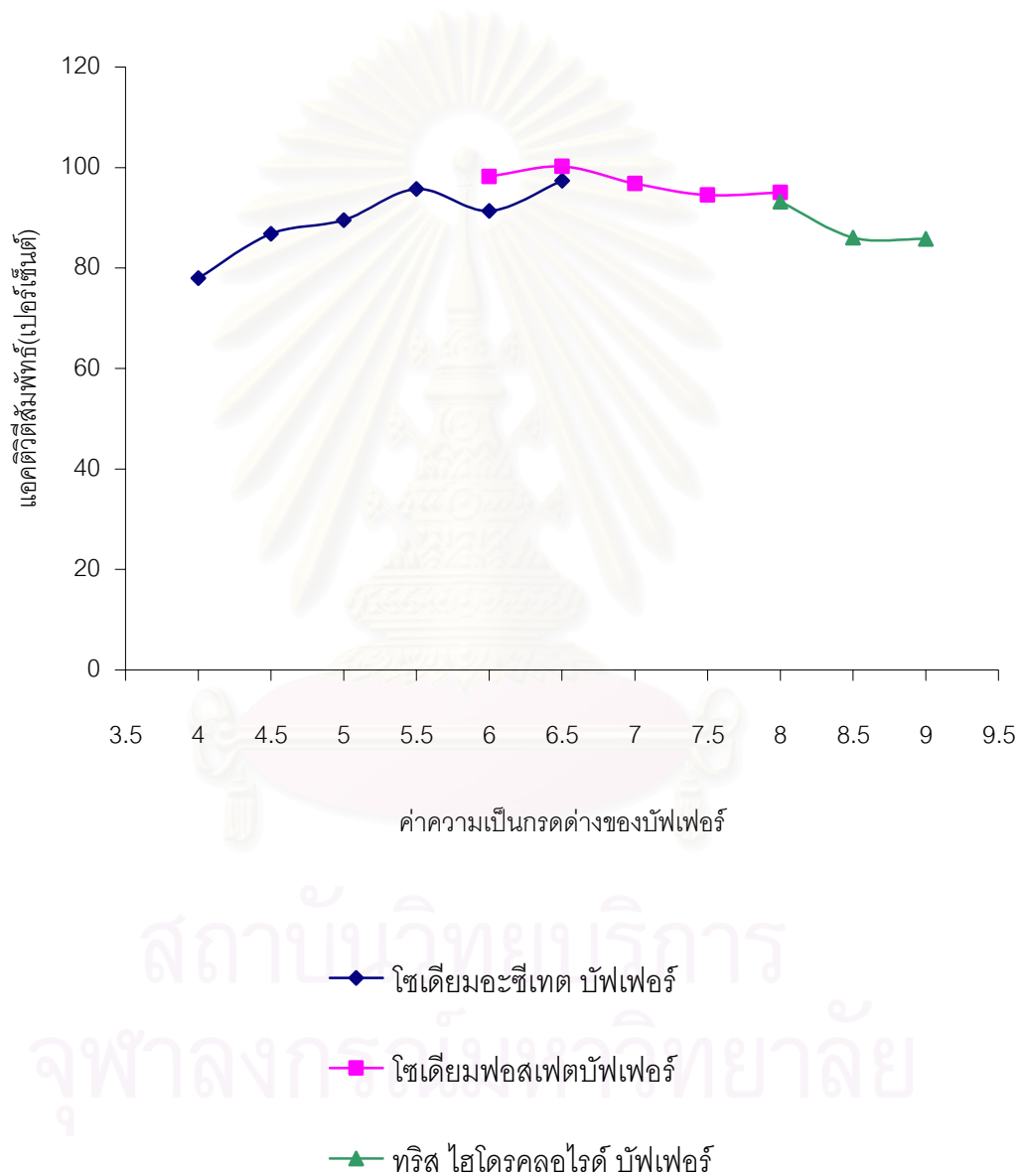
นำอะซีทิลเอสเทอร์มาบ่มที่อุณหภูมิต่างๆ โดยแปรอุณหภูมิในช่วง 35-70 องศาเซลเซียสประมาณ 30 นาที จากนั้นนำไปหาแอกติวิตีที่เหลือภายใต้สภาวะที่เหมาะสม ผลการทดลองดังแสดงในรูปที่ 4.23 พบว่าอะซีทิลเอสเทอร์มีความเสถียรต่ออนุมูลได้สูงถึงประมาณ 50 องศาเซลเซียส และที่อุณหภูมิ 55 องศาเซลเซียส เอนไซม์ยังคงมีแอกติวิตีอยู่สูงถึงประมาณ 50 เปอร์เซ็นต์ จากนั้นเอนไซม์จะสูญเสียแอกติวิตีอย่างรวดเร็ว

##### 3.13.2.2 ความเสถียรของอะซีทิลเอสเทอร์ต่อความเป็นกรดต่าง

เมื่อนำอะซีทิลเอสเทอร์มาบ่มในบัฟเฟอร์ชนิดต่างๆ ที่มีความเป็นกรดต่าง ในช่วง 4.0-9.0 นาน 30 นาที ที่อุณหภูมิ 4 องศาเซลเซียส จากนั้นนำไปหาแอกติวิตีที่เหลือภายใต้สภาวะที่เหมาะสม พบว่า เอนไซม์มีความเสถียรต่อค่าความเป็นกรดต่างในช่วงกว้าง คือตั้งแต่ 4.5-9.0 แต่ที่ค่าความเป็นกรดต่างเท่ากับ 4 จะทำให้เอนไซม์สูญเสียแอกติวิตีมากกว่าค่าความเป็นกรดต่างอื่นๆ ดังแสดงในรูปที่ 4.24



รูปที่ 4.23 ความเสถียรของอะซีทิลเอสเทอร์ต่ออุณหภูมิ โดยให้อะซีทิลเอสเทอร์ที่ไม่ผ่านการบ่มมีแอกติวิตี 100 เปอร์เซ็นต์



รูปที่ 4.24 ความเสถียรของอะซีทิลเอสเทอร์ต่อความเป็นกรดต่าง โดยให้อะซีทิลเอสเทอร์ที่ไม่ผ่านการบ่มมีแอมโมเนียมฟอสเฟต 100 เปอร์เซ็นต์

ตารางที่ 4.4 สมบัติเบื้องต้นของอะซีทิลเอสเทอร์

สมบัติเบื้องต้น	อะซีทิลเอสเทอร์
อุณหภูมิที่เหมาะสมต่อการทำงาน	60 องศาเซลเซียส
ค่าความเป็นกรดด่างที่เหมาะสมต่อการทำงาน	pH 6.5
ความเสถียรต่ออุณหภูมิ	สูงถึง 50 องศาเซลเซียส, เมื่อต้มเป็นเวลา 30 นาที
ความเสถียรต่อความเป็นกรดด่าง	pH 4.0-9.0



สถาบันวิทยบริการ  
จุฬาลงกรณ์มหาวิทยาลัย

## บทที่ 5

### สรุปและวิจารณ์ผลการทดลอง

อะซีทิลเอสเทอร์เป็นเอนไซม์ย่อยสลายหมู่ข้างเคียงของไซแลน ทำให้ไซแลนถูกย่อยสลายได้อย่างง่ายและสมบูรณ์โดยเอนไซม์ย่อยสลายหลัก สามารถนำมาประยุกต์ใช้ในอุตสาหกรรม การฟอกสีเยื่อกระดาษ การผลิตน้ำตาลไซโลส การปรับปรุงคุณภาพอาหารสัตว์ และยังสามารถนำมาประยุกต์ใช้ในการดัดแปลงอะซีทิลออกจากพอลิแซคคาไรด์ชนิดอื่นๆ ด้วย

อะซีทิลเอสเทอร์พบได้ในจุลินทรีย์หลายชนิดส่วนใหญ่สร้างและปลดปล่อยออกนอกเซลล์ เช่น *Streptomyces lividans* (Doupont และคณะ, 1996), *Thermomonospora fusca* (Bachmann และคณะ, 1991) *Candida guilliremondii* (Basaran และ Hang, 2000) แต่ก็มีจุลินทรีย์บางชนิดที่สร้างเอนไซม์เก็บไว้ในเซลล์ เช่น *Caldocellum saccharolyticum* (Luthi และคณะ, 1990) *Thermoanaerobacterium* sp. Strain JW/SL-YS485 (Shao และ Wiegel, 1995) *Orpinomyces* sp. Strain PC-2 (Blum และคณะ, 1999) สำหรับงานวิจัยนี้พบว่า *Streptomyces* sp. PC22 สร้างและปล่อยอะซีทิลเอสเทอร์ออกนอกเซลล์

จากการนำไซแลนชนิดต่างๆ ที่มีขายทางการค้ามาทดลองใช้เป็นแหล่งคาร์บอนในการเลี้ยง *Streptomyces* sp. PC22 และมีพอลิเพปไทด์ซึ่งมีความเข้มข้นเทียบเท่ากับไนโตรเจน 0.05 เปอร์เซ็นต์ (น้ำหนักต่อปริมาตร) เป็นแหล่งไนโตรเจน พบว่าไซแลนจากไม้เบิร์ชที่มีความเข้มข้น 1 เปอร์เซ็นต์ (น้ำหนักต่อปริมาตร) ให้แอกติวิตี 0.33 หน่วยต่อมิลลิลิตรเมื่อเลี้ยงเป็นเวลา 3 วัน ซึ่งสูงกว่าไซแลนจากไม้ปืช และจากเปลือกข้าวโอ๊ต จากตารางที่ 2.1 ในบทที่ 2 พบว่าไม้เบิร์ชและไม้ปืช เป็นไม้เนื้อแข็งทั้งคู่ ซึ่งไซแลนจากไม้เนื้อแข็ง มีหมู่อะซีทิลเป็นองค์ประกอบสูงคือประมาณ 3-4 เปอร์เซ็นต์ ดังนั้นไซแลนจากไม้ทั้ง 2 ชนิดนี้น่าจะมีประสิทธิภาพดีใกล้เคียงกันในการชักนำการสร้างเอนไซม์ แต่ผลการทดลองนี้พบว่าไซแลนจากไม้ปืชให้แอกติวิตีต่ำกว่ามาก จึงเป็นไปได้ว่าไซแลนที่เตรียมจากไม้ปืชอาจผ่านขั้นตอน deacetylation ทั้งนี้จากการสังเกตพบว่าไซแลนจากไม้เบิร์ช แขนงลอยในน้ำได้ดีกว่าไซแลนจากไม้ปืช ดังมีรายงานโดย Beg และคณะ (2001) ว่าไซแลนที่มีหมู่อะซีทิลปริมาณสูงจะแขวนลอยในน้ำได้ดี อย่างไรก็ตามบริษัทผู้ผลิตไม่ได้ระบุปริมาณหมู่อะซีทิลในไซแลนทั้ง 2 ชนิดนี้ ส่วนไซแลนจากเปลือกข้าวโอ๊ต มีรายงานว่าเป็นอะราบินโนไซแลน และมีหมู่อะซีทิลปริมาณต่ำประมาณ 1-2 เปอร์เซ็นต์ (Johnson และคณะ, 1988) ดังนั้นจึงมีประสิทธิภาพต่ำในการชักนำการสร้างอะซีทิลเอสเทอร์

ได้มีรายงานถึงการนำวัสดุทางการเกษตรหลายชนิดสามารถมาใช้เป็นแหล่งคาร์บอนในการสร้างอะซีทิลเอสเทอร์สได้เช่น ชั่งข้าวโพด (Basaran และ Hang, 2000) ไร่ข้าวสาลี (Christov และ Prior, 1993) หรือ ฟางข้าวสาลี (Christakopoulos และคณะ, 1999) งานวิจัยนี้ได้นำวัสดุทางการเกษตร เช่น เปลือกข้าวโพด ชั่งข้าวโพด ไร่ข้าวเจ้า ไร่ข้าวสาลี ฟางข้าว กากเมล็ดฝ้าย และขี้เลื่อย มาใช้เป็นแหล่งคาร์บอนแทนไซแลนจากไม้เบิร์ช เพื่อเป็นการลดต้นทุนในการผลิตเอนไซม์ และเป็นการลดขยะให้แก่สิ่งแวดล้อม ผลการทดลองพบว่าเปลือกข้าวโพดความเข้มข้น 1.5 เปอร์เซ็นต์ (น้ำหนักต่อปริมาตร) ให้แอกติวิตีสูงสุดคือ 0.31 หน่วยต่อมิลลิลิตร เมื่อเลี้ยงเป็นเวลา 2 วัน ดังนั้นจึงคาดว่าไซแลนในเปลือกข้าวโพดมีหมู่อะซีทิลปริมาณสูงเป็นองค์ประกอบ แต่ถ้าหากเพิ่มความเข้มข้นของเปลือกข้าวโพดมากขึ้นกว่านี้ พบว่าแอกติวิตีของอะซีทิลเอสเทอร์สจะลดต่ำลง อาจเนื่องจากเมื่อความเข้มข้นที่เพิ่มสูงขึ้น ทำให้อาหารเลี้ยงเชื้อมีความหนืดเพิ่มขึ้นทำให้การส่งผ่านของอากาศสู่อาหารเลี้ยงเชื้อไม่ทั่วถึง การทดลองที่ผ่านมาใช้พอลิเพปไทด์เป็นแหล่งไนโตรเจน แต่เนื่องจากพอลิเพปไทด์เป็นสารที่มีราคาแพง จึงได้ทดลองใช้อินนทรีย์ไนโตรเจนชนิดต่างๆ มาเป็นแหล่งไนโตรเจนพบว่าเมื่อใช้ไซแลนจากไม้เบิร์ชความเข้มข้น 1 เปอร์เซ็นต์ (น้ำหนักต่อปริมาตร) เป็นแหล่งคาร์บอน อินนทรีย์ไนโตรเจนให้ผลผลิตเอนไซม์สูงคือ  $(\text{NH}_4)_2\text{HPO}_4$  ที่ความเข้มข้นเทียบเท่าเทียบเท่า 0.05 เปอร์เซ็นต์ (น้ำหนักต่อปริมาตร) โดยให้แอกติวิตี 0.24 หน่วยต่อมิลลิลิตร แต่เมื่อใช้เปลือกข้าวโพดเป็นแหล่งคาร์บอน พบว่าอินนทรีย์ไนโตรเจนที่เหมาะสมคือ  $\text{NH}_4\text{Cl}$  ที่ความเข้มข้นเทียบเท่าไนโตรเจน 0.075 เปอร์เซ็นต์ (น้ำหนักต่อปริมาตร) โดยให้ผลผลิต 0.29 หน่วยต่อมิลลิลิตร ค่าความเป็นกรดต่างเริ่มต้นของอาหารเลี้ยงเชื้อที่เหมาะสมส่วนใหญ่ยังคงเดิมคือที่ 9.0 ยกเว้นเมื่อมีแหล่งคาร์บอนคือไม้เบิร์ชความเข้มข้น 1 เปอร์เซ็นต์ และแหล่งไนโตรเจนคือ  $(\text{NH}_4)_2\text{HPO}_4$  มีค่าความเป็นกรดต่างที่เหมาะสมเปลี่ยนไปเป็น 10.0 อาจเนื่องจาก  $\text{HPO}_4^{2-}$  มีค่า pK3 เท่ากับ 12.38 (Voet และ Vote, 1995) ดังนั้นจึงต้องการค่าความเป็นกรดต่างสูง เพื่อให้การแตกตัวของอซิออนเกิดขึ้นได้ดีแต่อย่างไรก็ตามพบว่าเมื่อเพิ่มค่าความเป็นกรดต่างของอาหารเลี้ยงเชื้อเป็น 11.0 การสร้างเอนไซม์กลับลดลง (รูปที่ 4.17) ทั้งนี้เนื่องจาก *Streptomyces* sp. PC22 เจริญได้ไม่ดีที่ค่าความเป็นกรดต่างสูงกว่า 10.0

ตารางที่ 5.1 ได้แสดงเปรียบเทียบปริมาณอะซีทิลเอสเทอร์สที่สร้างโดย *Streptomyces* sp. PC22 กับจุลินทรีย์อื่นๆ ที่เลี้ยงในภาวะที่เหมาะสม จากข้อมูลในตาราง พบว่า *Streptomyces* sp. PC22 สามารถผลิตอะซีทิลเอสเทอร์สในปริมาณสูงเมื่อเปรียบเทียบกับ จุลินทรีย์ชนิดอื่นๆ และยังใช้ระยะเวลาเลี้ยงเชื้อค่อนข้างสั้น นอกจากนั้นการใช้เปลือกข้าวโพด และ  $\text{NH}_4\text{Cl}$  ซึ่งเป็นแหล่งคาร์บอน และแหล่งไนโตรเจนราคาถูก ที่หาได้ง่ายให้ผลผลิตใกล้เคียงกับการใช้ไซแลน

ร่วมกับพอลิเพปไทด์ซึ่งมีราคาแพง ดังนั้นถ้ามีการผลิตเอนไซม์นี้ในระดับอุตสาหกรรมก็จะสามารถทำได้โดยใช้ต้นทุนการผลิตต่ำ

จากการเปรียบเทียบสมบัติของอะซีทิลเอสเทอร์เอสที่ผลิตโดย *Streptomyces* sp. PC22 กับของจุลินทรีย์ชนิดอื่นๆ ที่มีผู้รายงานไว้ดังแสดงในตารางที่ 5.2 พบว่าอะซีทิลเอสเทอร์เอสจาก *Streptomyces* sp. PC22 มีสมบัติค่อนข้างดีกว่าจากจุลินทรีย์อื่นๆ หลายชนิด เพราะทำงานได้ดีที่อุณหภูมิสูงและที่ค่าความเป็นกรดต่างค่อนข้างสูง และแม้ที่ 70 องศาเซลเซียสหรือที่ค่าความเป็นกรดต่างเท่ากับ 8 ก็ยังคงมีแอกติวิตีอยู่ในเกณฑ์สูง (รูปที่ 4.21 และ 4.22)

ผลการศึกษานี้ พบว่าการผลิตอะซีทิลเอสเทอร์เอสจาก *Streptomyces* sp. PC22 สามารถใช้วัสดุทางการเกษตรคือ เปลือกข้าวโพดมาใช้เป็นแหล่งคาร์บอนทดแทนไซแลนทางการค้าได้ และสามารถใช้  $\text{NH}_4\text{Cl}$  เป็นแหล่งไนโตรเจนได้ โดยภาวะที่เหมาะสมในการผลิตคือ อุณหภูมิ 40 องศาเซลเซียส และค่าความเป็นกรดต่างของอาหารเลี้ยงเชื้อเริ่มต้น 9.0 ใช้ระยะเวลาในการเลี้ยงเชื้อเพียง 2 วัน



สถาบันวิทยบริการ  
จุฬาลงกรณ์มหาวิทยาลัย

ตารางที่ 5.1 ชนิดของจุลินทรีย์ แหล่งคาร์บอน แหล่งไนโตรเจนและระยะเวลาการเลี้ยงปริมาณอะซีทิลเอสเทอร์

จุลินทรีย์	แหล่งคาร์บอน	แหล่งไนโตรเจน	อุณหภูมิ (°C)	pH	ระยะเวลาการ บ่ม (วัน)	แอกติวิตี (หน่วยต่อ มิลลิลิตร)	เอกสารอ้างอิง
<i>Streptomyces</i> sp. PC22	ไซแลนจาก ไม้เบิร์ช (1%)	พอลิเพปไทด์ (0.05 % N)	40	9.0	3	0.33	งานวิจัยนี้
	ไซแลนจาก ไม้เบิร์ช (1%)	(NH <sub>4</sub> ) <sub>2</sub> HPO <sub>4</sub> (0.05 % N)	40	10.0	3	0.24	
	เปลือกข้าวโพด (1.5 %)	พอลิเพปไทด์ (0.05 % N)	40	9.0	2 วัน	0.31	
	เปลือกข้าวโพด (1.5 %)	NH <sub>4</sub> Cl (0.075 % N)	40	9.0	2 วัน	0.29	
<i>Fusarium</i> <i>oxysporum</i>	ซังข้าวโพด (3%)	(NH <sub>4</sub> ) <sub>3</sub> PO <sub>4</sub> (0.1%)	30	9.0	5 วัน	0.71	Christakopoul os และคณะ ,1999
<i>Bacillus pumilus</i>	ซังข้าวโพด (0.5%)	-	37	7.0	40 ชม.	0.1	Degrassi และ คณะ, 1998



ตารางที่ 5.1 (ต่อ) ชนิดของจุลินทรีย์ แหล่งคาร์บอน แหล่งไนโตรเจนและระยะเวลาการเลี้ยงปริมาณอะซีทิลเอสเทอร์

จุลินทรีย์	แหล่งคาร์บอน	แหล่งไนโตรเจน	อุณหภูมิ (°C)	pH	ระยะเวลาการ บ่ม (วัน)	แอกติวิตี (หน่วยต่อ มิลลิลิตร)	เอกสารอ้างอิง
<i>Termitomyces clypeatus</i>	ไซแลนจากไม้เบิร์ช (1%)+ เซลลูโลสอะซีเทต (0.1%)	สารสกัดจากยีสต์ (0.5%)	-	-	6	1.64	Mukhopadhyay และคณะ, 1997
<i>Streptomyces</i> C-248	รำข้าวสาลี (1%)	-	37	-	3	0.02	Christov และ Prior ,1993
<i>Streptomyces</i> C-254	รำข้าวสาลี (1%)	-	37	-	3	0.14	Christov และ Prior, 1993
<i>Streptomyces flavogriseus</i> 45-CD	รำข้าวสาลี (1%)	-	37	-	3	0.08	Christov และ Prior, 1993
<i>Aspergillus awamori</i> VTT- D-75028	รำข้าวสาลี (3%)	-	30	5.0	4	0.18	Christov และ Prior ,1993

ตารางที่ 5.1 (ต่อ) ชนิดของจุลินทรีย์ แหล่งคาร์บอน แหล่งไนโตรเจนและระยะเวลาการเลี้ยงปริมาณอะซีทิลเอสเทอร์

จุลินทรีย์	แหล่งคาร์บอน	แหล่งไนโตรเจน	อุณหภูมิ(°ซ)	pH	ระยะเวลาการบ่ม (วัน)	แอกติวิตี (หน่วยต่อมิลลิลิตร)	เอกสารอ้างอิง
<i>Rodotorula mucilaginosa</i> NRC 21 1003	Triacetin (1%)	-	30	5.5	5 วัน	0.003	Christov และ Prior,1993
<i>Streptomyces</i> C-248	รำข้าวสาลี (1%)	-	37	-	3	0.02	Christov และ Prior,1993
<i>Thermomonospora fusca</i>	ไซแลนจากเปลือกข้าวโอ๊ต (0.2%)	สารสกัดจากยีสต์ (0.1%)	50	-	80 ชม.	< 0.1	Bachmann และMccarthy, 1991
<i>Trichoderma reesei</i> QM 91414	larchwood(0.9%) +cellulose(0.1%)	ยูเรีย (0.15%)	30	-	6	0.4	Biely และSchneider,1988
<i>Trichoderma reesei</i> RUT-C30	larchwood(0.9%) +cellulose(0.1%)	ยูเรีย (0.15%)	30	-	5	0.367	Biely และ Schneider,1988
<i>Schizophyllum commune</i>	cellulose (1%)	ยูเรีย (0.15%)	30	-	11	0.35	Biely และ Schneider,1988

หมายเหตุ : - คือไม่ระบุ

ตารางที่ 5.2 สมบัติของอะซีทิลเอสเทอร์ จาก *Streptomyces* sp. PC22 เปรียบเทียบกับจุลินทรีย์อื่นๆ

สายพันธุ์จุลินทรีย์	อุณหภูมิที่เหมาะสม (°ซ)	ความเสถียรต่ออุณหภูมิ (°ซ)	ความเป็นกรดต่างที่เหมาะสม	ความเสถียรต่อความเป็นกรดต่าง	เอกสารอ้างอิง
<i>Streptomyces</i> sp. PC22	60	50, 30 นาที	6.5	4.0-9.0	จากการทดลอง
<i>Aspergillus aculeatus</i>	40	50, 20 ชม.	5.5	6.0-7.0	Leeuwen และคณะ, 1992
<i>A. awamori</i>	37	50, 1 ชม..	6.0-7.0	7.0-9.0	Koseki และคณะ, 2005
<i>A. clavatus</i>	37	--	6.5	-	Linden และคณะ, 1994
<i>A. japonicus</i>	37	-	6.5	-	Linden และคณะ, 1994
<i>A. nidulans</i>	37	-	6.5	-	Linden และคณะ, 1994
<i>A. niger</i>	37	-	6.5	-	Linden และคณะ, 1994
<i>A. versicolor</i>	37	-	6.5	-	Linden และคณะ, 1994
<i>Bacillus pumilus</i>	45	50, 1 ชม.	8.5	8.0-9.0	Degrassi และคณะ, 2000
<i>Candida Guilliermondii</i>	60	20-60 , 12 ชม.	7.5	5.8-8.0	Basaran และ Hang, 2000
<i>Caldocellum saccharolyticum</i>	70	-	6.0	-	Luthi และคณะ, 1990
<i>Clostridium cellulovorans</i>	50	30, 12 ชม.	6.0	3.0-7.0	Kosugi และคณะ, 2002
<i>Fusarium oxysporum</i>	55	-	6.5	-	Christakopoulos และคณะ, 1999

ตารางที่ 5.2 (ต่อ) สมบัติของอะซีทิลเอสเทอร์ส จาก *Streptomyces* sp. PC22 เปรียบเทียบกับจุลินทรีย์อื่นๆ

สายพันธุ์จุลินทรีย์	อุณหภูมิที่เหมาะสม (°ซ)	ความเสถียรต่ออุณหภูมิ (°ซ)	ความเป็นกรดต่างที่เหมาะสม	ความเสถียรต่อความเป็นกรดต่าง	เอกสารอ้างอิง
<i>Orpinomyces</i> sp.	30	-	9.0	-	Blum และคณะ, 1999
<i>Schizophyllum commune</i>	30	37,30 นาที	6.5	4.5-9	Linden และคณะ, 1994
<i>Streptomyces flavogriseus</i>	50	-	6.0	-	Linden และคณะ, 1994
<i>S. lividans</i>	70	72, 15 นาที	5.5-8.5	-	Dupont และคณะ, 1996
<i>S. olivochromigenes</i>	50	-	6.0	-	Linden และคณะ, 1994
<i>Termitomyces clypeatus</i>	50	50 , 1 ชม.	6.5	4.5-8	Mukhopadhyay และคณะ, 1997
<i>Thermoanaerobacterium</i> sp.	84	50-60,1 ชม.	7.5	8.0-9.0	Shao และ Wiegel, 1995
<i>Trichoderma reesei</i>	30	-	6.5	-	Linden และคณะ, 1994

หมายเหตุ : - คือไม่ระบุ

## รายการอ้างอิง

### ภาษาไทย

- มหาวิทยาลัยเกษตรศาสตร์. 2541. การใช้ประโยชน์ของกากอ้อย. วารสารน้ำตาล. 34 : 4-21.
- สุมาลี อึ้งใจธรรม. 2539. ไซแลเนสและบีตาไซโลซิเดสจาก *Streptomyces* spp. ที่ชอบร้อนและ  
ต่ำ. วิทยานิพนธ์ปริญญาโทมหาบัณฑิต, คณะวิทยาศาสตร์ จุฬาลงกรณ์มหาวิทยาลัย.

### ภาษาอังกฤษ

- Altaner, C., Saak, B., Tenkanen, M., Eyzaguirre, J., Fauld, C. B., Biely, P., Viikari, L., Siika-aho, M., and Puls, J. 2003. Regioselective deacetylation of cellulose acetates by acetyl xylan esterases of different CE- families. J. Biotechnol. 105: 95-104.
- Bachmann, S. L., and Mccarthy, A. J. 1991. Purification and cooperative activity of enzymes constituting the xylan-degrading system of *Thermomonospora fusca*. Appl. Environ. Microbiol. 57(8): 2121-2130.
- Basaran, P., and Hang, Y. D. 2000. Purification and characterization of acetyl esterase from *Candida guilliermondii*. Lett. Appl. Microb. 30: 167-171.
- Beg, O. K., Kapooe, M., Mahajan, L., and Hoondal, G. S. 2001. Microbial xylanases and their industrial applications: a review. Appl. Microbiol. Biotechnol. 56: 326-338.
- Biely, P. 1985. Microbial xylanolytic systems. Trends Biotechnol. 3(11): 286-290.
- Biely, P., Mackenzie, C. R., and Schneider, H. 1988. Production of acetyl xylan esterase by *Trichoderma reesei* and *Schizophyllum commune*. Can. J. Microbiol. 34: 767-772.
- Biely, P., Mastihubova, M., Grange, D. C., Zyl, W. H., and Prior, B. A. 2004. Enzyme-coupled assay of acetylxytan esterases on monoacetylated 4-nitrophenyl  $\beta$ -D-xylopyranosides. Anal. Biochem. 332: 109-115.
- Biely, P., Puls, J., and Schneider, H. 1985. Acetyl xylan esterases in fungal cellulolytic systems. FEBS. Lett. 1861: 80-84.

- Biley, P., Wong, K. K. Y., Suckling, I. D., and Spanikova, S. 2003. Transacetylations to carbohydrates catalyzed by acetyl xylan esterase in the presence of organic solvent. Biochim. Biophys. Acta. 1623: 62-71.
- Blum, D. L., Li, X. L., Chen, H., and Ljungdahl, L. G. 1999. Characterization of an acetyl xylan esterase from the anaerobic fungus *Orpinomyces* sp. Strain PC-2. Appl. Environ. Microbiol. 65(9): 3990-3995.
- Chavez, R., Schachter, K., Navarro, C., Peirano, A., Bull, P., and Eyzaguirre, J. 2004. The acetyl xylan esterase **II** gene from *Penicillium Purpurogenum* is differentially expressed in several carbon sources and tightly regulated by pH. Biol Res. 37: 107-113.
- Christakopoulos, P., Mamma, D., Kekos, D., and Maeris, B. J. 1999. Enhanced acetyl esterase production by *Fusarium oxysporum*. World J. Microbiol Biotechnol. 15: 443-446.
- Christov, P. L., and Prior, B. A. 1993. Esterases of xylan-degrading microorganisms: production properties and significance. Enzyme. Microb. Technol. 15: 460-475
- Clarke, J. L., Rixon, J. E., Ciruela, A., Gilbert, H. J., and Hazlewood, G. P. 1997. Family-10 and Family-11 xylanases differ in their capacity to enhance the bleach ability of hardwood and softwood paper pulps. Appl. Microbiol. Biotechnol. 48: 177-183.
- Dalrymple, B. P., Cybinski, D. H., Layton, I., Mcsweeney, C. S., Xue, G. P., Swadling Y. J. O., and Lowry, J. B. 1997. Three *Neocallimastix patriciarum* esterase associated with the degradation of complex polysaccharides are members of a new family of hydrolases. Microbiology. 143: 2605-2614.
- Degrassi, G., Okeke, B. C., Bruschi, C. V., and Venturi, V. 1998. Purification and characterization of an acetyl xylan esterase from *Bacillus pumilus*. Appl. Environ. Microbiol. 64(2): 789-792.
- Degrassi, G., Kojic, M., Ljubijankie, G., and Venturi, V. 2000. The acetyl xylan esterase of *Bacillus pumilus* belong to a family of esterase with broad substrate specificity. Microbiology. 146: 1585-1591.

- Detroy, R. W., Lindenfelser, L. A., Sommer, S., and Orton, W. L. 1981. Bioconversion of wheat straw to ethanol : chemical modification , enzymatic hydrolysis and fermentation. Biotechnol. Bioeng. 23: 2527-2535.
- Dupont, U., Daigneault, N., Shareck, Fs., Morosoli, R., and Kluepfel, D. 1996. Purification and characterization of an acetyl xylan esterase produced by *Streptomyces lividans*. Biochem J. 319: 881-886.
- Ferreira, L. M. A., Wood, T. M., Williamson, G., Faulds, C., Hazlewood, G. P., Black, G. W., and Gilbert, H. J. 1993. A modular esterase from *Pseudomonas fluorescens* subsp. cellulose contains a non-catalytic cellulose-binding domain. Biochem. J. 294: 349-355.
- Halgasova, N., Kutejova, E., and Timko, J. 1994. Purification and some characteristics of the acetyl xylan esterase from *Schizophyllum commune*. Biochem. J. 298: 751-755.
- Hespell, R. B., and O'Bryan-Shah, P. J. 1988. Esterase activities in *Butyrivibrio fibrisolvens* strains. Appl. Environ. Microbiol. 54(8): 1917-1922.
- Hon, D. N. S., and Shiraishi, N. 1990. Wood and Cellulosic Chemistry. New York: Marcel Dekker.
- Hopwood, D. A., Bibb, M. J., Chater, K. F., Kieser, T., Bruton, C. J., Kieser, H. M., Lydiate, D. J., Smith, C. P., Ward, J. M., and Schrempf, H. 1985. Genetic manipulation of Streptomyces : a laboratory manual. Norwich : The John Innes Foundation.
- Johnson, K. G., Fontana, J. D., and Mackenzie. C. R. 1988. Measurement of acetyl xylan esterase in *Streptomyces*. Methods Enzymol. 160: 551-560.
- Kanauchi, M., and Bamforth, C. W. 2003. Use of Xylose dehydrogenase from *Trichoderma viride* in an enzymic method for the measurement of pentosan in barley. J. Inst. Brew. 109(3): 203-207.
- Kantelinen, A., Rantanen, T., Buchert, J. J., and Viikari, L. 1993. Enzymatic solubilization of fiber-bound and isolated birch xylans. J. Biotechnol. 28: 219-228.

- Kirk, T. K. and Cullen, D. 1998. Enzymology and molecular genetics of wood degradation by white rot fungi. In: Young, R.A. & Akhtar, M. (eds.): Environmentally Friendly Technologies for the Pulp and Paper Industry. New York: John Wiley & Sons.
- Kormerlink, F. J. M., Lefebvre, B. Strozyk, F., and Voragen, A. G. J. 1993. Purification and characterization of an acetyl xylan esterase from *Aspergillus niger*. J. Biotechnol. 27: 267-282.
- Koseki, T., Miwa, Y., Fushinobu, S., and Hashizume, K. 2005. Biochemical characterization of recombinant acetyl xylan esterase from *Aspergillus awamori* expressed in *Pichia pastoris* : mutational analysis of catalytic residues. Biochim. Biophys. 28: 218-225.
- Kusugi, A., Murashima, K., and Doi, R. H. 2002. Xylanase and acetyl xylan esterase activity of Xyn A, a key subunit of the *Clostridium cellulivorans* cellulosome for xylan degradation. Appl. Environ. Microbiol. 68(2): 6399-6402.
- Lee, H., To, R. J. B., Latta, R. K., Biely, P., and Schneider, H. 1987. Some properties of extracellular acetyl xylan esterase produced by the yeast *Rhodotorula muciladinosa*. Appl. Environ Microbiol. 53(12): 2831-2834.
- Leeuwen, M. J. F., Broek, L. A. M., Schols, H. A., Beldman, G., and Voragen., A. G. J. 1992. Rhamnogalacturonan acetyl esterase : a novel enzyme from *Aspergillus aculeatus*, specific for the deacetylation of hairy (ramified) regions of pectins. Appl. Microbiol. Biotechnol. 38: 347-349.
- Linden, J. C., Decker, S. R., and Samara, M. 1994. Role of acetyl esterase in biomass conversion. American Chemical Society. 453-467.
- Lowry, O. H., Rosebrough, N. J., Farr, A. L., and Randall, R. J. 1951. Protein measurement with the folin phenol reagent. J. Biol. Chem. 193: 265-272.
- Luthi, E., Jasmat, N. B., and Bergquist, P. L. 1990. Overproduction of an acetyl xylan esterase from the extreme thermophile. "*Caldocellum Saccharolyticum*" in *Escherichia coli*. Appl. Microbiol. Biotechnol. 34: 214-219.



- Maijala, P. 2000. Heterobasidion annosum and wood decay : Enzymology of cellulose, hemicellulose and lignin degradation. Helsinki: University of Helsinki.
- Mcdermid, K. P., Forsberg, C. W., and Mackenzie, C. R. 1990. Purification and properties of an acetyl xylan esterase from *Fibrobacter Succinogenes* S85. Appl. Environ. Microbiol. 56(12): 3805-3810.
- Mcdermid, K. P., Mackenzie, C. R., and Forsberg, C. W. 1990. Esterase activity of *Fibrobacter succinogenes* subsp. *Succinogenes* S85. Appl. Environ. Microbiol. 56(1): 127-132.
- Mukhopadhyay, A. Hazra, P. P., Sengupta, T., Ghosh, A. K., and Sengupta, S. 1997. Acetyl esterase production by *Termitomyces clypeatus*. Biotechnol. Lett. 19(2): 159-161.
- Poutanen, K., Sunberg, M., Korte, H., and Puls, J. 1990. Deacetylation of xylans by acetyl esterase of *Trichoderma reesei*. Appl Microbiol Biotechnol. 33: 506-510.
- Puls, J., Poutanen, K., and Korner, H. U. Viikari. 1985. Biotechnical utilization of wood carbohydrates after steaming pretreatment. Appl. Microbiol. Biotechnol. 22: 416-423.
- Saddler, J. N. 1993. Bioconversion of forest and agricultural residues. Wallington ford: C.A.B. Internationnal.
- Samara, M. 1992. Master'. Thesis. Colorado State University. U.S.A.
- Saraswat, V., and Bisaria, V. S. 1997. Biosynthesis of xylanolytic and xylan-debranching enzyme in *Melanocarpus albomyces* II S68. J. Ferment. Bioeng. 83(4): 352-357.
- Shao, W., and Wiegel, J. 1995. Purification and characterization of two Thermostable acetyl xylan esterase from *Thermoanaerobacterium* sp. strain SW/SL-YS485. Appl. Environ. Microbiology. 61(2): 729-733.
- Stayermark, A. L. 1951. Microdetermination of nitrogen by the Kjeldahl method. Quantitative Organic Microanalysis. New York: The Blakiston Com.

- Tsao, G. T., and Chiang, L. 1983. Cellulose and hemicellulose technology in Berry, S.D.R., and Kristiansen, B. (eds.). The Filamentous fungi : Fungal Technology. New York: John Wiley and Sons Inc.
- Tsujibo, H., Ohtsuki, T., Iio T., Yamazaki, I., Miyamoto, K., Sugiyama, M., and Inomori, Y. 1997. Cloning and sequence analysis of genes encoding xylanases and acetyl xylan esterase from *Streptomyces thermoviolaceus* OPC-520. Appl. Environ. Microbiol. 63(2): 661-664.
- Uchida, H., Kusakabe, I., Kawabata, Y., Ono, T., and Murakami, K. 1992. Production of xylose from xylan with intracellular enzyme system of *Aspergillus niger* 5-16. J. Ferment. Bioeng. 3(74): 153-158.
- Ungchaithum, S., and Pinphanichakarn, P. 1998. Optimization of xylanase production by *Streptomyces* sp. PC22 growing on agricultural residues. J. Sci. Res. Chula Univ. 23(1): 45-50.
- Voet, D., and Voet, J. D. 1995. Biochemistry. New York: John Wiley and Sons.
- Walker, G. 1998. Yeast Physiology and Biotechnology. Chichester: John Wiley and Sons.
- Williams, A. G., and Withers, S. E. 1981. Hemicellulose-degrading enzymes synthesized by rumen bacteria. J. Appl Bacteriol. 51: 375-385.
- Wong, K. K. Y., Tan, L. U. L., and Saddler, J. N. 1988. Multiplicity of  $\beta$ -1,4-xylanase in microorganisms functions and applications. Microbiol Rev. 52(3): 305-317.



ภาคผนวก

สถาบันวิทยบริการ  
จุฬาลงกรณ์มหาวิทยาลัย

## ภาคผนวก ก

## อาหารเลี้ยงเชื้อ

## 1. Tryptic soy broth (TSB)

Pancreatic digest of casein	17.0	กรัม
Enzymatic digest of soy bean meal	3.0	กรัม
Dextrose	2.5	กรัม
Sodium Chloride	5.0	กรัม
Dipotassium Phosphate	2.5	กรัม
น้ำกลั่น	1	ลิตร
ปรับค่าความเป็นกรดต่างเท่ากับ	9.0	
อบฆ่าเชื้อแบบมาตรฐาน		

## 2. สูตรอาหารข้าวไรท์

วุ้นผง (Agar)	1.8	เปอร์เซ็นต์
แคลเซียมคาร์บอเนต (CaCO <sub>3</sub> )	0.3	เปอร์เซ็นต์
กลูโคส (glucose)	0.2	เปอร์เซ็นต์
สารสกัดจากยีสต์ (yeast extract)	0.1	เปอร์เซ็นต์
สารสกัดจากเนื้อ (beef extract)	0.1	เปอร์เซ็นต์
ปรับค่าความเป็นกรดต่างเท่ากับ	9.0	
อบฆ่าเชื้อแบบมาตรฐาน		

## 3. ไชแลน คอมเพล็กซ์ มีเดียม (xylan complex medium)

ไชแลน (xylan)	0.5	เปอร์เซ็นต์
พอลิเพปไทด์ (polypeptone)	0.5	เปอร์เซ็นต์
สารสกัดจากยีสต์ (yeast extract)	0.1	เปอร์เซ็นต์
ไดโพแทสเซียมไฮโดรเจนฟอสเฟต ( $K_2HPO_4$ )	0.4	เปอร์เซ็นต์
โพแทสเซียมคลอไรด์ (KCl)	0.02	เปอร์เซ็นต์
แมกนีเซียมซัลเฟต ( $MgSO_4 \cdot 7H_2O$ )	0.1	เปอร์เซ็นต์
เฟอร์รัสซัลเฟต ( $FeSO_4 \cdot 7H_2O$ )	0.002	เปอร์เซ็นต์
ปรับค่าความเป็นกรดต่างเท่ากับ	9.0	
อบฆ่าเชื้อแบบมาตรฐาน		

## ภาคผนวก ข

### สารเคมี

#### 1. สารละลายพารา-ไนโตรเฟนิลอะซีเตต (*p*-nitrophenylacetate)

เตรียมโดย ชั่งพารา-ไนโตรเฟนิลอะซีเตต 1.8 มิลลิกรัม ละลายใน 50 เปอร์เซ็นต์เมทานอล ปริมาตร 1 มิลลิลิตร

#### 2. รีเอเจนต์สำหรับวิเคราะห์ปริมาณโปรตีนด้วยวิธี Lowry (1951)

##### 2.1 สารละลาย Lowry A ประกอบด้วย

โซเดียมคาร์บอเนต ( $\text{Na}_2\text{CO}_3$ )	20.0	กรัม
โซเดียมไฮดรอกไซด์ ( $\text{NaOH}$ )	4.0	กรัม
โซเดียมโปแทสเซียมเตตระเตรต (sodium potassium tetratrate)	0.2	กรัม
น้ำกลั่น	1.0	ลิตร

##### 2.2 สารละลาย Lowry B ประกอบด้วย

คอปเปอร์ซัลเฟต ( $\text{CuSO}_4 \cdot 5\text{H}_2\text{O}$ )	2.5	กรัม
น้ำกลั่น	0.5	ลิตร

##### 2.3 สารละลาย Lowry C ประกอบด้วย

สารละลาย Lowry A	50	ส่วน
สารละลาย Lowry B	1	ส่วน

##### 2.4 สารละลายผสม D ประกอบด้วย

โฟลิน-ฟีนิล รีเอเจนต์ (Folin-Phenol Reagent)	1	ส่วน
น้ำกลั่น	1	ส่วน

## ภาคผนวก ค

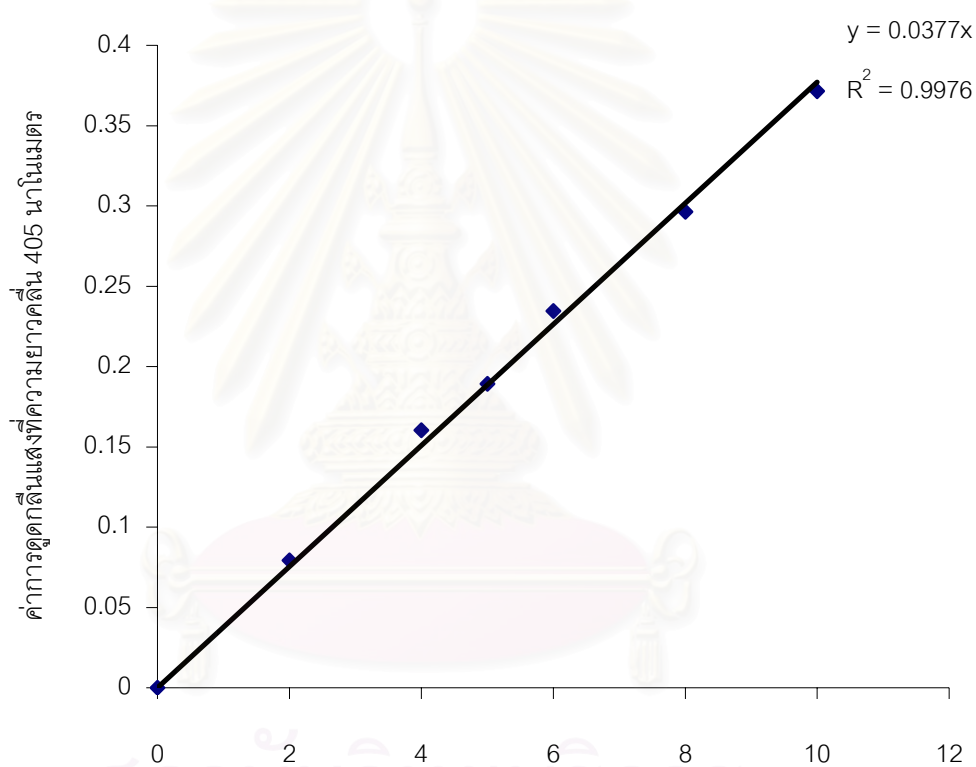
### การนับสปอร์ด้วย Hemacytometer

1. ใช้ไมโครปิเปตที่ปราศจากเชื้อ ดูดสารละลายสปอร์ที่ผ่านการกรอง และอยู่ในกลีเซอรอล 30 เปอร์เซ็นต์ ใส่ลงบนช่องของ hemacytometer ปิดด้วย cover slip ให้เต็มช่องหลังจากนั้นนำมาส่องด้วยกล้องจุลทรรศน์กำลังขยาย 40 เท่า
2. นับสปอร์ 9 ช่องตามแนวทแยง โดยให้จำนวนสปอร์ที่ได้จากค่าเฉลี่ย 9 ช่อง เป็น X
3. นำค่า X ที่ได้มาเข้าสู่สูตร  $(X/4) \times 10^6$  หรือ  $(X) \times 2.5 \times 10^5$



สถาบันวิทยบริการ  
จุฬาลงกรณ์มหาวิทยาลัย

## ภาคผนวก ง

กราฟมาตรฐานของพารา-ไนโตรฟีนอล (*p*-nitrophenol)

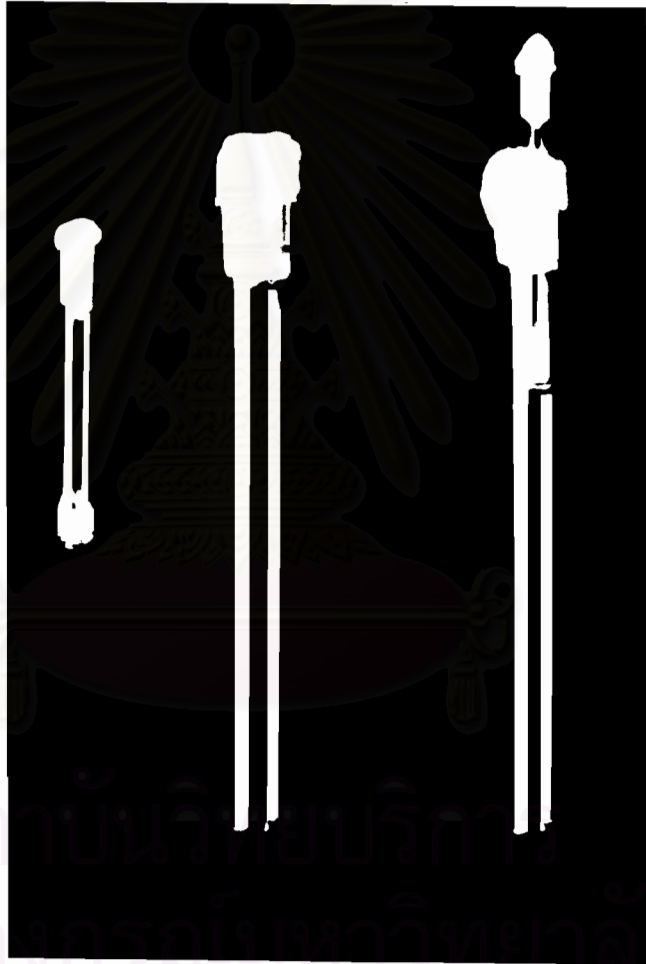
ความเข้มข้นของ พารา-ไนโตรฟีนอล (ไมโครกรัมต่อมิลลิลิตร)

สถาบันวิทยบริการ  
จุฬาลงกรณ์มหาวิทยาลัย



ภาคผนวก ๑

1. ชุดกรองสปอร์ของ *Streptomyces* sp. PC22 (Hopwood และคณะ, 1985)



ส  
จุฬาลงกรณ์มหาวิทยาลัย

## ประวัติผู้เขียนวิทยานิพนธ์

นางสาวเวฬุรีย์ ทองคำ เกิดเมื่อวันที่ 19 กันยายน พ.ศ. 2522 ที่กรุงเทพมหานคร ได้รับปริญญาวิทยาศาสตรบัณฑิต สาขาจุลชีววิทยา จากคณะวิทยาศาสตร์ มหาวิทยาลัยบูรพา ในปีการศึกษา 2543 และได้เข้าศึกษาต่อในระดับปริญญาโท สาขาจุลชีววิทยาทางอุตสาหกรรม คณะวิทยาศาสตร์ จุฬาลงกรณ์มหาวิทยาลัย ในปีการศึกษา 2544 ปัจจุบันอาศัยอยู่บ้านเลขที่ 516/65 หมู่ 4 ตำบลสำโรงเหนือ อำเภอเมือง จังหวัดสมุทรปราการ 10270



สถาบันวิทยบริการ  
จุฬาลงกรณ์มหาวิทยาลัย